

**UNIVERSITÀ DEGLI STUDI DI MILANO**

---

**Facoltà di Scienze e Tecnologie**

**Corso di Laurea Magistrale in Informatica per la Comunicazione**

**TECNICHE ONLINE PER  
L'INDIVIDUAZIONE DI SPAM IN UN WEB  
CRAWLER**

**Relatore:**

**Chiar.mo Prof. Paolo BOLDI**

**Correlatore:**

**Chiar.mo Prof. Sebastiano VIGNA**

**Tesi di Laurea di:**

**Antonio LUCA**

**matr. n. 809465**

**Anno Accademico**

**2013 - 2014**



# Indice

<b>1</b>	<b>Introduzione</b>	<b>1</b>
1.1	Ranking dei motori di ricerca . . . . .	3
1.1.1	Metodi di ranking endogeno . . . . .	4
1.1.2	Metodi di ranking esogeno . . . . .	5
1.2	Web spam . . . . .	6
1.2.1	Tecniche di boost . . . . .	7
1.2.2	Term Spamming . . . . .	7
1.2.3	Link Spamming . . . . .	9
1.2.4	Tecniche di hiding . . . . .	11
1.2.5	Click Spamming . . . . .	12
<b>2</b>	<b>Tecniche basate sul contenuto</b>	<b>14</b>
2.1	Prime feature per identificare lo spam . . . . .	14
2.1.1	Utilizzo di un classificatore per combinare le feature . . . . .	22
2.2	Language model per rilevare lo spam . . . . .	23
2.3	Spam detection sulla base degli argomenti di una pagina web . . . . .	29
2.4	Altre tecniche . . . . .	33
<b>3</b>	<b>Tecniche basate sul grafo</b>	<b>35</b>
3.1	Metodi classici per identificare lo spam web usando il grafo . . . . .	36
3.2	Metodi per identificare link farm . . . . .	43
3.3	Link dai forum . . . . .	46
3.4	Metodi per migliorare la classificazione . . . . .	47

<b>4</b>	<b>Tecniche che fanno uso di altri segnali</b>	<b>53</b>
4.1	Rilevamento dello spam di tipo cloacking . . . . .	53
4.2	Rilevare lo spam tramite l'header HTTP . . . . .	56
4.3	Altri metodi . . . . .	57
<b>5</b>	<b>Dataset e strumenti utilizzati</b>	<b>62</b>
5.1	Descrizione del dataset . . . . .	62
5.2	La Tau di Kendall . . . . .	65
5.3	Il framework Webgraph . . . . .	66
<b>6</b>	<b>Test dei metodi di spam detection</b>	<b>67</b>
6.1	Simulazione del crawler . . . . .	68
6.2	I test . . . . .	69
6.3	Test 1 . . . . .	74
6.4	Test 2 . . . . .	80
6.5	Test 3 . . . . .	85
6.6	Test 4 . . . . .	88
6.7	Test 5 . . . . .	90
6.8	Test 6 . . . . .	94
<b>7</b>	<b>Conclusioni</b>	<b>98</b>

# Elenco delle figure

1.1	Tassonomia delle tecniche boost . . . . .	8
1.2	Tipi di pagine nel web per uno spammer . . . . .	10
1.3	Esempio di una spamfarm . . . . .	11
1.4	Tecniche di hiding . . . . .	12
2.1	Occorrenze dello spam classificate per dominio all'interno del dataset descritto in [1] . . . . .	17
2.2	Occorrenze dello spam classificate per lingua all'interno del dataset descritto in [1] . . . . .	17
2.3	Prevalenza di spam sulla base del numero di parole per pagina . . .	18
2.4	Prevalenza di spam sulla base del numero di parole all'interno dei titoli delle pagine . . . . .	18
2.5	Prevalenza di spam sulla base della frazione di parole di una pagina che sono tra le 200 più frequenti parole nel corpus . . . . .	19
2.6	Prevalenza di spam sulla base della lunghezza media delle parole per pagina . . . . .	20
2.7	Prevalenza di spam sulla base della quantità di testo delle ancore delle pagine . . . . .	21
2.8	Prevalenza di spam sulla base della frazione di contenuto visibile . .	21
2.9	Prevalenza di spam sulla base del rapporto di compressione . . . . .	22
2.10	Esempio di classificatore . . . . .	23

2.11 Istogramma della divergenza KL tra testo delle ancore e il contenuto della pagina puntata basato sul dataset WEBSPPAM-UK2006 utilizzato in [2] . . . . .	25
2.12 Istogramma della divergenza KL tra testo intorno alle ancore e il contenuto della pagina puntata basato sul dataset WEBSPPAM-UK2006 utilizzato in [2] . . . . .	26
2.13 Istogramma della divergenza KL tra termini degli URL e il contenuto della pagina puntata basato sul dataset WEBSPPAM-UK2007 utilizzato in [2] . . . . .	26
2.14 Istogramma della divergenza KL tra testo delle ancore e titolo della pagina puntata basato sul dataset WEBSPPAM-UK2007 utilizzato in [2]	27
2.15 Istogramma della divergenza KL tra testo intorno alle ancore e titolo della pagina puntata basato sul dataset WEBSPPAM-UK2006 utilizzato in [2] . . . . .	27
2.16 Istogramma della divergenza KL tra termini nell'URL e titolo della pagina puntata basato sul dataset WEBSPPAM-UK2006 utilizzato in [2]	28
2.17 Istogramma della divergenza KL tra titolo e contenuto della pagina basato sul dataset WEBSPPAM-UK2006 utilizzato in [2] . . . . .	28
2.18 Istogramma della divergenza KL tra testo delle ancore e i meta tag della pagina basato sul dataset WEBSPPAM-UK2006 utilizzato in [2]	29
2.19 Distribuzione degli argomenti pesati per pagine spam e normali . . .	30
2.20 Prevalenza di spam relativa alla misura della diversità degli argomenti basata sulla varianza . . . . .	31
2.21 Prevalenza di spam relativa alla misura di diversità degli argomenti basata sulla semantica . . . . .	32
2.22 Prevalenza di spam relativa alla misura di diversità sulla massima semantica . . . . .	33
3.1 Algoritmo di trustrank . . . . .	37
3.2 Struttura bow-tie. . . . .	42
3.3 Struttura di una link farm. . . . .	46

3.4	Distribuzione dello spam in entrata . . . . .	48
3.5	Distribuzione dello spam in uscita . . . . .	48
3.6	Distribuzione entrante pesata . . . . .	49
4.1	Distribuzione degli indirizzi IP di due dataset: WebSpam che contiene pagine spam e WebBase che contiene pagine non spam. . . . .	57
4.2	Distribuzione delle pagine sulla base della feature SEOV. . . . .	58
4.3	Dal comportamento dell'utente al grafo. . . . .	60
6.1	Esempio di grafo . . . . .	69
6.2	Esempio di grafo ricavato tramite una BFS a partire dal nodo 1 del grafo in figura 6.1. . . . .	70
6.3	Esempio del vettore di trustrank calcolato sull'intero grafo . . . . .	70
6.4	Esempio del vettore di anti-trust rank calcolato sull'intero grafo . . . . .	71
6.5	Esempio del vettore di trustrank calcolato su una porzione di grafo. . . . .	72
6.6	Esempio del vettore di trustrank calcolato su una porzione di grafo a cui viene assegnato il valore 0.0 ai nodi non visitati. . . . .	72
6.7	Esempio del vettore di anti-trust rank calcolato su una porzione di grafo a cui viene assegnato il valore 0.0 ai nodi non visitati. . . . .	72
6.8	Test numero 1 (trustrank, 62). Calcolo della distanza dei vettori tra trustrank calcolato sull'intero grafo e trustrank calcolato sul grafo ricavato dai nodi visitati lungo una BFS partendo dal nodo 62. . . . .	77
6.9	Test numero 1 (trustrank, 112). Calcolo della distanza dei vettori tra trustrank calcolato sull'intero grafo e trustrank calcolato sul grafo ricavato dai nodi visitati lungo una BFS partendo dal nodo 112. . . . .	77
6.10	Test numero 1 (anti-trust rank, 62). Calcolo della distanza dei vettori tra anti-trust rank calcolato sull'intero grafo e anti-trust rank calco- lato sul grafo ricavato dai nodi visitati lungo una BFS partendo dal nodo 62. . . . .	78

6.11	Test numero 1 (anti-trust rank, 112). Calcolo della distanza dei vettori tra anti-trust rank calcolato sull'intero grafo e anti-trust rank calcolato sul grafo ricavato dai nodi visitati lungo una BFS partendo dal nodo 112. . . . .	78
6.12	Plotting del grafico 6.8 e del grafico 6.10 . . . . .	79
6.13	Plotting del grafico 6.9 e del grafico 6.11 . . . . .	79
6.14	Test numero 2 (trustrank, 62). Calcolo della distanza dei vettori tra trustrank calcolato sull'intero grafo e trustrank calcolato sul grafo ricavato dai nodi visitati lungo una BFS partendo dal nodo 62 prendendo in considerazione i soli nodi spam. . . . .	82
6.15	Test numero 2 (trustrank, 112). Calcolo della distanza dei vettori tra trustrank calcolato sull'intero grafo e trustrank calcolato sul grafo ricavato dai nodi visitati lungo una BFS partendo dal nodo 112 prendendo in considerazione i soli nodi spam. . . . .	82
6.16	Test numero 2 (anti-trust rank, 62). Calcolo della distanza dei vettori tra anti-trust rank calcolato sull'intero grafo e anti-trust rank calcolato sul grafo ricavato dai nodi visitati lungo una BFS partendo dal nodo 62 prendendo in considerazione i soli nodi non spam. . . . .	83
6.17	Test numero 2 (anti-trust rank, 62). Calcolo della distanza dei vettori tra anti-trust rank calcolato sull'intero grafo e anti-trust rank calcolato sul grafo ricavato dai nodi visitati lungo una BFS partendo dal nodo 112 prendendo in considerazione i soli nodi non spam. . . . .	83
6.18	Test numero 3 . In rosso, calcolo della Tau di Kendall tra il vettore $t_v$ e il vettore $\hat{t}_i$ per ogni intervallo di nodi visitati della BFS partendo dal nodo 62. In verde calcolo della Tau di Kendall tra il vettore $a_v$ e il vettore $\hat{a}_i$ per ogni intervallo di nodi visitati della BFS partendo dal nodo 62 . . . . .	86
6.19	Test numero 4 . In rosso, calcolo della Tau di Kendall tra il vettore $t_v$ e il vettore $\hat{t}_i$ , dove $\alpha$ è impostato a 0.005. In verde calcolo della Tau di Kendall tra il vettore $a_v$ e il vettore $\hat{a}_i$ , dove $\alpha$ è impostato a 0.005. . . . .	89



6.20	Test 5 (trustrank,62). Differenza tra le medie dei valori di trustrank, calcolati sul grafo temporaneo ottenuto ad ogni intervallo di nodi visitati tramite la visita in ampiezza con nodo sorgente 62, dei nodi non spam e nodi spam. . . . .	91
6.21	Test 5 (trustrank,112). Differenza tra le medie dei valori di trustrank, calcolati sul grafo temporaneo ottenuto ad ogni intervallo di nodi visitati tramite la visita in ampiezza con nodo sorgente 112, dei nodi non spam e nodi spam. . . . .	91
6.22	Test 5 (anti-trust rank,62). Differenza tra le medie dei valori di anti-trust rank, calcolati sul grafo temporaneo ottenuto ad ogni intervallo di nodi visitati tramite la visita in ampiezza con nodo sorgente 62, dei nodi non spam e nodi spam. . . . .	93
6.23	Test 5 (anti-trust rank,112). Differenza tra le medie dei valori di anti-trust rank, calcolati sul grafo temporaneo ottenuto ad ogni intervallo di nodi visitati tramite la visita in ampiezza con nodo sorgente 112, dei nodi non spam e nodi spam. . . . .	93
6.24	Test 6 (trustrank,62). Differenza tra la media dei valori di trustrank finali dei nodi non spam e la media dei valori di trustrank nodi spam, per ogni intervallo di nodi visitati tramite la visita in ampiezza con nodo sorgente 62. . . . .	95
6.25	Test 5 (trustrank,112). Differenza tra la media dei valori di trustrank finali dei nodi non spam e la media dei valori di trustrank nodi spam, per ogni intervallo di nodi visitati tramite la visita in ampiezza con nodo sorgente 112. . . . .	95
6.26	Test 6 (trustrank,62). Differenza tra la media dei valori di trustrank finali dei nodi non spam e la media dei valori di trustrank nodi spam, per ogni intervallo di nodi visitati tramite la visita in ampiezza con nodo sorgente 62. . . . .	96

6.27 Test 5 (trustrank,112). Differenza tra la media dei valori di trustrank finali dei nodi non spam e la media dei valori di trustrank nodi spam, per ogni intervallo di nodi visitati tramite la visita in ampiezza con nodo sorgente 112. . . . .	96
--	----

# Capitolo 1

## Introduzione

Questa tesi ha come obbiettivo lo studio e l'analisi delle tecniche di spam detection attualmente esistenti ed in particolare delle tecniche online. Nella prima parte le tecniche verranno classificate sulla base dei segnali che utilizzano. Successivamente verranno eseguiti dei test per valutare alcuni algoritmi di spam detection offline eseguiti durante la fase di crawling. Ed infine verranno presentati e discussi i risultati ottenuti. Attualmente sono poche le tecniche online di spam detection, ovvero tecniche che rilevano lo spam durante la fase di crawling. Infatti quasi tutti i metodi tentano di fare il crawling dell'intera porzione di web di interesse e successivamente classificare le pagine in classi (dove di norma le classi sono due: *spam* oppure *non spam*).

Il fenomeno del web spam è sempre più presente all'interno del web: questo è dovuto al fatto che gli utenti tendono ad esaminare solo i primi risultati calcolati dai motori di ricerca e quindi se un sito compare tra i primi  $n$  risultati può avere un ritorno economico maggiore, legato alla quantità di traffico che viene generata per quel sito. Da uno studio del 2005 [3] si stima che la perdita finanziaria mondiale causata dallo spam è di circa 50 miliardi di dollari mentre nel 2009 tale perdita è salita a 130 miliardi di dollari, come descritto in [4]. Risulta ovvio, quindi, perché recentemente tutte le più grandi compagnie di motori di ricerca hanno identificato nel recupero di informazioni non pertinenti una delle priorità da risolvere.

Le conseguenze del web spam possono essere riassunte come segue [5]:

- la qualità delle ricerche è compromessa penalizzando i siti web legittimi;
- un utente potrebbe perdere la fiducia sulla qualità di un motore di ricerca e passare con facilità all'utilizzo di un altro;
- inoltre i siti spam possono essere usati come mezzo per malware, pubblicazione di contenuto per adulti e attacchi di tipo “fishing”. Una prova tangibile si può vedere in [6], dove gli autori hanno eseguito l'algoritmo di *PageRank* su 100 milioni di pagine e hanno notato che 11 sui primi 20 risultati erano composti da siti con contenuto per adulti.

Queste considerazioni evidenziano che nella progettazione di un motore di ricerca occorre tenere conto delle pagine che potrebbero portare al mal funzionamento del motore stesso.

Il lavoro prodotto da questa tesi sarà utilizzato per essere integrato all'interno di un web crawler distribuito ad alte prestazioni per il futuro sviluppo di un modulo di spam detection. L'esigenza di tale modulo è sorta a seguito dello sviluppo, presso il Dipartimento, di un crawler chiamato *BUBiNG*, altamente configurabile ma privo al momento di qualunque forma di rilevazione di siti e contenuti malevoli. Il problema è estremamente interessante sia dal punto di vista teorico che da quello pratico: infatti, sebbene siano numerose le tecniche descritte in letteratura per la determinazione di spam (usando come segnali sia il contenuto che la struttura dei link), è sorprendentemente scarso l'insieme di tali tecniche che possono essere usate on-line, cioè durante il crawl. Il problema diventa ancora più complesso se si aggiungono considerazioni legate ai vincoli di spazio di memoria disponibile e al tempo di calcolo.

In letteratura il processo di spam detection viene eseguito quasi sempre offline, subito dopo la fase di crawling. Tale processo è integrato nella fase di ranking dei motori di ricerca:

- crawling dell'intero web;
- fase di spam detection;
- indicizzazione.

Il motivo per cui la fase di spam detection viene eseguita dopo la fase di crawling è perché si utilizza il grafo risultante per determinare le pagine spam.

Partendo da queste considerazioni, in questa tesi verranno effettuate delle analisi per determinare se il processo di spam detection possa essere eseguito durante la fase di crawling ovvero al momento in cui il crawler esegue il “fetch” di una pagina per determinare “on the fly” se la pagina è buona o ha un contenuto malevolo.

## 1.1 Ranking dei motori di ricerca

Prima di spiegare i vari metodi con cui si possono creare pagine web spam e i vari metodi utili ad identificarlo, è necessario capire come i motori di ricerca siano capaci di valutare la rilevanza di una pagina web per una determinata query.

In linea di massima un sistema di reperimento di informazioni, ovvero un motore di ricerca, è dato da una collezione documentale  $D$  (un insieme di documenti) di dimensione  $N$ , da un insieme  $Q$  di interrogazioni e da funzione di ranking ( $r : Q \times D \rightarrow R$ ) che assegna ad ogni coppia formata da un’interrogazione e un documento un numero reale. L’idea è che a fronte di un’interrogazione a ogni documento venga assegnato un punteggio reale: i documenti con punteggio nullo non sono considerati rilevanti, mentre quelli a punteggio non nullo sono tanto più rilevanti quanto più il loro punteggio è alto. In particolare i metodi di ranking si dividono in *endogeni* ed *esogeni*. I primi metodi fanno uso del contenuto del documento per valutarne la rilevanza mentre i secondi fanno uso di una struttura esterna, ad esempio il grafo composto dai collegamenti ipertestuali tra le pagine web; questo non implica che i metodi esogeni non possano fare uso del contenuto della pagina (per esempio il testo delle ancore). I criteri si dividono ulteriormente in statici (o indipendenti dall’interrogazione) e dinamici (o dipendenti dall’interrogazione). Nel primo caso il punteggio assegnato a ciascun documento è fisso e indipendente da un’interrogazione  $q$  mentre nel secondo il punteggio assegnato a ciascun documento è dipendente da un’interrogazione  $q$ .

Tra i metodi endogeni sono di maggiore importanza *tf-idf* e *BM25* mentre tra quelli esogeni i più diffusi in letteratura sono *PageRank* e *HITS*.

### 1.1.1 Metodi di ranking endogeno

I metodi di ranking endogeno utilizzano il contenuto di una pagina per assegnarle un punteggio. Possono essere anch'essi statici o dinamici (cioè dipendere o meno da un'interrogazione). L'algoritmo usato dai motori di ricerca per fare il rank delle pagine web basandosi sui campi di testo usa varie forme del *tf-idf*. Il *tf-idf* è un metodo di ranking endogeno dinamico che utilizza il contenuto di una pagina per assegnarle un punteggio. Il *tf-idf* è composto da due misure più semplici: la *Term Frequency* e la *Inverse Document Frequency*. Il primo metodo assegna a un documento  $d$  il punteggio dato dalla somma dei conteggi dei termini  $t$  dell'interrogazione che compaiono nel documento stesso. In questo modo documenti in cui i termini dell'interrogazione compaiono più frequentemente avranno un punteggio più elevato. Utilizzare solo questo metodo non conviene in quanto è facilmente manipolabile. Inoltre non tiene conto del fatto che alcuni termini occorrono più frequentemente non perché rilevanti, ma perché altamente frequenti all'interno di *ogni* documento (ad esempio le congiunzioni). Il secondo metodo è definito come l'inverso del numero di documenti nella collezione che contengono il termine  $t$  [7]. Più precisamente:

$$idf_t = \log \frac{N}{df_t} \quad (1.1)$$

dove  $N$  è il numero totale di documenti nella collezione e  $df_t$  il numero di documenti nella collezione dove il termine  $t$  occorre. La combinazione del *tf* ed dell'*idf* produce una misura composta che permette di normalizzare il peso dei termini. Il *tf-idf* di un documento  $d$  rispetto a una query  $q$  è calcolato su tutti i termini  $t$  in comune come:

$$tf - idf(d, q) = \sum_{t \in d \text{ and } t \in q} tf(t, d) \cdot idf(t) \quad (1.2)$$

Con il *tf-idf* gli spammer possono avere due obiettivi: o creare pagine rilevanti per un gran numero di query o creare pagine molto rilevanti per una specifica query. Il primo obiettivo può essere ottenuto includendo un gran numero di termini distinti in un documento; il secondo, attraverso la ripetizione di determinati termini nel documento.

Un altro metodo di ranking endogeno è *BM25* [8], basato sul *modello probabilistico*.

### 1.1.2 Metodi di ranking esogeno

Uno dei metodi esogeni statici è *PageRank* descritto in [9]. *PageRank* usa le informazioni portate dai link in entrata (*inlink*) per determinare un punteggio globale di importanza di una pagina. Esso assume che esista un legame tra il numero di *inlink* di una pagina  $p$  e la popolarità della pagina  $p$ . L'importanza di una pagina web  $p$ , utilizzando *PageRank*, è legata al numero di pagine web che puntano ad essa e all'importanza di tali pagine web. Questo concetto è mutualmente rinforzante ovvero l'importanza di una certa pagina influenza ed è influenzata dall'importanza delle altre pagine [10].

*PageRank* è basato sulla passeggiata naturale del grafo del web  $G$ . Più precisamente, la passeggiata viene perturbata nel seguente modo: fissato un parametro  $\alpha$  tra 0 e 1, a ogni passo con probabilità  $\alpha$  si segue un arco uscente, e con probabilità  $1 - \alpha$  si sceglie un qualunque altro nodo del grafo utilizzando una qualche distribuzione  $v$ , detta vettore di preferenza (per esempio, uniforme). Assumendo che non esistano pozzi, la matrice di transizione della catena è quindi rappresentata dalla combinazione lineare:

$$\alpha G + (1 - \alpha)1v^T \quad (1.3)$$

dove  $G$  è la matrice della passeggiata naturale su  $G$ . Il fattore  $\alpha$  è detto fattore di attenuazione di norma è impostato a un valore di 0,85.

Un altro metodo esogeno usato per il ranking delle pagine è *HITS* (*Hyperlink Induced Topic Distillation*) introdotto in [11]. Differentemente da *PageRank* esso assegna due punteggi di importanza a ogni pagina: uno di *hubbiness* e uno di *autorevolezza*. L'intuizione dietro a *HITS* è che invece di un singolo punteggio di importanza esista un concetto di pagina *autorevole*, cioè pagina con contenuto pertinente e interessante, e di *hub*, cioè pagina contenente numerosi collegamenti a pagine autorevoli. I due concetti si rinforzano *mutuamente*: una pagina autorevole è pun-

tata da molte pagine centrali, e una buona pagina centrale punta a molte pagine autorevoli.

Questo approccio considera che nel web ci sono due tipi di pagine: quelle che contengono dei contenuti per un determinato argomento (*authoritative*) e quelle che contengono tanti link a delle pagine *authoritative* che sono chiamate pagine *hub*. Le pagine *hub* sono utili per scoprire le pagine *authoritative* [12].

L'algoritmo lavora su un sottografo del web ottenuto a partire da un'interrogazione. La selezione del sottografo può essere fatta in vari modi, un modo è quello di prendere un certo insieme di risultati ottenuto da un motore di base e generare un sottografo sulla base di una query e delle pagine che puntano a quelle ottenute dalla query. Per questo sottoinsieme di pagine otteniamo una matrice di adiacenza  $A$ . I punteggi di *hub* e *authority* per tutte le pagine del sottoinsieme possono essere formalizzate dalla seguente coppia di equazioni:

$$\begin{cases} \vec{a}_{t+1} = A^T \vec{h}_t \\ \vec{h}_{t+1} = A \vec{a}_{t+1} \end{cases} \quad (1.4)$$

Può essere dimostrato che la soluzione ottenuta applicando iterativamente il sistema 1.4 converge rispettivamente al principale autovettore di  $AA^T$  e  $A^T A$  [12][5].

## 1.2 Web spam

Con il termine web spamming si fa riferimento a tutti i metodi che tentano di manipolare gli algoritmi di ranking dei motori di ricerca per aumentare il valore di alcune pagine rispetto ad altre [10]. Dato il numero esorbitante di pagine che vengono create e pubblicate sul web, gli utenti competono per far comparire le proprie pagine tra le prime dei risultati di una query. Il fenomeno dello spamming o spamindexing ricade sulla qualità delle ricerche causando diversi problemi: indicizzazione di pagine che non sono utili, aumento del costo delle operazioni di query, malware e reindirizzamento verso contenuto per adulti; inoltre questo spinge gli utenti ad utilizzare altri motori di ricerca [5].

L'obiettivo dei motori di ricerca è di ottenere ottimi risultati per identificare tutte le pagine web che sono rilevanti per una specifica query e presentarle secondo



l'importanza che esse hanno. Di norma la rilevanza viene misurata attraverso la similarità testuale tra la query e le pagine mentre l'importanza è definita come la popolarità globale della pagina e a volte è inferita dalla struttura dei link [10]. Ci sono due categorie di tecniche associate al web spam [10]:

- tecniche boost che cercano di far avere più importanza o rilevanza a delle pagine
- tecniche hiding che sono metodi per nascondere le tecniche di boost all'utente dal browser, anche se alcuni autori incorporano queste tecniche fra quelle di boost.

### 1.2.1 Tecniche di boost

Le tecniche di boosting si dividono in: *Term Spamming* e *Link Spamming*. Con l'avvento degli algoritmi di ranking basati sulla struttura del grafo il *Term Spamming* è stato trascurato. In figura 1.1 è rappresentata una possibile tassonomia delle tecniche boost [10].

### 1.2.2 Term Spamming

Nel valutare la rilevanza testuale i motori di ricerca considerano dove i termini di una query compaiono in una pagina. Il tipo di punto all'interno della pagina è chiamato *campo*. I più comuni campi di testo per una pagina  $p$  sono: il body della pagina, il titolo, i meta tag nell'header HTML e l'URL della pagina. Inoltre viene considerato anche come *campo*, il testo delle ancore (il tag  $a$ ) associate all'URL che puntano alla pagina  $p$  dato che descrive molto bene il contenuto della pagina. I campi di testo di  $p$  sono utilizzati per determinare la rilevanza di  $p$  rispetto ad una query (alcune volte i campi vengono pesati sulla base della loro importanza) e perciò chi fa *term spamming* utilizza tecniche di pesatura dei contenuti dei campi di testo in modo tale da aumentare l'efficacia dello spam [10]. Le tecniche di spamming possono essere raggruppate in base ai *campi* di testo dove viene fatto spamming. In base a questo distinguiamo [10]:

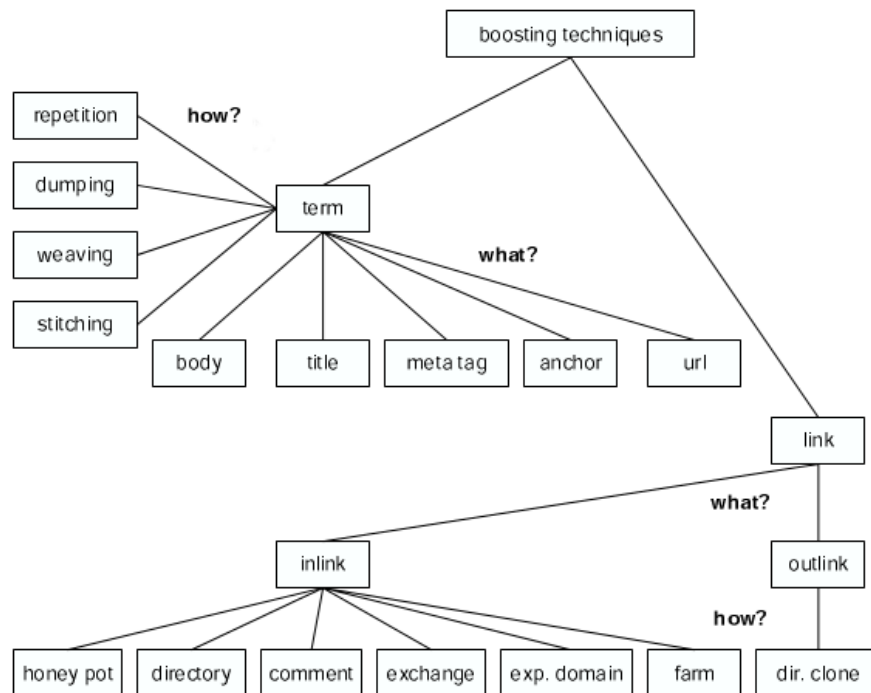


Figura 1.1: Tassonomia delle tecniche boost

- *Body Spam.* In questo caso lo spam è nel corpo del documento. Questo è lo spam più diffuso.
- *Title Spam.* Molti motori di ricerca danno molta importanza ai termini che compaiono nel titolo. Quindi ha senso includere termini di spam all'interno del titolo della pagina.
- *Meta Tag Spam.* I tag che compaiono nell'header sono molto frequentemente soggetti a spam. Per questo i motori di ricerca danno poca importanza a questi campi o non li considerano. Di seguito viene mostrato un esempio di questo tipo di spam.

```
<meta name="keyword" content="buy, cheap, cameras, lens,
    accessories, nikon, canon">
```

- *Anchor Text Spam.* I motori di ricerca assegnano un peso maggiore al testo nelle ancore perché pensano che esse contengano un riassunto del contenuto

della pagina. Perciò del testo di spam è incluso nel testo delle ancore dei collegamenti HTML di una pagina. In questo caso lo spamming non viene fatto sulla pagina cui si vuole far avere un rank più alto ma sulle pagine che puntano ad essa.

```
<a href="target.html">free, great deals, cheap,  
    inexpensive, cheap, free</a>
```

- *URL Spam.* Alcuni motori di ricerca dividono l'URL delle pagine in un insieme di termini che sono usati per determinare la rilevanza di una pagina. Per sfruttare questo metodo di ranking, gli spammer creano lunghi URL che includono una grande sequenza di termini spam, un esempio può essere: *buy-canon-rebel-20d-lens-case.camerasx.com*.

Queste tecniche possono essere utilizzate insieme o separatamente. Un altro modo per raggruppare queste tecniche si basa sul tipo di termini che vengono utilizzati nei campi di testo [10], possiamo avere:

- Ripetizione di uno o più specifici termini.
- Inclusione di molti termini generici per creare pagine rilevanti per molte query.
- Intreccio di vari termini all'interno della pagina.
- Creazione di frasi di senso compiuto per l'elaborazione di contenuti generati velocemente attraverso la concatenazione di frasi da fonti diverse.

### 1.2.3 Link Spamming

Il *link spamming* è un tipo di spam che fa uso della struttura dei link tra le pagine web per favorire il rank di una pagina target  $t$ . Come descritto in [10], per uno spammer ci sono tre tipi di pagine web: inaccessibili, accessibili (blog) e proprietarie (fig. 1.2). Le inaccessibili sono quelle che uno spammer non può modificare. Le accessibili sono pagine gestite da altri ma che possono essere modificate lievemente dallo spammer attraverso l'immissione di un post in un forum, in un blog o in

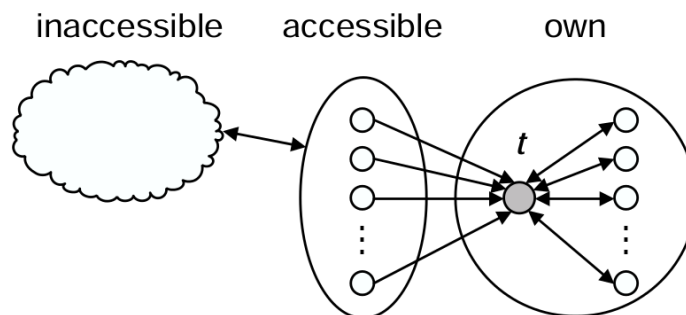


Figura 1.2: Tipi di pagine nel web per uno spammer

portali di questo genere. Le proprietarie sono pagine su cui gli spammer hanno il pieno controllo. Il gruppo di pagine proprietarie è chiamato *spam farm*.

Molti motori di ricerca utilizzano due algoritmi per aumentare l'importanza basandosi sulle informazioni dei link: PageRank e HITS; sulla base di questi due tipi di algoritmi vengono definite due categorie principali di *link spamming*: *outgoing link spam* e *incoming link spam*. L'*outgoing link* è uno dei metodi più facili da implementare in quanto basta aggiungere alla propria pagina dei link ad altre pagine, che sono considerate buone, al fine di aumentare il punteggio di *hub*. Per la ricerca di link da includere nella pagina per cui si vuole incrementare il punteggio di *hub* si possono utilizzare delle directory che contengono liste di siti come DMOZ o Yahoo!. Queste directory organizzano i contenuti web in contenuti e in liste di siti relativi. Per quanto riguarda *incoming link*, ci sono diverse strategie che si possono adottare in modo tale da avere un numero elevato di link in entrata [10]:

- *Honeypot*: consiste nella creazione di un insieme di pagine aventi un contenuto interessante (per esempio una documentazione Linux) ma che contengono link nascosti alla pagina o alle pagine di cui si deve aumentare il valore di rilevanza.
- *Infiltrarsi in una directory web*: tecnica con cui i webmaster inseriscono nelle directory web link ai loro siti.
- *Postare link nei blog, forum e wiki*: consiste nell'includere URL a pagine di spam come parte di un commento.

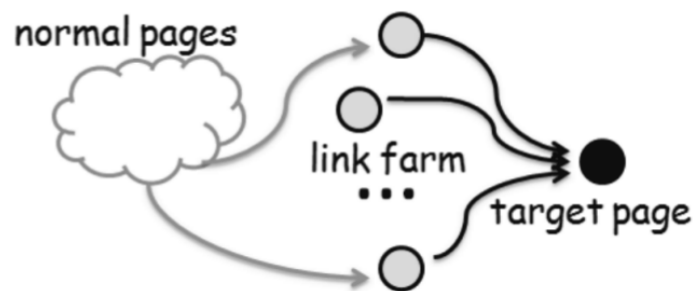


Figura 1.3: Esempio di una spamfarm

- *Scambio di link*: tecnica che consiste nello scambiare link con altre pagine di spam. Rappresenta una pratica comune tra chi fa spam ed infatti esistono blog completamente finalizzati all'incontro di spammer per lo scambio dei link.
- *Comprare domini scaduti*: tecnica che consiste nell'acquisto di domini scaduti e nella manipolazione delle pagine che puntano ancora ad esso al fine di aumentare il rank di una pagina target.
- *Creare una spam farm*: consiste nella creazione di un insieme di pagine che puntano ad una pagina spam, detta *target page*, e che hanno come obiettivo l'aumento della rilevanza di quest'ultima. In questo caso il valore di page rank aggregato delle pagine è propagato alla pagina target. Molte volte tale tecnica si integra con quella *honeypot*. Una delle forme più aggressive di integrazione honeypot - spamfarm è l'*hijacking* [5], dove gli spammer prima attaccano un sito con una buona reputabilità e poi usano questo come parte della loro link farm.

#### 1.2.4 Tecniche di hiding

Le tecniche di hiding si possono classificare in: *content hiding*, *cloaking*, *redirection* (fig. 1.4) [10]. Nel *Content hiding* i termini o i link di spam vengono nascosti quando il browser visualizza una pagina, ad esempio utilizzando per i termini lo stesso colore dello sfondo e per i link non inserendo il testo all'interno delle ancore che indirizzano ad una pagina. Un'altra tecnica è quella di utilizzare degli script

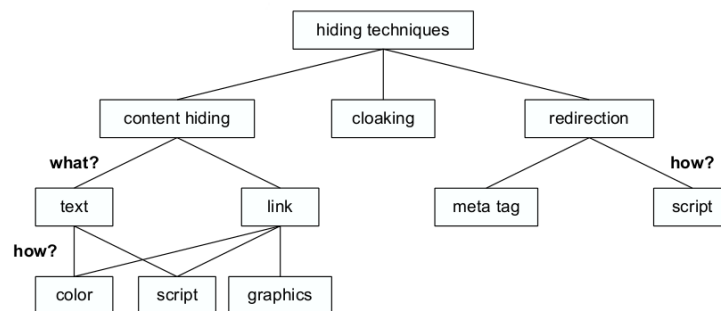


Figura 1.4: Tecniche di hiding

per nascondere il contenuto. Il *Cloaking* sfrutta la possibilità di identificare se la richiesta di una pagina è fatta da un crawler o da un browser: dato un URL, il server spam restituisce un documento HTML diverso a seconda che la richiesta venga fatta da un crawler o da un browser. Quindi vengono distribuiti due contenuti diversi in base alla provenienza della richiesta al server spam. La rilevazione di un crawler può essere effettuata in due modi: o si mantiene in memoria una lista di indirizzi di crawler oppure si usa l'header della richiesta HTTP, controllando il campo user-agent e verificando che sia diverso dai più comuni browser (si ipotizza quindi che sia un crawler). Nell'esempio sotto, lo user-agent della richiesta HTML indica l'uso del web browser Chrome.

```

Mozilla/5.0 (X11; Linux x86_64)
AppleWebKit/537.36 (KHTML, like Gecko)
Chrome/32.0.1700.102 Safari/537.36
  
```

La *Redirection* è un'altra tecnica che reindirizza il browser ad un altro URL appena la pagina è caricata. Un esempio di redirection server-side è mostrato di seguito.

```

header("Location: http://www.example.com/");
  
```

### 1.2.5 Click Spamming

Un ultimo metodo per fare web spam è il *Click Spamming* [5]. I motori di ricerca utilizzano dati sul flusso dei click per regolare le funzioni di ranking, quindi gli

spammer generano clic fraudolenti per manipolare il comportamento di queste funzioni in modo tale da fare avere un rank migliore ai loro siti. Il metodo prevede che vengano fatte delle query e si clicchi sulla pagina di cui si vuole aumentare il rank. Tale metodo viene eseguito in modo automatico attraverso script che girano su diverse macchine per non fare sospettare il motore di ricerca delle numerose richieste provenienti da un'unica macchina [5].

## Capitolo 2

# Tecniche basate sul contenuto

Il capitolo illustra le tecniche di spam detection presenti in letteratura basate sul contenuto. Nella prima parte del capitolo verranno illustrate le prime tecniche di spam detection sviluppate mentre nella seconda parte verranno presentate le tecniche che fanno uso del contenuto della pagina in modo più elaborato.

### 2.1 Prime feature per identificare lo spam

Un metodo per identificare lo spam basandosi sul contenuto di una pagina web è quello di analizzare alcune proprietà (feature) delle pagine spam e confrontarle con le medesime proprietà di quelle non spam al fine di ottenere dei valori con cui stimare la natura della pagina web (spam o non spam). Alcune di queste proprietà, come descritto in [13], sono le seguenti:

- *Proprietà degli URL*: alcune analisi sulle proprietà dei link mostrano che gli URL di un host sono delle buone feature per identificare lo spam. In particolare l'URL di un host con molti caratteri, punti, slash e numeri è un buon indicatore di spam. Un modo semplice per classificare le pagine è quindi quello di usare un valore di soglia che definisca il numero massimo di tali caratteri per identificare una pagina come spam.
- *Host name resolution*: gli spammer possono popolare gli URL delle pagine spam con termini contenuti in query molto frequenti, che sono rilevanti per



un certo settore, e impostare un DNS per risolvere questi host name. Gli spammer cercano di manipolare il meccanismo usato da alcuni motori di ricerca (ad esempio Google) che data una query  $q$ , assegnano un rank più alto a un URL  $u$  se i termini che compongono il nome dell'host di  $u$  combaciano con i termini della query. Perciò gli spammer creano tanti URL rilevanti per le diverse query in modo tale da far risultare la pagina di web spam tra i primi risultati di ricerca per molte query. Per determinare tale forma di spam, uno spam detector dovrebbe controllare quanti URL vengono risolti da uno stesso indirizzo IP.

- *Proprietà del contenuto*: le pagine generate automaticamente hanno tutte lo stesso template, ad esempio numerosi siti di spam generano dinamicamente pagine con uno stesso numero di parole. Una tecnica per determinare lo spam è quella di clusterizzare le pagine in base alla somiglianza dei template. Considerando che le pagine di spam hanno strutture molto simili tra loro, se si identificano gruppi con molte pagine aventi la stessa struttura è probabile che esse siano spam.

Oltre a queste proprietà base, in [1] vengono descritti ulteriori metodi e proprietà per l'individuazione dello spam. In tale studio i metodi e le proprietà descritti sono il frutto di analisi effettuate dagli autori su un dataset di pagine HTML, che è stato ricavato utilizzando MSN Search crawler nell'agosto del 2004. Dalle analisi su tale dataset risulta che i domini con maggiore contenuto di spam sono: “.biz”, “.us” e “.com” mentre le pagine contenenti più spam sono: francesi, tedesche e inglesi. I risultati sono rappresentati nei due grafici in figura 2.1 e in figura 2.2. Nel primo grafico l'asse orizzontale rappresenta i domini e l'asse verticale mostra la frazione di spam all'interno di un dominio. I valori nel grafico sono riportati con un intervallo di confidenza del 95% rappresentato dalla linea verticale sopra ogni barra. L'intervallo di confidenza varia in dimensione a causa del numero differente di campioni raffigurati nei diversi domini. Nel secondo grafico l'asse orizzontale rappresenta la lingua della pagina e l'asse verticale rappresenta la frazione di spam

per le pagine scritte in una particolare lingua. Anche nel secondo grafico i valori sono riportati con un intervallo di confidenza del 95%.

Una proprietà che consente di identificare una pagina spam è il numero di parole all'interno della pagina stessa. Infatti una pratica molto comune nel costruire pagine spam è la cosiddetta “Keyword stuffing”, un processo per cui al contenuto della pagina vengono aggiunte molte parole popolari che sono, tuttavia, irrilevanti rispetto ai contenuti; lo scopo è di incrementare le probabilità della pagina di essere in cima ai risultati di molteplici query. In figura 2.3 viene plottato la distribuzione del numero di parole per ogni pagina del dataset (rappresentata dall'istogramma blu) correlata con la probabilità che una pagina sia spam (rappresentata dalla linea viola). Dal grafico si nota che la prevalenza di spam è più alta per le pagine contenenti molte parole. Perciò c'è una correlazione tra prevalenza di spam e numero di parole. Ma si può notare anche che il conteggio delle parole da solo non è una buona euristica visto che porta un alto tasso di falsi positivi.

La tecnica “Keyword stuffing” viene utilizzata anche per la scelta dei titoli, tenendo in considerazione che alcuni motori di ricerca assegnano un peso maggiore ai termini della query presenti all'interno del titolo della pagina. Il grafico in figura 2.4 rappresenta la distribuzione del numero di parole all'interno dei titoli delle pagine correlata con la probabilità che una pagina sia spam. Dal grafico si evince che un eccesso di parole all'interno del titolo è un indicatore di spam. Le parole che vengono utilizzate nel processo di “keyword stuffing” vengono selezionate casualmente o da un ristretto gruppo di query comuni. Per esaminare il comportamento con cui sono selezionate e costruite le frasi innanzitutto vengono identificate le  $n$  parole più comuni all'interno del corpus; successivamente viene calcolata, per ogni pagina, la frazione delle parole comuni. Tale processo viene ripetuto per ogni scelta di  $n$  (in figura 2.5  $n=200$ ). Il grafico rappresenta la frazione di parole comuni per ogni pagina; esso ha una caratteristica gaussiana e suggerisce che la maggior parte delle pagine di spam sono generate tessendo parole da un dizionario con una scelta casuale. Un metodo che può essere adottato per identificare le pagine spam che sono generate automaticamente è descritto in [14].

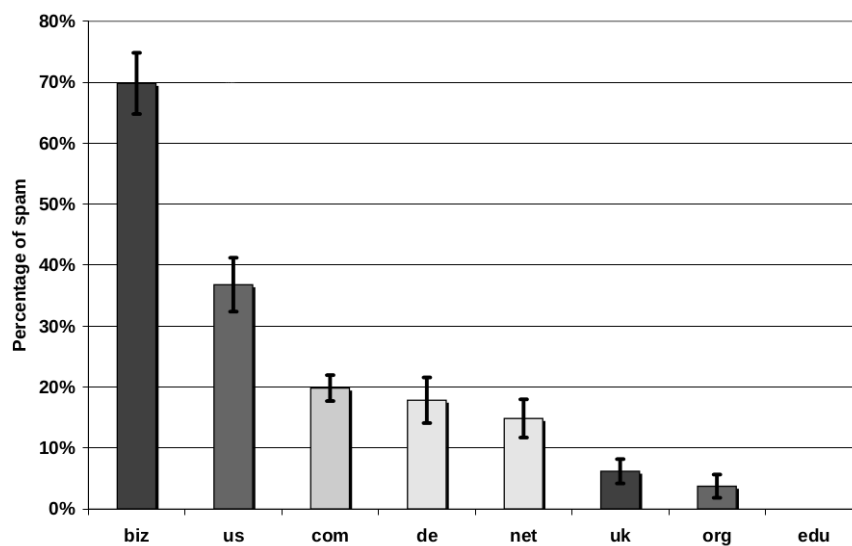


Figura 2.1: Occorrenze dello spam classificate per dominio all'interno del dataset descritto in [1]

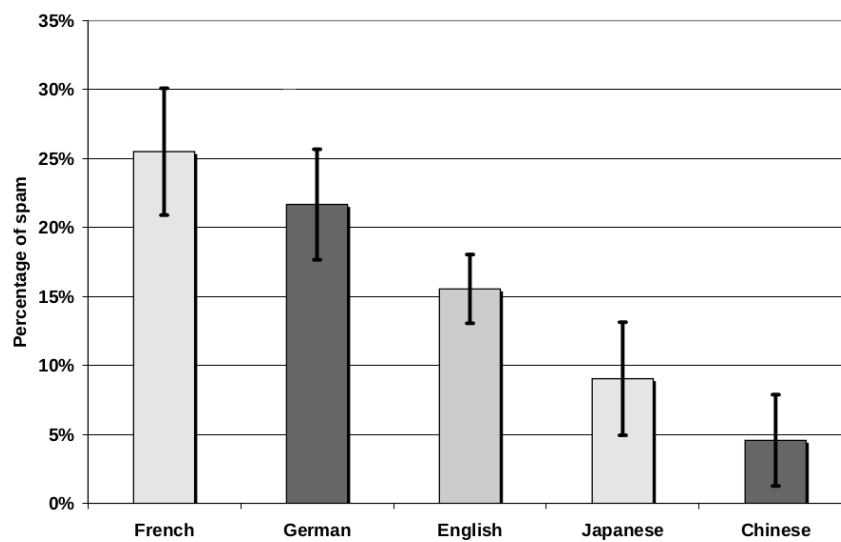


Figura 2.2: Occorrenze dello spam classificate per lingua all'interno del dataset descritto in [1]

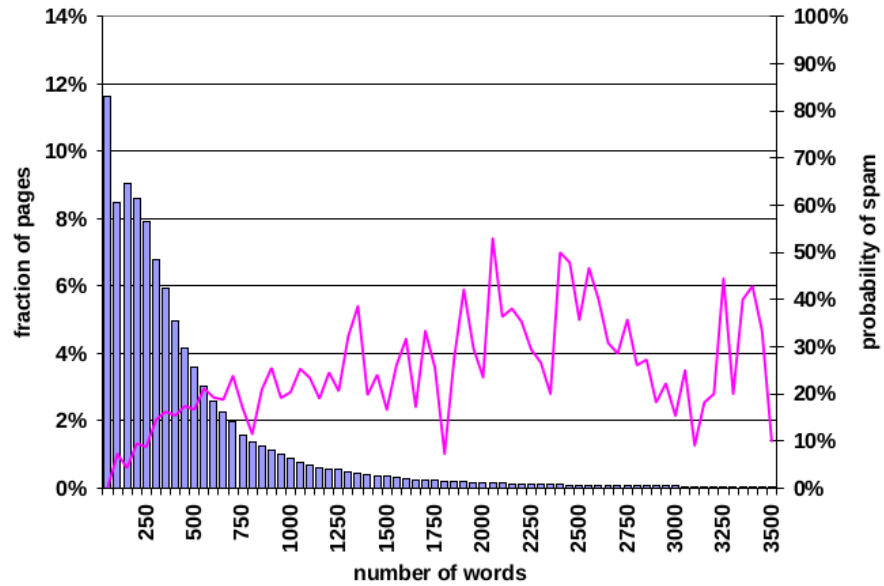


Figura 2.3: Prevalenza di spam sulla base del numero di parole per pagina

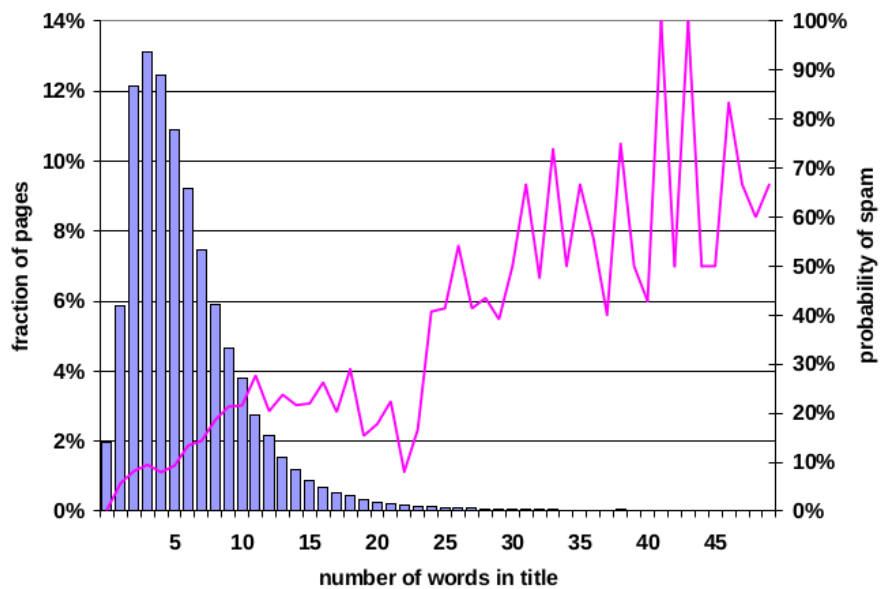


Figura 2.4: Prevalenza di spam sulla base del numero di parole all'interno dei titoli delle pagine

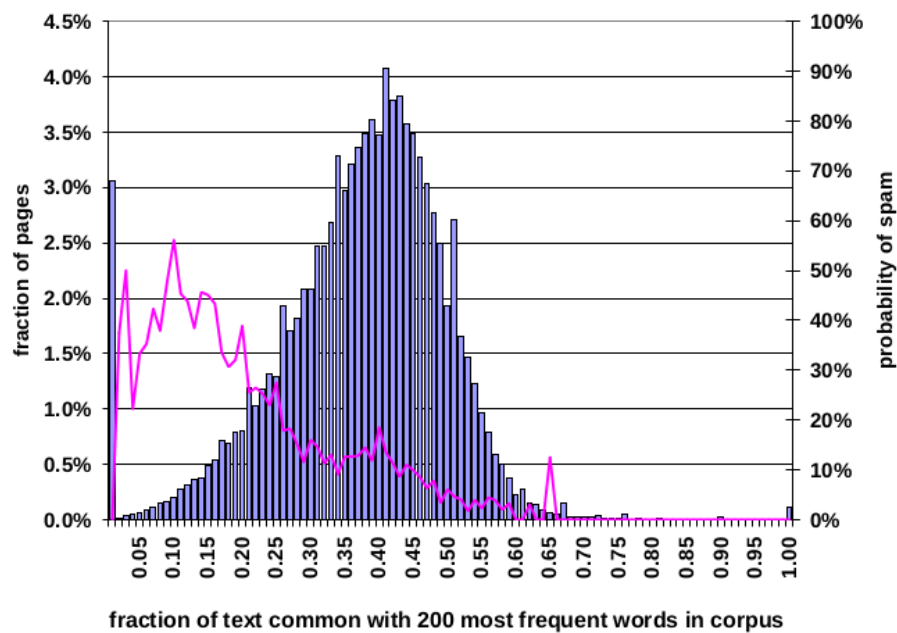


Figura 2.5: Prevalenza di spam sulla base della frazione di parole di una pagina che sono tra le 200 più frequenti parole nel corpus

Un altro dato utilizzato per determinare se una pagina è spam è la lunghezza media delle parole delle pagine. Dal dataset preso in considerazione in [1] (grafico in figura 2.6) si nota che la distribuzione della lunghezza media delle parole è simile a una gaussiana con moda e mediana corrispondenti a 5.0 e le parole con lunghezza media uguale a 10 sono certamente spam.

Un'altra proprietà delle pagine web che consente di stimare se una pagina è spam è la quantità di testo che è contenuta all'interno delle ancore (il tag “< a >” delle pagine web). Infatti una pratica comune dei motori di ricerca è considerare il testo delle ancore dei link in una pagina come annotazioni che descrivono il contenuto della pagina che viene puntata. L'idea principale è che se la pagina  $a$  ha un link alla pagina  $b$  con testo dell'ancora, ad esempio, “computer” allora potremmo concludere che  $b$  parli di computer, anche se questa keyword non compare all'interno della pagina  $b$ . Pertanto durante il ranking tali motori di ricerca potrebbero considerare la pagina  $b$  come risultato di una query contenente la keyword “computer”. Sfruttando questo meccanismo si creano pagine di spam contenenti solo del testo all'interno delle

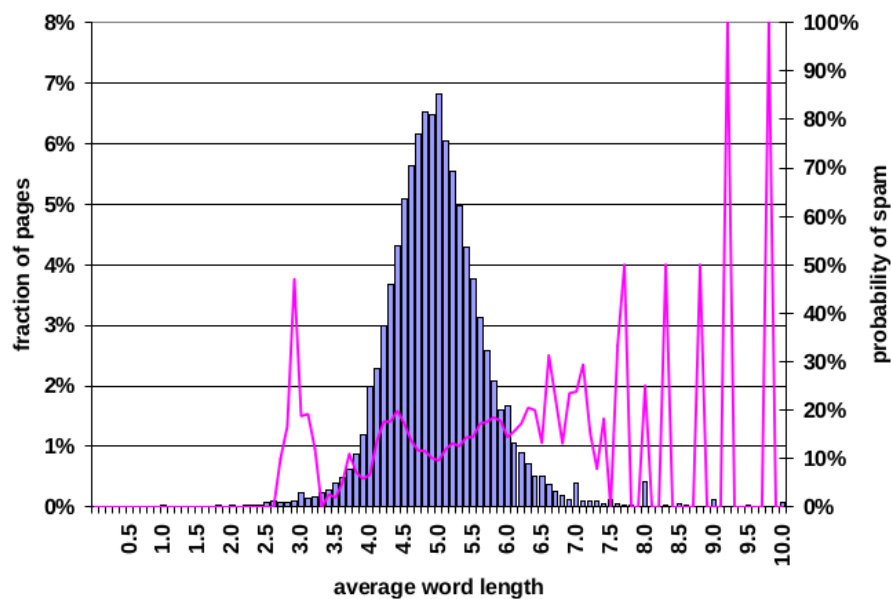


Figura 2.6: Prevalenza di spam sulla base della lunghezza media delle parole per pagina

ancore per valorizzare il ranking di altre pagine.; queste pagine di norma sono solo cataloghi di link ad altre pagine. Per capire meglio il fenomeno è stato calcolata la frazione di tutte le parole del testo delle ancore all'interno di una pagina, escludendo i markup rispetto al contenuto della pagina. In figura 2.7 viene visualizzato il grafico risultante. Si nota che un'alta frazione di testo delle ancore aumenta la probabilità che la pagina sia spam ma usare questa euristica da sola potrebbe portare un alto numero di falsi positivi [1].

Calcolando la frazione di contenuto visibile all'interno di una pagina (definita come la lunghezza in termini di byte di tutte le parole non di markup) rispetto all'intera dimensione della pagina si nota dal grafico, in figura 2.8, che la distribuzione (delle frazioni di contenuto visibile) evidenzia che le pagine di spam hanno meno markup delle pagine normali. Questo fa intendere che molte pagine spam hanno il solo scopo di dover essere indicizzate dai motori di ricerca e non di essere fruite da un utente.

Come detto in precedenza i motori di ricerca possono dare un peso maggiore a pagine che contengono ripetutamente le keyword contenute nella query (ad esempio utilizzano come metodo di ranking il “term-frequency”). Le pagine spam hanno,

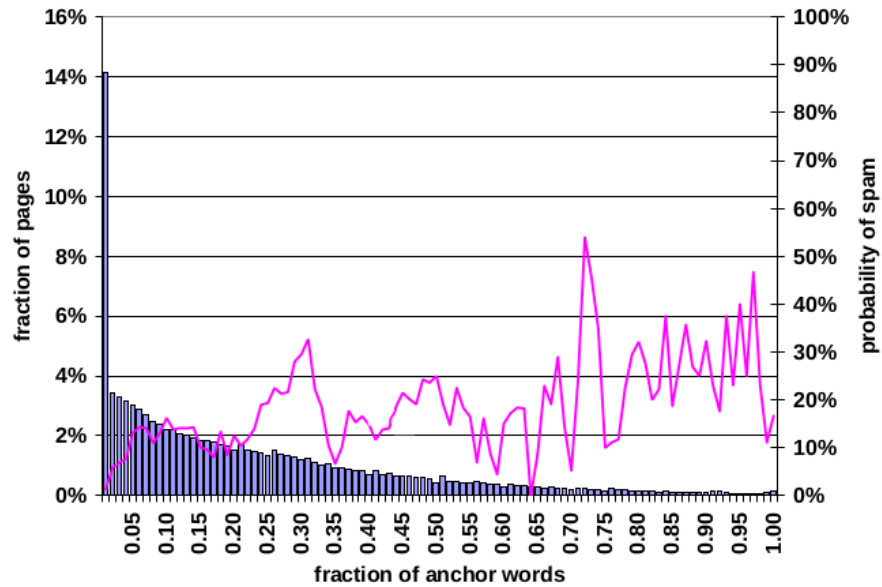


Figura 2.7: Prevalenza di spam sulla base della quantità di testo delle ancore delle pagine

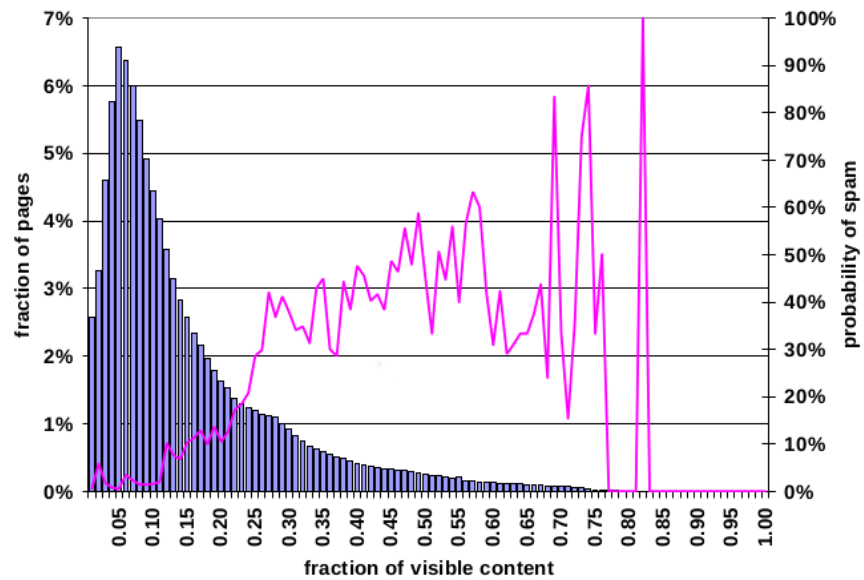


Figura 2.8: Prevalenza di spam sulla base della frazione di contenuto visibile

quindi, contenuti replicati molte volte per aumentare il rank. Per rilevare la ridondanza di contenuti (ottenuta dal processo di replica), viene calcolato il rapporto di compressione ovvero la dimensione della pagina non compressa divisa per la dimensione della pagina compressa. In figura 2.9 è rappresentata la distribuzione del rapporto di compressione e la likelihood che la pagina sia spam. Dal grafico si nota che quanto più il valore di compressione è elevato tanto più probabilmente la pagina può essere considerata spam; il 70 per cento delle pagine con un rapporto di compressione maggiore di 4.0 sono giudicate spam. Questo è dovuto al fatto che una compressione su una pagina spam che ha contenuti ridondanti, sarà più efficace di una compressione su una pagina non spam che è caratterizzata da contenuti non ridondanti. E perciò il rapporto di compressione tenderà a crescere quanto più la pagina sarà caratterizzata da contenuti ridondanti.

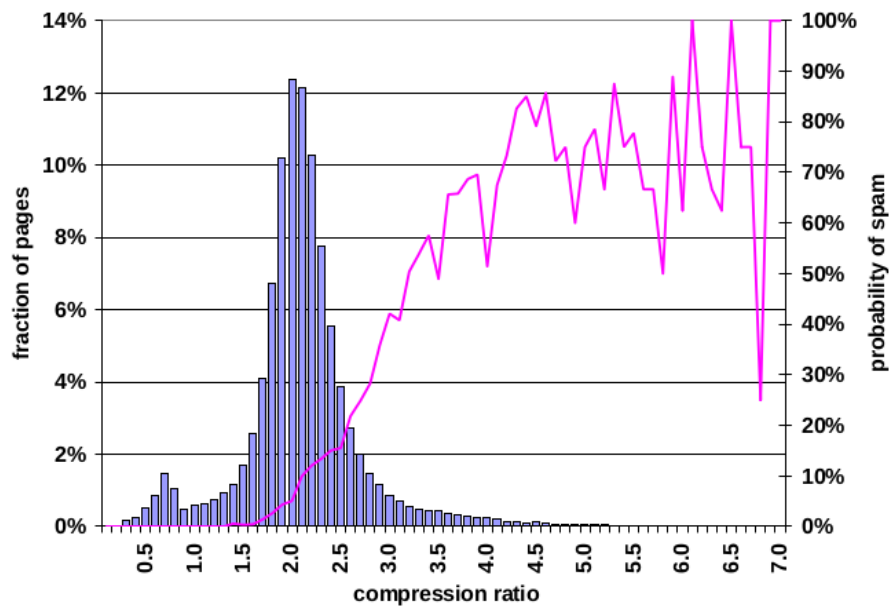


Figura 2.9: Prevalenza di spam sulla base del rapporto di compressione

### 2.1.1 Utilizzo di un classificatore per combinare le feature

Sempre in [1] le euristiche descritte fino a questo punto sono combinate considerando il problema di rilevamento dello spam come un problema di classificazione. Quindi



viene creato un classificatore, che usando le caratteristiche di una pagina web la classificherà in una delle due classi: spam o non spam. Costruire un classificatore richiede una fase di training durante la quale i parametri del classificatore sono determinati e una fase di testing durante la quale le performance del classificatore sono valutate. Per ogni pagina all'interno del dataset viene calcolato il valore di ogni feature (ad esempio, usando le euristiche discusse sopra) e si utilizzano questi valori per istruire il classificatore. Il classificatore usato è un albero di decisione che dato un insieme di dati da training e un insieme di feature crea un diagramma di flusso ad albero. Ogni nodo dell'albero corrisponde al test da valutare per una particolare feature mentre ogni arco è un valore di uscita del test ed infine le foglie corrispondono alle classi che verranno assegnate alle pagine. Un esempio del classificatore è rappresentato in figura 2.10. Per migliorare il classificatore si possono usare tecniche come bagging o boosting. Queste tecniche creano un insieme di classificatori che vengono combinati.

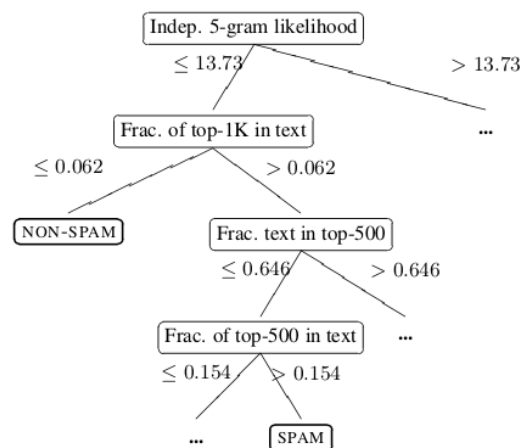


Figura 2.10: Esempio di classificatore

## 2.2 Language model per rilevare lo spam

Oltre alle feature presentate in precedenza, in [2] sono descritte nuove tipologie di feature e metodi per rilevare lo spam che fanno uso dei *language model* per analizzare

le sorgenti estratte da ogni sito in un dataset. Le sorgenti sono dei pezzi di contenuto presenti all'interno delle pagine web di partenza (quelle che contengono i link ad altre pagine) e all'interno delle pagine web di destinazione (quelle che sono linkate dalle pagine di partenza). Per ogni sorgente si definisce un modello e si calcola quanto siano differenti i modelli individuati; viene utilizzata la *Kullback-Leibler Divergence* (*KLD*) per misurare la divergenze tra le distribuzioni di probabilità dei termini di pagine web, applicandola a unità di testo della pagina di partenza e di quella linkata. La Kullback-Leibler (KL) è una misura asimmetrica della divergenza che misura quanto male una distribuzione di probabilità  $M_q$  riesce a modellare  $M_d$ :

$$KLD(T_1||T_2) = \sum_{t \in T_1} P_{T_1}(t) \log \frac{P_{T_1}(t)}{P_{T_2}(t)} \quad (2.1)$$

dove in 2.1  $P_{T_1}(t)$  è la probabilità del termine  $t$  nella prima unità di testo e  $P_{T_2}(t)$  è la probabilità del termine  $t$  nella seconda unità di testo. In basso sono rappresentati due esempi di KLD applicata tra il testo delle ancore della pagina sorgente e i titoli delle pagine puntate dai link (esempio preso da WEBSPPAM-UK2006). Dagli esempi si deduce che nel primo caso c'è una maggiore correlazione tra il testo dell'ancora della pagina sorgente e il titolo della pagina puntata rispetto al secondo esempio dove il valore di KLD è maggiore.

```
KLD(Free Ringtones || Free Ringtones for Your Mobile Phone from
PremieRingtones.com) = 0.25

KLD(Best UK Reviews || Findabmw.co.uk - BMW Information
Resource) = 3.89
```

Per determinare se una pagina è spam si cerca di identificare una relazione tra due pagine collegate sulla base del valore di divergenza. I valori sono ottenuti calcolando le divergenze con KLD tra una o più sorgenti di informazioni da ogni pagina. In particolare si usano tre tipi di informazione di una pagina sorgente: testo delle ancore, testo intorno alle ancore, termini nell'URL mentre per la pagina che viene linkata dalla pagina sorgente: titolo, contenuto della pagina e meta tag. Combinando queste sorgenti di informazione si determina la divergenza tra due pagine; di seguito vengono descritte alcune combinazioni base:

- testo delle ancore - contenuto. Una pagina che ha un link verso un'altra pagina ha solo un modo per convincere l'utente a visitare la pagina collegata: mostrare in maniera concisa le informazioni relative alla pagina collegata. Perciò una grande divergenza tra questi due frammenti di testo indica che la pagina può essere spam. In figura 2.11 è illustrata la divergenza KL tra le due sorgenti di informazione, come si vede la curva delle pagine normali è più compatta di quella delle pagine spam.

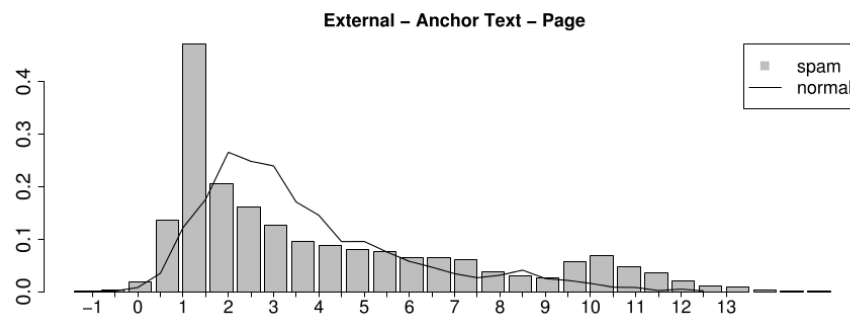


Figura 2.11: Istogramma della divergenza KL tra testo delle ancore e il contenuto della pagina puntata basato sul dataset WEBSPAM-UK2006 utilizzato in [2]

- testo vicino alle ancore - contenuto. Il testo delle ancore, a volte, è un valore poco descrittivo e per ovviare al problema viene usato il testo che circonda le ancore. Nell'esperimento vengono utilizzate 7 parole per lato. In figura 2.12 viene mostrato che le pagine spam hanno alti valori di divergenza mentre le normali sono concentrate intorno  $KL \approx 2.5$ .
- termini nell'URL - contenuto. I motori di ricerca danno molta importanza agli URL perché i termini che li compongono possono dare un'idea del contenuto della pagina a cui l'URL fa riferimento. Un metodo di spam che sfrutta questo meccanismo consiste nella creazione di URL contenenti molti termini comuni (ad esempio: `www.domain.com/viagra-youtube-free-download-poker-online.html` che in realtà è solo uno store online e non ha alcuna attinenza con i termini utilizzati nell'URL). Al fine di identificare questo tipo di spam, vengono prelevati i termini più rilevanti da un URL e calcolata la divergenza col contenuto della pagina di destinazione. La distribuzione finale,

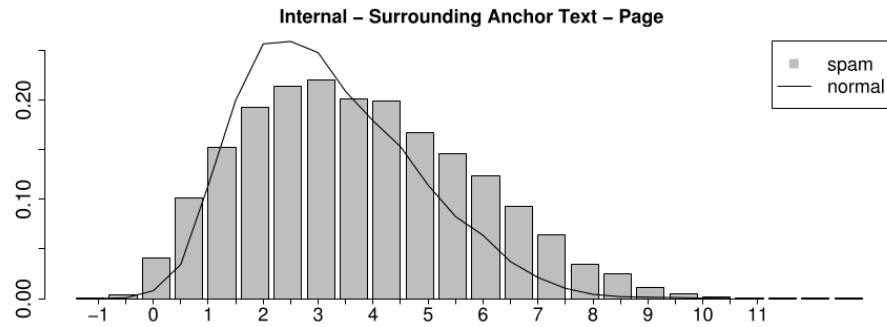


Figura 2.12: Istogramma della divergenza KL tra testo intorno alle ancore e il contenuto della pagina puntata basato sul dataset WEBSHAM-UK2006 utilizzato in [2]

rappresentata in figura 2.13, dimostra una grande differenza tra l'istogramma delle pagine normali con quello delle pagine spam.

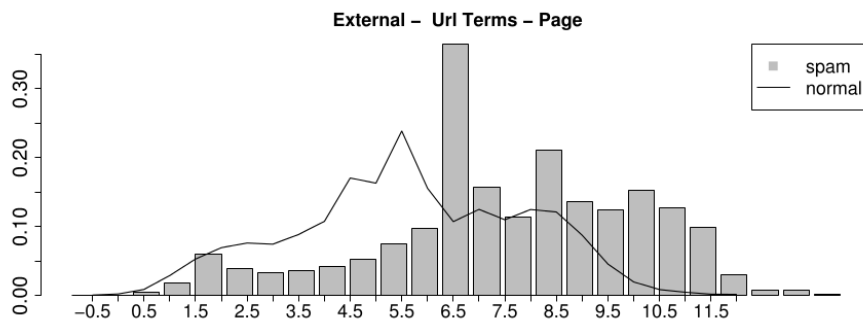


Figura 2.13: Istogramma della divergenza KL tra termini degli URL e il contenuto della pagina puntata basato sul dataset WEBSHAM-UK2007 utilizzato in [2]

- testo delle ancore - titolo. Questa feature si compone di due sorgenti che sono molto simili in quanto descrivono la pagina con poche parole. Tuttavia la prima sorgente può essere scritta anche da chi non è il proprietario della pagina di destinazione. In figura 2.14 notiamo che questa feature da sola non discrimina bene le pagine spam ma è abbastanza efficace se utilizzata in congiunzione con altre feature.
- testo intorno alle ancore - titolo. Dal grafico in figura 2.15 si può notare come tale feature rileva meglio lo spam rispetto alla precedente, infatti molti valori

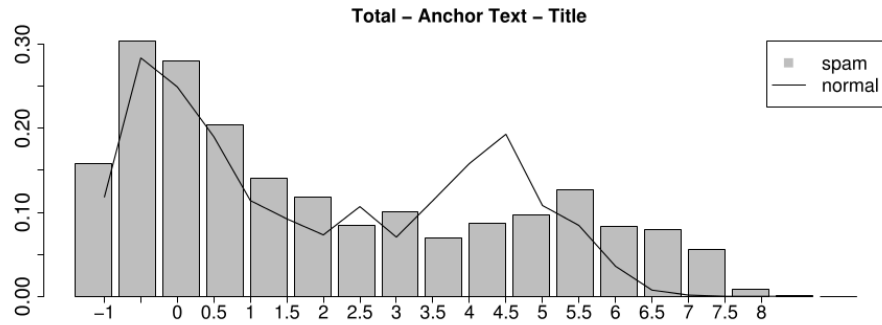


Figura 2.14: Istogramma della divergenza  $KL$  tra testo delle ancore e titolo della pagina puntata basato sul dataset *WEBSPAM-UK2007* utilizzato in [2]

di spam sono concentrati per valori di  $KL > 3$ .

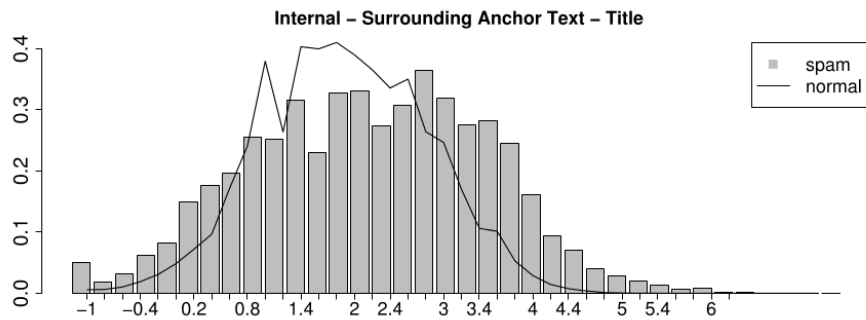


Figura 2.15: Istogramma della divergenza  $KL$  tra testo intorno alle ancore e titolo della pagina puntata basato sul dataset *WEBSPAM-UK2006* utilizzato in [2]

- termini nell'URL - titolo. In questa feature entrambe le sorgenti sono generate dal proprietario della pagina, a differenza della precedente in cui la sorgente di informazione della pagina di partenza poteva essere generata da un'altra persona. In questo vi dovrebbe essere maggiore coerenza tra le due sorgenti. In figura 2.16 sono rappresentate le distribuzioni per le pagine spam e non spam.
- titolo - contenuto. I motori di ricerca danno un peso maggiore ai termini della query se presenti nel titolo della pagina. Sfruttando tale meccanismo gli spammer perfezionano i loro processi in modo tale da impostare termini chiave nel titolo anche creando però una divergenza tra titolo e contenuto

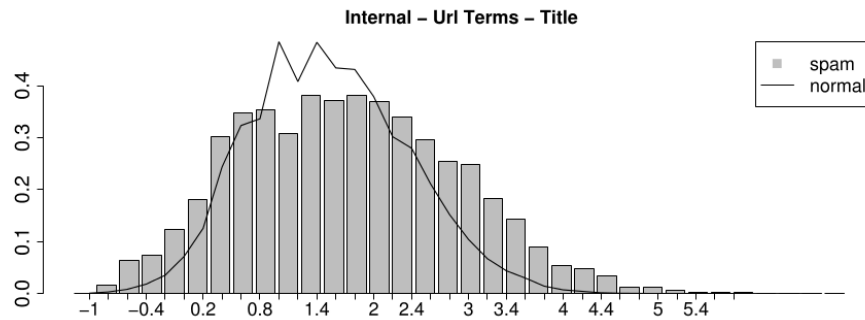


Figura 2.16: Istogramma della divergenza KL tra termini nell'URL e titolo della pagina puntata basato sul dataset WEBSPPAM-UK2006 utilizzato in [2]

della pagina. La feature titolo - contenuto consente la rilevazione di spam quando non vi è alcuna relazione tra il titolo e il contenuto della pagina. In figura 2.17 è rappresentata la divergenza tra le due distribuzioni spam e non spam.

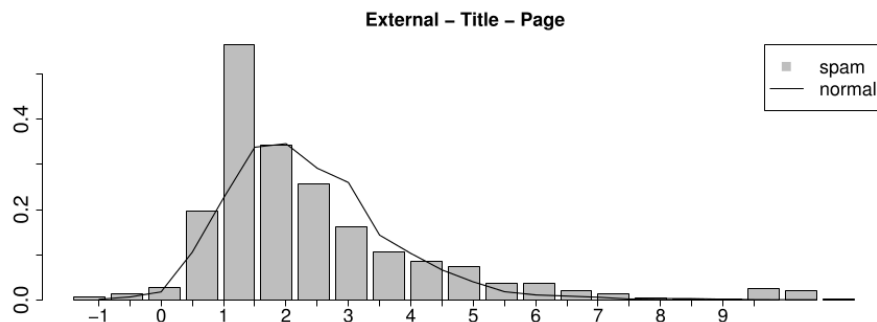


Figura 2.17: Istogramma della divergenza KL tra titolo e contenuto della pagina basato sul dataset WEBSPPAM-UK2006 utilizzato in [2]

- metatag. Vengono usati per calcolarne la divergenza con altre sorgenti di informazioni della pagina di partenza (come il testo delle ancore e il testo intorno alle ancore) e della pagina destinazione (come il contenuto o i termini dell'URL). In figura 2.18 viene visualizzata la divergenza tra il testo delle ancore e i metatag.

Oltre alle feature descritte si possono ottenere delle feature più articolate combinando le feature base tra di loro; ad esempio per le pagine sorgenti si possono definire:

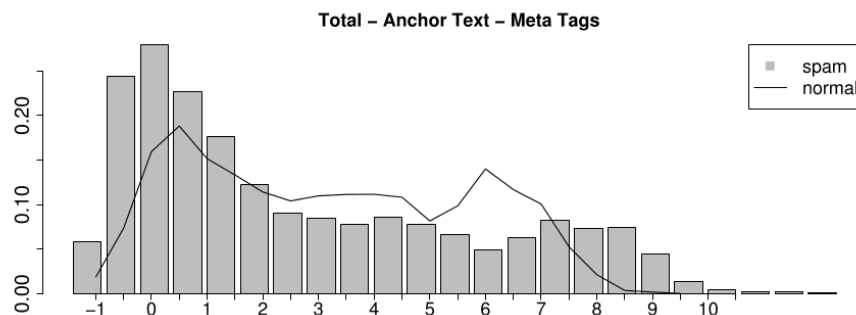


Figura 2.18: Istogramma della divergenza KL tra testo delle ancore e i meta tag della pagina basato sul dataset *WEBSPAM-UK2006* utilizzato in [2]

testo delle ancore e termini nell'URL , testo intorno alle ancore e URL (per maggiori dettagli [2]).

Infine tali feature possono essere usate per istruire un classificatore.

## 2.3 Spam detection sulla base degli argomenti di una pagina web

Dong et al. [15] propongono un metodo basato su statistiche effettuate sugli argomenti delle pagine. Le statistiche non si basano sulle parole della pagina ma sugli argomenti, in modo da non ignorare la semantica delle parole e di catturare le feature linguistiche nascoste nel testo per capire se la pagina è spam. Le analisi vengono fatte usando i topic model, modelli statistici che scoprono gli argomenti latenti presenti in una collezione di documenti. Un topic model utilizzato è la *Latent Dirichlet Allocation (LDA)* che modella ogni argomento latente come una distribuzione probabilistica su un vocabolario e ogni documento come una distribuzione probabilistica sugli argomenti latenti. L'intuizione di usare i topic model per analizzare il contenuto delle pagine web nasce dal fatto che analizzando le feature nascoste di una pagina spam, gli autori hanno notato che i contenuti di queste pagine, generati automaticamente, sono differenti dai contenuti delle pagine non spam. Vengono definiti tre tipi di misure.

La prima misura per determinare le pagine spam utilizzando LDA sfrutta la

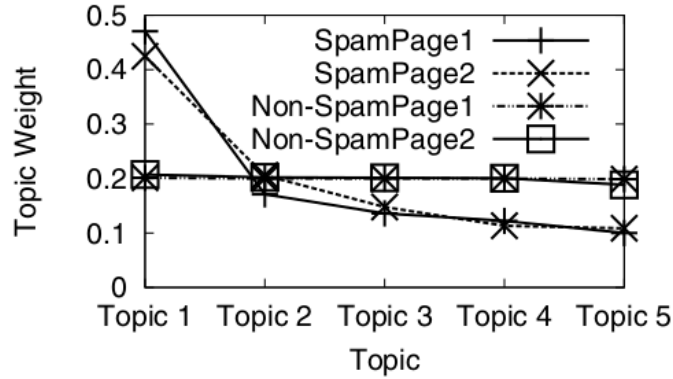


Figura 2.19: Distribuzione degli argomenti pesati per pagine spam e normali

caratteristica che tali pagine sono molto topic-centric, ovvero hanno uno specifico insieme di argomenti. In figura 2.19 sono rappresentate quattro distribuzioni degli argomenti presenti in quattro pagine (due spam e due non spam) scelte casualmente da un dataset. A supporto della tesi degli autori che le pagine spam sono topic centric si può notare che presentano una distribuzione esponenziale, in quanto esse vengono sviluppate per avere un alto ranking per un insieme di specifiche query di ricerca, al contrario delle pagine non spam che presentano una distribuzione uniforme (nell'articolo gli autori sostengono che le pagine non spam come una homepage contengono vari argomenti come ad esempio: i contatti, chi e cosa fa, altre informazioni). Per classificare le pagine sulla base di questa caratteristica, basata sulle distribuzioni degli argomenti, è stato proposto una misura della diversità degli argomenti basata sulla varianza. Data una pagina web  $d$ , la sua distribuzione degli argomenti è  $T(d) = \{t_1, t_2, \dots, t_m\}$ , dove ogni argomento  $t_i (1 \leq i \leq m)$  è associato con un peso  $\delta_{t_i}$ . La misura della diversità degli argomenti basata sulla varianza per  $d$ , denotata con  $TopicVar(d)$ , è calcolata come:

$$TopicVar(d) = \frac{\sum_{i=1}^m (\delta_{t_i} - u)^2}{m} \quad (2.2)$$

dove  $u = \frac{\sum_{i=1}^m \delta_{t_i}}{m} = \frac{1}{m}$ . In figura 2.20 è illustrata la distribuzione risultante. Dalla distribuzione si nota che le pagine spam sono più topic-centric ovvero la varianza dei pesi degli argomenti è più grande rispetto alle pagine non spam. Questo è dovuto al fatto che le pagine non spam avendo una distribuzione quasi uniforme hanno una



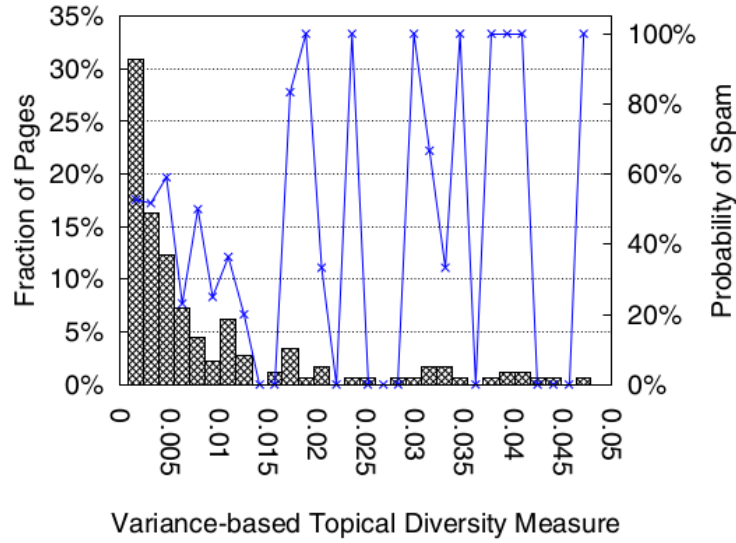


Figura 2.20: Prevalenza di spam relativa alla misura della diversità degli argomenti basata sulla varianza

la varianza che è più piccola rispetto alle pagine spam che hanno una distribuzione più concentrata di quella uniforme, come quella esponenziale. Il valore di *TopicVar* è proporzionale alla probabilità che una pagina sia spam, ovvero all'aumento della probabilità di una pagina di essere spam consegue un aumento del valore di *TopicVar* per quella pagina. Questa misura è un ottimo indicatore per rilevare lo spam.

La seconda misura per identificare le pagine spam utilizzando LDA che permette di misurare la relazione semantica tra gli argomenti è la semantica delle parole. Gli autori definiscono che: data una pagina web  $d$ , la sua distribuzione degli argomenti è  $T(d) = \{t_1, t_2, \dots, t_m\}$ . La probabilità che una parola  $w$  appartenga a un argomento  $t_i (1 \leq i \leq m)$  è definita come  $\phi(w|t_i)$ . Ogni argomento  $t_i$  è rappresentato come un insieme di parole denotate come  $W(t_i)$ . Intuitivamente due argomenti  $t_i, t_j (1 \leq i, j \leq m)$  sono semanticamente correlati se le parole  $W(t_i)$  e  $W(t_j)$  sono semanticamente legate. In [15] per ottenere le relazioni semantiche tra le due parole è utilizzata una funzione di similarità  $Sim(w_i, w_j)$  che è quella di Wordnet. Quindi per misurare la relazione semantica tra due argomenti  $t_i, t_j$ , si calcolano le similarità tra ogni coppia di parole dei due argomenti moltiplicate con le loro probabilità

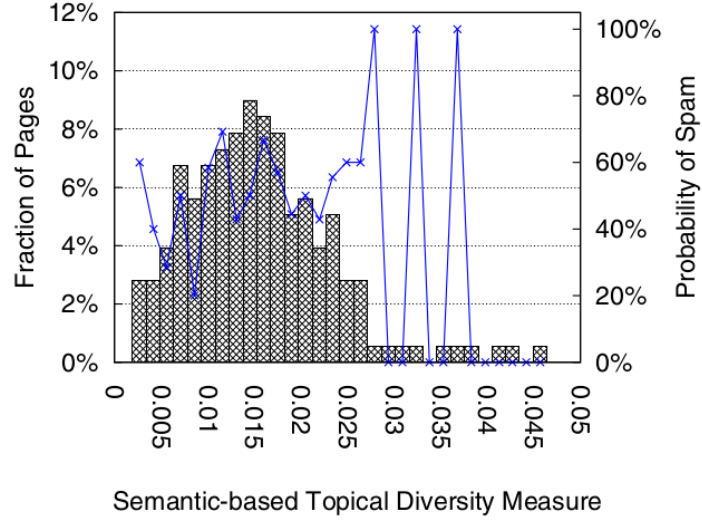


Figura 2.21: Prevalenza di spam relativa alla misura di diversità degli argomenti basata sulla semantica

rispetto agli argomenti.

$$Sim(t_i, t_j) = \frac{\sum_{w_k \in W(t_i), w_l \in W(t_j)} Sim(w_k, w_l) X\phi(w_k|t_i) X\phi(w_l|t_j)}{\frac{|W(t_i)|X|W(t_j)|}{2}} \quad (2.3)$$

Usando quindi un modello degli argomenti otteniamo  $m$  argomenti latenti. Dall'equazione 2.3 si deriva una misura della diversità degli argomenti basata sulla semantica per gli  $m$  argomenti latenti di una collezione [15]: data una pagina web  $d$ , la sua distribuzione degli argomenti è  $T(d)$  e quindi la misura della diversità degli argomenti basata sulla semantica per tale pagina  $d$  è:

$$TopicSim(d) = \frac{\sum_{1 \leq i \leq j \leq m} Sim(t_i, t_j)}{\frac{1}{2}m(m-1)} \quad (2.4)$$

In figura 2.21 è illustrata la distribuzione della misura di diversità degli argomenti basata sulla semantica. Dalla distribuzione si nota che quando la misura cresce la probabilità che una pagina sia spam aumenta, ovvero le pagine spam hanno argomenti che sono in forte relazione semantica tra loro e cioè sono icentrate su pochi argomenti.

L'ultima misura è basata sulla massima semantica ed è definita come:

$$TopicSimMax(d) = \max\{Sim(t_i, t_j) | 1 \leq i \leq j \leq m\} \quad (2.5)$$

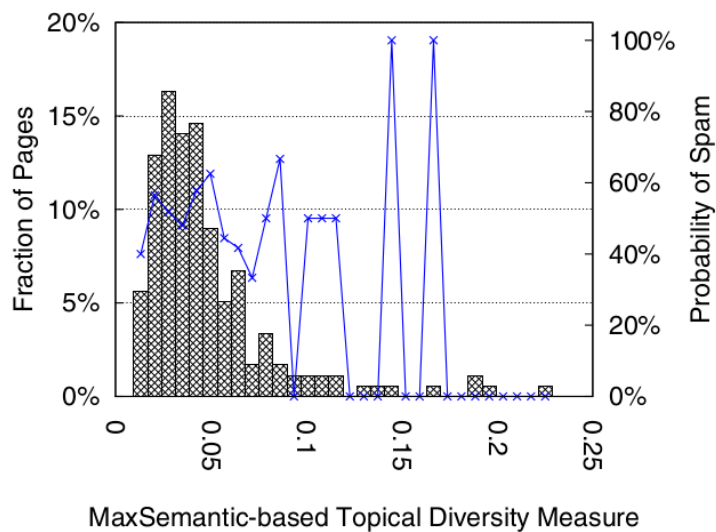


Figura 2.22: Prevalenza di spam relativa alla misura di diversità sulla massima semantica

La distribuzione della misura di diversità basata sulla massima semantica mostra che questa è più alta per le pagine che contengono spam. La distribuzione è rappresentata in figura 2.22.

Anche in questo caso per determinare se una pagina è spam oppure non spam, vengono utilizzati algoritmi supervisionati di apprendimento per istruire un classificatore di pagine spam usando misure di diversità degli argomenti. Con LDA possiamo impostare parametri come il numero di argomenti e il numero di parole per ogni argomento che incidono sulle le prestazioni della classificazione.

## 2.4 Altre tecniche

Nello studio in [16] viene presentato l'algoritmo WITCH (Web Spam Identification Through Content and Hyperlinks), un algoritmo ibrido che utilizza sia il contenuto della pagina che la struttura dei link per identificare le pagine spam. Come descritto in precedenza nel sotto capitolo 2.1, le differenti proprietà tra le pagine spam e non spam possono essere sfruttate per costruire un classificatore. Per identificare lo spam l'algoritmo WITCH utilizza le feature descritte in precedenza e analizza la struttura dei collegamenti tra le pagine. In particolare viene istruito un classificatore lineare nello spazio delle feature usando la SVM (Support Vector Machine) come funzione

obbiettivo. I collegamenti tra le pagine sono utilizzati in modo da regolarizzare il grafo, che produce una predizione che varia leggermente tra le pagine dei link. Il metodo SVM associato alla regolarizzazione del grafo è efficiente per il rilevamento di web spam.

Un altro metodo, proposto in [17], è denominato “Hidden style similarity measure” ed è basato su feature extra testuali appartenenti alle pagine HTML. Infatti gli autori sostengono che le pagine spam generate automaticamente non sono facili da rilevare utilizzando metodi classici di classificazione basati solamente sul contenuto; gli autori quindi utilizzano la struttura HTML di una pagina per classificare le pagine simili.

## Capitolo 3

# Tecniche basate sul grafo

In questo capitolo verranno presentate le tecniche di spam detection presenti in letteratura, denominate *linked base*, che si avvalgono cioè del grafo del web derivato dalla fase di crawling, che si ricava dai collegamenti ipertestuali tra le pagine. Il web può essere rappresentato come un grafo orientato  $G = (V, E)$  dove  $V$  è l'insieme dei nodi del grafo e rappresenta le pagine web, ed  $E$  è l'insieme degli archi orientati tra i nodi e rappresenta l'insieme dei link orientati tra le pagine; assumendo che ci siano due pagine web  $a_p$  e  $b_p$  queste saranno rappresentate da due nodi del grafo  $a$  e  $b$ ; se esiste un collegamento ipertestuale dalla pagina  $a_p$  alla pagina  $b_p$  allora vi sarà un arco diretto dal nodo  $a$  al nodo  $b$ .

Ogni pagina ha:

- link in uscita (*outlink*) ovvero i link presenti nella pagina che referenziano altre pagine web;
- link in entrata (*inlink*) ovvero tutti i riferimenti della pagina fatti da altre pagine.

Il grafo del web può essere astratto e rappresentato da una matrice di transizione così formata:

$$T(p, q) = \begin{cases} 0 & \text{if } (p, q) \notin E \\ 1/\omega(p) & \text{if } (p, q) \in E \end{cases} \quad (3.1)$$

dove  $q$  e  $p$  sono delle pagine web appartenenti al grafo e  $\omega(p)$  è il grado di link in uscita della pagina  $p$ . Possiamo anche definire la matrice di transizione inversa  $U$ :

$$U(p, q) = \begin{cases} 0 & \text{if } (q, p) \notin E \\ 1/l(p) & \text{if } (q, p) \in E \end{cases} \quad (3.2)$$

dove  $l(p)$  è il grado di link in ingresso della pagina  $p$ . Bisogna notare che  $U \neq T^T$ , ovvero la matrice di transizione inversa  $U$  non è uguale alla matrice di transizione trasposta.

### 3.1 Metodi classici per identificare lo spam web usando il grafo

Uno dei primi metodi adottati di spam detection che utilizza il grafo del web è *Trustrank* [18]. *Trustrank* applica a un insieme di pagine di partenza  $S$  (detto anche seedset) una funzione *Oracle* per classificare il seedset in due sottoinsiemi, pagine non spam  $S^+$  e pagine spam  $S^-$ ; tale classificazione è effettuata manualmente da esperti. Per determinare le pagine non spam senza invocare la funzione *Oracle* su tutto il grafo derivato dalla fase di crawling, viene fatta un'assunzione empirica chiamata *isolazione approssimata dell'insieme delle pagine buone*, la quale afferma che le pagine non spam raramente punteranno a delle pagine spam. Razionale di tale assunzione è che gli sviluppatori di pagine web non spam non hanno interesse nel linkare pagine spam (a meno che tramite l'uso di tecniche come l'*honeypot* vengano "ingannati"). Quindi fissato un numero limitato di chiamate della funzione *Oracle* sul seedset di partenza e sfruttando l'assunzione fatta precedentemente viene definita una funzione, denominata *funzione di verità ignorante*  $T_0$ , per ogni pagina  $p$  del grafo:

$$T_0(p) = \begin{cases} O(p) & \text{if } p \in S \\ 1/2 & \text{altrimenti} \end{cases} \quad (3.3)$$

dove la funzione  $O$  è la funzione *Oracle*. Presupponendo che le pagine non spam puntino ad altre pagine non spam viene assegnato il valore 1 a tutte le pagine che possono essere raggiunte da una pagina in  $S^+$  in  $M$  step. La funzione di verità  $T_M$

---

```

function TrustRank
  input
    T      transition matrix
    N      number of pages
    L      limit of oracle invocations
     $\alpha_B$  decay factor for biased PageRank
     $M_B$    number of biased PageRank iterations
  output
    t*     TrustRank scores
  begin
    // evaluate seed-desirability of pages
    (1) s = SelectSeed(...)
        // generate corresponding ordering
    (2)  $\sigma$  = Rank( $\{1, \dots, N\}, \mathbf{s}$ )
        // select good seeds
    (3) d =  $\mathbf{0}_N$ 
        for  $i = 1$  to  $L$  do
          if  $O(\sigma(i)) == 1$  then
            d( $\sigma(i)$ ) = 1
        // normalize static score distribution vector
    (4) d = d /  $|\mathbf{d}|$ 
        // compute TrustRank scores
    (5) t* = d
        for  $i = 1$  to  $M_B$  do
          t* =  $\alpha_B \cdot \mathbf{T} \cdot \mathbf{t}^* + (1 - \alpha_B) \cdot \mathbf{d}$ 
        return t*
  end

```

---

Figura 3.1: Algoritmo di *trustrank*

è definita come:

$$T_M(p) = \begin{cases} O(p) & \text{if } p \in S \\ 1 & \text{if } p \notin S \text{ and } \exists q \in S^+ : q \rightarrow_M p \\ 1/2 & \text{altrimenti} \end{cases} \quad (3.4)$$

Il percorso dalla pagina  $q$  a  $p$  nell'equazione non comprende pagine spam incluse nell'insieme  $S^-$ . Limite della funzione di verità  $T_M$  è che si basa su un'euristica, quindi non esiste la sicurezza che le pagine raggiungibili da pagine non spam siano effettivamente della pagine non spam; tale sicurezza si riduce quanto più lontana dal seedset  $S^+$  è una pagina  $p$ . Per non incorrere in tale errore si può ridurre il valore della funzione di verità in maniera proporzionale alla distanza dal seedset  $S^+$ .

In figura 3.1 è illustrato lo pseudo-codice dell'algoritmo di *Trustrank*; sarà descritto in dettaglio come funziona.

I valori di input dell'algoritmo sono:

- il grafo descritto dalla matrice di transizione  $T$ ;
- il numero di pagine  $N$ ;
- i parametri di controllo dell'esecuzione:  $L$  è il numero di chiamate della funzione *Oracle*,  $\alpha_b$  è il fattore di decadimento per il calcolo di *PageRank* ed infine  $M_b$  è il numero di iterazioni per il calcolo di *PageRank*.

Al primo passo viene invocata la funzione *SelectSeed()* che calcola l'insieme delle pagine con un relativo punteggio di pertinenza da includere nel seedset di partenza. Gli autori consigliano due metodi per implementare questa funzione :

- il primo metodo, chiamato *Inverse PageRank*, attribuisce una preferenza alle pagine dalle quali si possono raggiungere molte altre pagine, applicando l'algoritmo di *PageRank* sul grafo trasposto;
- il secondo metodo, detto *High PageRank*, assegna un alto valore di pertinenza a pagine che hanno un alto valore di pagerank.

Nell'istruzione (2) della figura 3.1 la funzione  $Rank(x, s)$  ordina gli elementi di  $x$  in modo decrescente sulla base dello score di  $s$ .

Nel punto (3) della figura 3.1 invoca la funzione *Oracle* su  $L$  pagine, impostando a 1 i valori del vettore  $d$  che rappresenta l'insieme delle pagine del seedset.

Nel punto (4), ai valori del vettore  $d$ , viene applicata una normalizzazione in modo tale che la somma faccia 1.

Infine al punto (5) viene calcolato *Trustrank* usando *Pagerank* dove il vettore di teletrasporto è rimpiazzato dal vettore  $d$ . Dall'algoritmo si nota che *Trustrank* è una versione personalizzata di *Pagerank* dove il vettore di teletrasporto è il seedset  $S^+$  calcolato al punto 3 e 4. L'obiettivo è quindi assegnare un valore di verità alto alle pagine non spam e basso per le pagine spam.

Un altro algoritmo progettato per identificare lo spam usando come input il grafo delle pagine web è *Anti-Trust Rank* [19]. Partendo dalla stessa intuizione dell'isolamento approssimato ovvero che pagine non spam molto raramente puntano a pagine



malevoli, *Anti-trust rank* popola un seedset formato da pagine spam e propaga la funzione Antitrust (corrispondente alla funzione di verità di *Trustrank*) sul grafo trasposto con l'obiettivo di rilevare le pagine spam, che potranno quindi essere filtrate da un motore di ricerca. Più precisamente, a differenza di quanto avviene in *Trustrank* dove la funzione *Trust* è propagata dal seedset composto da pagine non spam lungo tutto il grafo, in *Anti-Trust Rank* la funzione *Anti Trust* è propagata nella direzione inversa ai link in entrata ad ogni pagina del grafo, partendo da un insieme di pagine del seedset composto da pagine spam. L'obiettivo è assegnare un rank maggiore alle pagine spam e successivamente eliminarle dalle ricerche impostando un valore soglia tramite il quale escluderle oppure restituendo le  $n$  pagine che hanno valore di *Anti-Trust Rank* più alto.

*Trustrank* e *Anti-Trust rank* sono ottimi algoritmi per identificare lo spam ma hanno il problema relativo alla dimensione dell'insieme seedset, in quanto tale seedset potrebbe non essere sufficientemente rappresentativo per campionare tutti gli argomenti del web. Per tentare di risolvere questo problema è stato implementato un metodo [20] che fa uso degli argomenti delle pagine come segnale di ingresso; invece di usare un singolo valore di *trustrank* per un nodo, vengono estrapolati per ogni pagina gli argomenti contenuti. L'algoritmo partiziona il seedset sulla base dei vari argomenti che esso contiene e usa ognuna di queste partizioni come seedset di partenza per calcolare il valore di *trustrank* per ogni pagina.

In letteratura viene descritto un metodo di spam detection [21] *linked base* che è difficilmente manipolabile tramite tecniche come *honeypot*, a differenza dei precedenti metodi illustrati in questo capitolo. Infatti tale metodo separa la credibilità di una pagina dalla credibilità del link per quella pagina. La credibilità viene definita in termini di credibilità *k-scope*. Sia una funzione  $C$  una funzione di credibilità che istantaneamente valuta la qualità di un link di una pagina  $p$  al tempo  $t$ , per valori di  $C(p, t) = 0$  la funzione indica che  $p$  non è credibile mentre per  $C(p, t) = 1$  la funzione indica che  $p$  è credibile. Sia un percorso in un grafo diretto  $G$  dalla pagina  $p$  alla pagina  $q$  la sequenza di nodi:  $path(p, q) = (n_0, n_1, \dots, n_j)$  dove  $p = n_0, q = n_j$  tale che esista un arco diretto tra nodi successivi nel percorso  $n_i, n_{i+1} \in L$  per  $0 \leq i \leq j - 1$ , si definisce *bad path* quel percorso in un grafo diretto  $G$  dalla pagina  $p$  alla pagi-

na  $q$  se la pagina di destinazione è una pagina spam  $q \in P_b$  (dove  $P_b$  è l'insieme delle pagine spam) e nessuna altra pagina nel percorso è una pagina spam ovvero  $path(p, q) = (n_0, n_1, \dots, n_j)$  e  $q \in P_b$  e  $n_i \notin P_b (0 \leq i \leq j-1)$ . La probabilità che una camminata casuale passi attraverso un percorso di lunghezza  $k$  da una pagina  $p$  è denotata con  $Pr(path_k(p))$  ed è determinata con i pesi degli archi per ogni hop nel percorso:

$$PR(path_k(p)) = \prod_{i=0}^{k-1} w(n, n_{i+1}) \quad (3.5)$$

Quindi la credibilità  $k$ -scope di una pagina è definita in termini di probabilità che una camminata casuale eviti le pagine spam dopo aver superato  $k$  hop dalla pagina di origine. La credibilità  $k$ -scope di una pagina  $p$  al tempo  $t$ , denotata con  $C_k(p, t)$ , è definita come segue:

$$C_k(p, t) = 1 - \sum_{l=1}^k \left( \sum_{path_l(p) \in BPath_l(p)} Pr(path_l(p)) \right) \quad (3.6)$$

Dove  $BPath_l(p)$  è l'insieme di tutti i *bad path* di lunghezza  $l$  che hanno origine dalla pagina  $p$ . Appare chiaro che nel caso in cui  $p \in P_b$  allora la credibilità  $k$ -scope è uguale a  $C_k(p, t) = 0$ . Se non ci siano pagine spam all'interno di  $k$  hop allora la pagina  $p$  è credibile con un valore  $C_k(p, t) = 1$ . Il metodo descritto presenta tuttavia due criticità:

- è difficile costruire un grafo che rappresenti interamente tutto il web;
- non si conoscono tutti i nodi spam.

Per risolvere tali criticità è stato introdotto il concetto di *tunable k-scope*, il quale modifica il calcolo della credibilità  $k$ -scope includendo un fattore di penalità di credibilità. Gli obbiettivi sono approssimare al meglio la credibilità  $k$ -scope sotto limiti reali e capire come parametri differenti protrebbero influire sulla qualità delle varie funzioni usate.

Sia  $G = (P, L)$  un grafo diretto,  $k$  il raggio massimo di camminata e  $\gamma(p)$  il fattore di penalità di credibilità di una pagina  $p \in P$  dove  $0 \leq \gamma(p) \leq 1$ , si definisce la credibilità *tunable k-scope* di una pagina  $p$ , denotata con  $C_k(p)$ , in due fasi, quando

$p \notin P_b$ :

$$C_k(p) = \left( 1 - \sum_{l=1}^k \left( \sum_{path_l(p) \in BPath_l(p)} Pr(path_l(p)) \right) \right) \cdot \gamma(p) \quad (3.7)$$

e quando  $p \in P_b$  allora:  $C_k(p) = 0$ .

Oltre a tale metodo per definire la credibilità di un link, gli autori in [21] propongono un algoritmo di ranking basato sulla credibilità denominato *CredibleRank*. *CredibleRank* definisce che la qualità di una pagina è determinata da due criteri: la qualità delle pagine che puntano ad essa e la credibilità di ogni pagina puntata. Definendo con  $In(p)$  l'insieme di pagine che puntano a  $p$ , si calcola *CredibleRank*  $r_c(p)$  per una pagina  $p$ :

$$r_c(p) = \sum_{q \in In(p)} C(q) \cdot r_c(q) \cdot w(q, p) \quad (3.8)$$

Dalla formula si evince che il valore di *CredibleRank* di una pagina  $p$  è determinato dalla qualità delle pagine che la puntano  $r_c(q)$  e dalla credibilità dei link  $C(q)$  delle pagine che la puntano così come la forza del link  $w(q, p)$ .

Altri metodi di spam detection usano dei sottografi ricavati a partire dal grafo ottenuto dalla fase di crawling per rilevare lo spam. Ad esempio in [22] lo spam viene neutralizzato tramite l'identificazione di sottografi composti da pagine spam e i sottografi composti da pagine non spam. Il metodo elabora il grafo del web a due livelli di granularità, uno a livello di pagine web e l'altro a livello di host.

Il primo passo consiste nel rilevare gli host e le pagine spam partizionando il grafo in sottografi densi e calcolando delle feature per ogni sottografo sia sulla base degli URL (statistiche basate sulla lunghezza, statistiche basate sulla posizione della pagina rispetto all'homepage e statistiche basate sulla lunghezza del nome dell'host) e feature basate sul grafo. In particolare per rilevare i sottografi spam si analizza la struttura *bow-tie* del grafo del web che si ottiene identificando le componenti fortemente connesse. In figura 3.2 si nota che la struttura *bow-tie* è composta da 5 elementi:

- il *Core* che è la componente fortemente connessa che contiene la maggior parte di siti non spam che sono facilmente accessibili agli utenti;

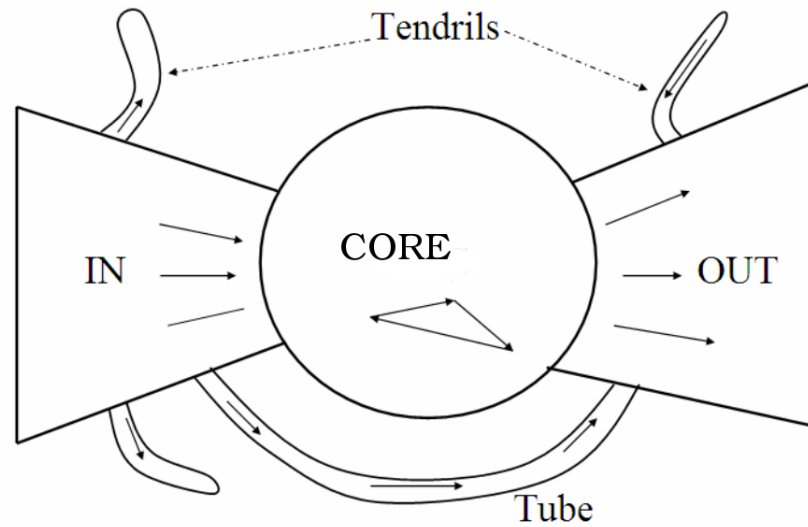


Figura 3.2: Struttura bow-tie.

- la componente *IN* è formata da pagine che puntano al *Core*;
- la componente *OUT* è formata da pagine che sono puntate dal *Core*;
- le componenti *Tendrils* che sono connesse alle componenti *IN* o *OUT* e la componente *Tube*.

Quindi le pagine più facilmente accessibili sono quelle che si trovano all'interno della componente *OUT*. Alcuni studi asseriscono che la presenza di dense componenti fortemente connesse vicino al *Core* del grafo del web sia un indicatore potenziale di spam quindi per identificare i sottografi composti da pagine spam occorre analizzare ed individuare componenti fortemente connesse lungo *In*, *Out*, *tendrils* e *tube*.

Il secondo passo consiste nel ricondurre a livello di host i valori di spam sia a livello di pagine che di host.

Successivamente vengono identificate le strutture fortemente connesse all'interno del *Core* del grafo del web per rilevare gli host non-spam. L'identificazione dei sottografi non spam avviene all'interno della sezione *Core* del grafo del web. Si definisce *k-core* il massimo sottografo dove ogni nodo è connesso ad almeno *k* altri nodi nel sottografo e il valore di *coreness* di un nodo il massimo *k* tale che il nodo venga classificato nel sottografo con il medesimo *k-core*. Host molto importanti,

ovvero quelli che hanno molti *inlink*, sono connessi a altri host altamente connessi formando sottografi robusti con alta *coreness*, mentre gli host spam hanno una bassa *coreness*. Quindi impostando un certo valore di *coreness* si possono identificare i sottografi con una certa robustezza e identificare soli i sottografi non spam.

Infine per aumentare il numero di host spam e non spam vengono propagati simultaneamente *trustrank* e *anti-trust rank*, dagli host che siamo sicuri siano non spam e spam agli host vicini in modo da valorizzare gli host non spam e penalizzare quelli di spam.

Un altro metodo per rilevare lo spam utilizza un classificatore automatico che combina un insieme di feature basate su link e contenuto [23]. Considerando che i link tra le pagine non sono disposti in modo casuale ovvero pagine simili tendono a linkarsi tra di loro più frequentemente di pagine diverse, si può sfruttare tale meccanismo per rilevare le pagine spam che tendono a raggrupparsi in cluster. Infatti le pagine spam per aumentare il rank basato sui link utilizzano le link farm che costituiscono dei cluster all'interno del grafo. Da queste considerazioni gli autori assumono che gli host ben collegati tra di loro appartengano molto probabilmente alla stessa classe: spam o non spam.

### 3.2 Metodi per identificare link farm

Per riconoscere una spam farm (o link farm) si parte dal presupposto che i nodi della spam farm hanno dei link uscenti verso delle pagine target  $t$  per aumentarne il rank. In [24] per identificare le spam farm viene introdotta una misura denominata *spam mass*, che valuta, basandosi sulla struttura del grafo, l'impatto dello spam sul rank di una pagina. Usando questa misura a tutte le pagine web verranno assegnati due valori: quello di *pagerank* e quello relativo alla *spam mass*; in particolare le pagine target delle spam farm riceveranno un alto valore di *PageRank* e un alto valore di *spam mass* mentre le pagine non spam potranno avere un alto valore di *PageRank* ma un basso valore di *spam mass*. Presupponendo, quindi, che il web può essere partizionato in nodi non spam  $V^+$  e nodi spam  $V^-$  e che la loro unione formi il grafo del web, per una data partizione  $\{V^+, V^-\}$  di  $V$  che contiene i nodi  $x$  il *PageRank*

di  $x$  è la somma dei contributi dei nodi non spam e dei nodi spam. Tenendo conto di tali presupposti, per stimare la *spam mass* per ogni nodo del grafo si utilizzano due misure:

- La *spam mass assoluta* di  $x$ , denotata con  $M_x$ , è il *PageRank* che  $x$  riceve dai nodi spam è che uguale a:

$$M_x = q_x^{V^-} \quad (3.9)$$

dove  $q_x^{V^-}$  è appunto il *PageRank* di  $x$  derivato dai nodi spam.

- La *spam mass relativa* di  $x$ , denotata da  $m_x$ , è la frazione del *PageRank* di  $x$  dovuta al contributo dei nodi di spam cioè:

$$m_x = q_x^{V^-} / p_x \quad (3.10)$$

dove  $q_x^{V^-}$  è il *pagerank* di  $x$  derivato dai nodi spam e  $p_x$  il *pagerank* derivato da tutti i nodi.

Dal momento che non è sempre possibile discernere la caratteristica (spam o non spam) per tutti i nodi del grafo ma solo per un sottoinsieme di nodi non spam  $(\tilde{V})^+$  le misure precedenti vengono calcolate nel seguente modo:

- la stima assoluta di *spam mass* di un nodo  $x$  è:

$$\tilde{M}_x = p_x - p'_x \quad (3.11)$$

- la stima relativa di *spam mass* di  $x$  è:

$$\tilde{m}_x = (p_x - p'_x) / p_x = 1 - p'_x / p_x \quad (3.12)$$

dove  $p = PR(v)$  è il *pagerank* dei nodi basato su una distribuzione uniforme mentre  $p' = PR(v\tilde{V}^+)$  è *pagerank* basato sull'insieme  $(\tilde{V})^+$  con una distribuzione di salto  $v\tilde{V}^+$ . Perciò è possibile utilizzare un valore soglia tramite il quale una pagina è considerata facente parte di una spam farm se il valore della stima assoluta o relativa di *spam mass* supera la soglia, perché usando  $p'$  basato sull'insieme  $(\tilde{V})^+$  il valore di *spam mass* sarà maggiore per le pagine spam. Infatti nel caso della stima assoluta

di *spam mass* dove  $p_x - p'_x$ ,  $p_x$  è maggiore rispetto a  $p'_x$  per le pagine spam in quanto avranno difficilmente una relazione con il seedset  $(\tilde{V})^+$  e quindi la sottrazione tenderà ad avere un risultato maggiore per le pagine spam. Lo stesso ragionamento vale per la stima relativa di *spam mass*.

Le pagine all'interno delle spam farm sono densamente connesse tra loro e hanno molti link in entrata e uscita. Se utilizziamo come seedset pagine note che fanno parte di una spam farm, possiamo catalogare una qualsiasi pagina come appartenente a tale spam farm se ha molti link in entrata e uscita rispettivamente da e per il seedset; in questo modo si può allargare il seedset di partenza aggiungendo la nuova pagina individuata. Tale processo è iterato fino a che nessuna altra pagina può essere aggiunta al seedset. Un metodo che applica questo principio per identificare le spam farm è descritto in [25]. Per decidere se una pagina deve fare parte di un seedset, si parte dall'assunzione che le pagine all'interno della link farm normalmente hanno molti nodi in comune tra l'insieme dei link in entrata e quello dei link in uscita. Qualora sono presenti pochi nodi in comune tra l'insieme dei nodi in entrata e in uscita da una pagina questa non sarà catalogata come facente parte di una link farm viceversa la pagina sarà catalogata facente parte della link farm. Ad esempio in figura 3.3 è rappresentata una link farm; il nodo  $A$  ha come insieme di nodi in uscita  $B$  e  $C$  e come insieme di nodi in entrata  $B$  e  $C$ , l'intersezione dei due insiemi crea un insieme di cardinalità uguale a 2, in questo caso dato le dimensioni dell'esempio il nodo  $A$  può essere considerato facente parte di una link farm.

Dopo avere eseguito la verifica per tutte le pagine di un dataset si può ampliare la link farm con delle nuove pagine, del grafo del web, sfruttando il fatto che se una pagina punta a un insieme di pagine spam è probabile che anche essa sia spam. Quindi se il numero di outlink di una pagina  $p$  verso la link farm è uguale o supera una soglia, la pagina sarà giudicata spam e perciò facente parte del seedset della spam farm. Una volta trovate le pagine spam bisogna utilizzare queste informazioni per il ranking. Un modo è quello di eliminare queste pagine direttamente dal grafo del web, un altro modo può essere quello di penalizzare i link invece che le pagine, facenti parte della spam farm, con un fattore di decadimento o infine potrebbe essere utile eliminare direttamente i link che fanno parte della spam farm.

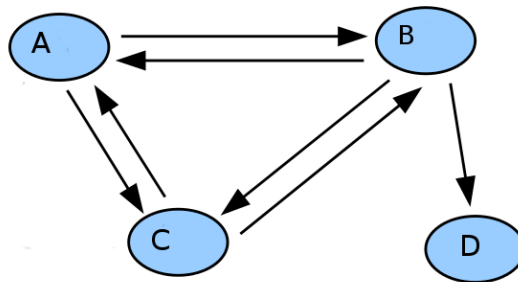


Figura 3.3: Struttura di una link farm.

### 3.3 Link dai forum

Un metodo utilizzato dagli spammer per creare delle grandi link farm è lo scambio di link che molto spesso avviene attraverso l'utilizzo di forum SEO (Search Engine Optimization). Questi forum contengono varie tipologie di discussioni (ad esempio spiegazioni su come manipolare gli algoritmi dei motori di ricerca per incrementare il rank delle pagine e sezioni dedicate anche allo scambio dei link). Utilizzando tali informazioni si potrebbe costruire un algoritmo per identificare i siti spam e quindi azzerare o attenuare il loro valore di rilevanza delle ricerche in un motore di ricerca. Tale processo non è semplice in quanto la presenza di numerose e diversificate informazioni producono rumore nel rilevamento dei link. Un modo efficace per implementare questa tecnica consiste nel [26]:

- Estrarre tutti i link contenuti nei post.
- Dal momento che non tutti i link presenti nei post sono spam vengono estratte le feature dai link sulla base delle loro relazioni con gli utenti del forum e della struttura dei loro link nel grafo del web. Le feature vengono catalogate in tre tipi: feature del forum SEO (quali la frequenza di URL nel forum, il numero di thread che il proprietario dell'URL ha discusso, il numero di post autorizzati dal proprietario dell'URL, il numero di URL inseriti dal proprietario dell'URL, la media degli URL per post di un utente, il numero di post che contengono l'URL del proprietario), le feature del grafo (fra cui il numero di link in ingresso, il numero di link in uscita, la media dei link in uscita dei vicini in ingresso, la



media dei link in entrata dei vicini in uscita) e le feature del sito (la lunghezza dell'URL).

- Infine viene calcolato il valore di spam dei siti.

Questi metodi sono di particolare aiuto nell'incrementare il numero di pagine spam che i metodi convenzionali (sia basati sul contenuto che sulla struttura del grafo) non riescono a identificare e perciò è possibile usarlo come metodo complementare ai metodi classici.

### 3.4 Metodi per migliorare la classificazione

Oltre alla rilevazione delle pagine di spam utilizzando le tecniche e le feature descritte in precedenza, un aspetto focale consiste nel miglioramento della fase di classificazione; in [27] viene presentato un metodo per migliorare la classificazione utilizzando un classificatore di base, per etichettare le pagine, e delle euristiche basate sulla tipologia dei nodi vicini a un nodo  $v$ . Tali euristiche determinano se il nodo  $v$  dovrebbe essere rietichettato basandosi sul risultato della prima classificazione o sull'informazione tratta dalle euristiche. Gli autori di tale metodo affermano che la struttura dei vicini di un nodo è un buon indicatore per classificarlo in spam o non spam. In particolare vengono analizzate alcune distribuzioni delle proprietà dei vicini:

- la distribuzione dello spam in entrata: tale distribuzione è rappresentata tramite il grafico in figura 3.4 dove ogni sito (di cui si conosce se esso è spam o non spam) andrà a finire in uno dei settori sull'asse  $x$  in base alla frazione di nodi spam tra i suoi vicini in entrata. L'asse  $y$  rappresenta la percentuale di spam/non spam all'interno del settore. Dal grafico si nota che quanto più è alta la frazione di vicini spam in entrata di un sito tanto la probabilità che tale sito sia spam cresce.
- la distribuzione dello spam in uscita: tale distribuzione è rappresentata tramite il grafico in figura 3.5; si osserva che tale distribuzione è simile a quella per lo spam in entrata.

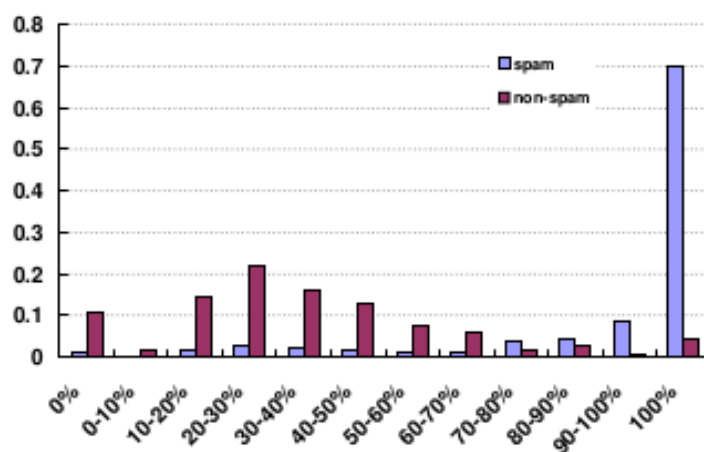


Figura 3.4: Distribuzione dello spam in entrata

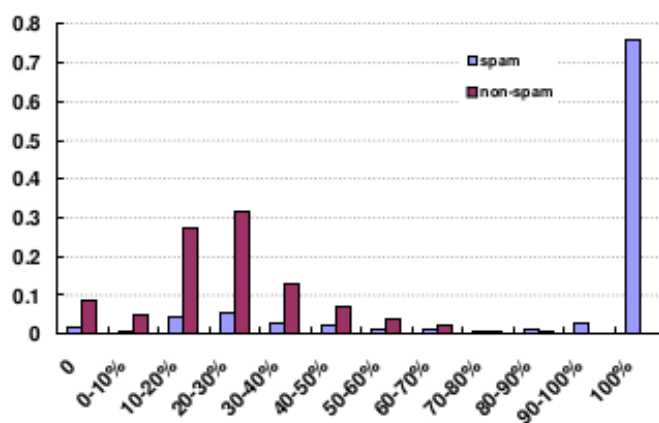


Figura 3.5: Distribuzione dello spam in uscita

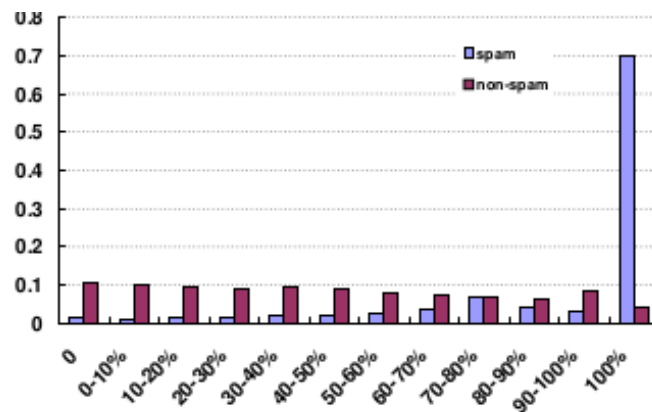


Figura 3.6: Distribuzione entrante pesata

- distribuzione entrante pesata: tale distribuzione è rappresentata tramite il grafico in figura 3.6; in tale distribuzione vengono esaminati gli inlink pesati con pagerank.

Vi sono due approcci per rietichettare i nodi dopo la prima classificazione. Nel primo, a ogni nodo viene assegnata un'etichetta dal primo classificatore e successivamente viene definita un'altra etichetta per un nodo vicino, sulla base di una delle euristiche definite in precedenza, a cui viene associato un livello di confidenza; quindi l'etichetta del nodo determinata attraverso la classificazione di base viene confrontata con quella di un nodo vicino, se le due etichette sono molto difformi tra loro e l'etichetta del nodo vicino è molto affidabile in termini di confidenza allora l'etichetta del sito viene cambiata da spam a non spam (o viceversa). Il secondo modo consiste nel applicare, dopo la classificazione di base, un secondo classificatore che utilizza altre feature (le etichette assegnate dal primo classificatore, la percentuale di inlink corrispondenti a siti spam, la percentuale di outlink che puntano a siti spam, ecc...).

Un altro metodo che fa uso della riassegnazione delle etichette associate a ogni nodo dopo una prima fase di classificazione è descritto in [28]. Tale metodo fa uso di una strategia di riestrazione delle feature facendo delle analisi basate sui clustering dei nodi, analisi sulla propagazione e analisi basate sulla struttura del grafo dei nodi vicini. L'algoritmo è suddiviso in quattro fasi:

- vengono estratte delle feature base per ogni nodo;

- viene eseguita una prima classificazione;
- successivamente vengono riestratte le altre feature basate sui cluster, sulla propagazione e sulla struttura dei vicini;
- viene rieseguita una seconda fase di classificazione;

Le analisi sui cluster vengono eseguite utilizzando un grafo non diretto  $G = (V, E, w)$ , dove  $V$  è l'insieme degli host,  $w$  è una funzione di pesatura e  $E$  è l'insieme degli archi con peso non zero. Quindi per calcolare la feature sui cluster il grafo viene partizionato in  $k$  cluster e successivamente calcolato:

$$cf(H) = \frac{\sum_{h \in C(H)} spamicity(H)}{|C(H)|} \quad (3.13)$$

dove  $C(H)$  è il cluster al quale l'host  $H$  appartiene e la  $spamicity(h)$  è il valore di spam rilevato durante la prima classificazione.

Diversamente la feature di propagazione si ottiene nel seguente modo:

$$pf(H)^{(t)} = \sum_{h:h \rightarrow H} \frac{pf(h)^{t-1} \times weight(h, H)}{\sum_{g:h \rightarrow g} weight(h, g)} \quad (3.14)$$

dove  $t$  è il numero di iterazioni,  $pf(h)^{(0)} = spamicity(h)$  e  $weight(h, H)$  è il peso degli host  $h$  e  $H$ .

Infine l'ultima feature quella relativa alla struttura dei vicini si ottiene:

$$nf(H) = \frac{\sum_{h \in N(H)} (spamicity(h) \times weight(H, h))}{|N(H)|} \quad (3.15)$$

dove  $N(H) \in \{inlink(H), outlink(H), outlink(outlink(H)), inlink(inlink(H)), inlink(outlink(H)), outlink(inlink(H))\}$  e quindi rappresenta l'insieme delle relazioni con i nodi vicini del nodo  $H$ .

Le prestazioni della fase di classificazione degli algoritmi di spam detection sono legate al quantità di dati di training con cui il classificatore viene istruito. le performance della classificazione, quindi, in [29] viene proposto un particolare algoritmo di apprendimento supervisionato denominato *Link-training*; tale algoritmo si basa sull'apprendimento dai link ovvero la dipendenza topologica. L'algoritmo di apprendimento si può riassumere nei seguenti passi:

- La prima fase consiste nel istruire un classificatore attraverso l'uso di un piccolo dataset.
- Successivamente viene utilizzato il classificatore per categorizzare e assegnare un valore di spam ( $PS$ ) ai dati non etichettati; il calcolo di  $PS$  avviene nel seguente modo:

$$PS(x) = \frac{P_{spam}(x)}{P_{spam}(x) + P_{normal}(x)} \quad (3.16)$$

dove,  $P_{spam}(x)$  è la probabilità di  $x$  di essere un nodo spam.

- Il passo successivo consiste nell'assegnare a tutti i nodi il valore di spam calcolato.
- Per istruire il classificatore oltre al valore di spam di base viene calcolato anche quello relativo ai vicini (LS):

$$LS(h) = \frac{\sum_{v \in N(h)} (PS(v) \times weight(h, v))}{\sum_{v \in N(h)} weight(h, v)} \quad (3.17)$$

dove  $v$  e  $h$  sono gli host,  $weight(h, v)$  è il peso dell'host  $h$  e  $v$ ,  $weight(h, v) \in [1, \log(n))$ , dove  $n$  è il numero di link tra i due nodi.  $N(h) \in inlink(h) \cup outlink(h)$ , dove  $inlink(h)$  rappresenta l'insieme dei link in entrata di  $h$  e  $outlink(h)$  rappresenta l'insieme dei link in uscita di  $h$ . Queste fasi del processo sono cicliche per un numero stabilito di iterazioni.

Gli algoritmi di spam detection basati sul grafo ottenuto dalla fase di crawling sfruttano le caratteristiche dei grafi per ottenere delle informazioni riguardo i nodi spam. Quasi tutti i metodi descritti si basano sulla stessa intuizione dell'algoritmo di *trustrank* (quella relativa all'isolazione approssimata delle pagine buone) sfruttando tale intuizione per determinare le pagine spam. Ad esempio *Anti-trust rank* sfrutta tale intuizione ma non andando a manipolare i link in uscita di ogni nodo ma i link dei nodi entranti. Altri metodi mentre si basano sulla ricerca delle spam farm mentre altri ancora si focalizzano sul miglioramento dei vari algoritmi di classificazione. Oltre alle tecniche basate su contenuto e sul grafo del web sono state implementate altre che utilizzano criteri diversi per determinare le pagine spam che

non si possono identificare tramite i metodi classici; tali metodi, quindi, sono nati per andare incontro alla crescita di nuovi tipi di web spam.

## Capitolo 4

# Tecniche che fanno uso di altri segnali

Come già discusso nei capitoli precedenti, le tecniche basate sul contenuto utilizzano delle feature determinate empiricamente su alcuni dataset di pagine web a disposizione dei ricercatori mentre le tecniche che basate sul grafo diminuiscono o eliminano del tutto l'impatto dello score dei nodi spam attraverso la determinazione di alcuni pattern strutturali all'interno del grafo. Le tecniche che vengono descritti in questo capitolo sono la risposta alla continua evoluzione delle tecniche di web spam; Tali tecniche utilizzano come segnale di partenza oggetti al di fuori del contenuto delle pagine web e della struttura del grafo. Questi nuovi tipi di approccio sono stati sviluppati per identificare tutti i vari tipi di spam che hanno caratteristiche tali da non essere identificabili con i metodi tradizionali oppure quando si voglia usarle in modo complementare alle tecniche già presenti in letteratura.

### 4.1 Rilevamento dello spam di tipo cloacking

Ci sono pochi metodi che tentano di rilevare il cloaking. Gli spammer possono rilevare un crawler dal suo indirizzo IP o dal campo *user-agent* all'interno di una richiesta HTTP e quindi fornire due versioni di una pagina a seconda di chi effettui la richiesta. Molti dei metodi per rilevare il cloaking prendono in considerazioni

due copie di una stessa pagina, la prima è ottenuta tramite un richiesta HTTP al server (proprietario della pagina) da parte di un crawler mentre la seconda è ottenuta tramite la richiesta HTTP al server da parte di un browser; le due copie vengono quindi confrontate per verificare se siano identiche e escludere che si tratti di cloacking. Tuttavia tali metodi non sono efficaci in quanto con l'avvento del WEB 2.0 le pagine vengono generate dinamicamente e possono variare nei contenuti. Per superare l'incertezza legata alla natura dinamica delle pagine si può utilizzare un metodo [30] che si basa sul confronto dei termini tra le due copie di una pagina usando delle funzioni hash per aumentare la velocità di confronto. Il metodo definisce  $C_i$  l'insieme delle copie di una pagina che sono ottenute tramite le richieste fatte da parte di un crawler al server,  $B_i$  l'insieme delle copie di una pagina che sono conseguite attraverso delle richieste da parte di un browser al server e  $f$  una funzione di hash che viene applicata alle copie ottenute  $B_i$  e  $C_i$ ; se i valori di hash ottenuti dalle copie del browser e del crawler sono identici ne consegue che le pagine sono identiche, viceversa le due pagine sono differenti. L'algoritmo differenzia il cloacking in statico e dinamico. Nel primo caso ci si trova nella situazione in cui le copie di una pagina del browser e del crawler sono diverse mentre nel cloacking dinamico si ha  $B_1 = B_2 = C_2 \neq C_1$  ovvero le due copie di una pagina del browser sono identiche a una copia della pagina del crawler ma sono differenti da un'altra copia del crawler. Più in dettaglio i vari casi di cloacking statico si possono esaminare come segue:

- Una prima fase valuta  $f(C_1)$  e  $f(B_1)$  e se i due valori di hash sono differenti vengono calcolate anche  $f(B_2)$  e  $f(C_2)$ . Valori di hash differenti implicano una buona probabilità che le due pagine derivino da un meccanismo di cloacking, ma queste considerazioni non sono sufficienti perciò occorre eseguire la seconda fase.
- Nella seconda fase i valori di hash vengono valutati nel seguente modo:  $f(C_1) \neq f(B_1)$ ,  $f(C_2) \neq f(B_2)$ ,  $f(C_1) = f(C_2)$ ,  $f(B_1) = f(B_2)$ . Tale valutazione suggerisce che la probabilità di cloacking è elevata ma data la natura dinamica delle pagine web 2.0 per essere sicuri di essere di fronte ad un meccanismo di cloacking si calcola la differenza dei termini tra  $C_1$  e  $B_1$  (denominata  $D_{C_1B_1}$ )



e se tale differenza è inferiore a un valore soglia si ipotizza non si tratti di cloacking.

- La terza fase è determinata nel caso in cui i valori delle funzioni di hash delle copie del browser e del crawler assumino tale caratteristica:  $f(C_1) \neq f(B_1)$ ,  $f(C_2) \neq f(B_2)$ ,  $f(C_1) = f(C_2)$ ,  $f(B_1) \neq f(B_2)$ . Questo caso si differenzia dal precedente per il fatto che le due copie del browser sono diverse e questo suggerisce la presenza di contenuto altamente dinamico della pagina riducendo così la probabilità di cloacking. Per prevenire falsi positivi vengono calcolate  $D_1$  come le differenze dei termini tra  $C_1$  e  $B_1$  e  $D_2$  come le differenze dei termini tra  $C_2$  e  $B_2$  e successivamente  $D_{TOTAL}$  come la differenza tra  $D_1 \cup D_2$  e  $D_1 \cap D_2$ . Se  $D_{TOTAL}$  supera un valore soglia allora ci si trova davanti un meccanismo di cloacking.
- La quarta fase si ha quando  $f(C_1) \neq f(B_1)$ ,  $f(C_2) \neq f(B_2)$ ,  $f(C_1) \neq f(C_2)$ ,  $f(B_1) \neq f(B_2)$ ; dal momento che  $f(C_1), f(C_2), f(B_1), f(B_2)$  sono differenti queste pagine sono pagine dinamiche in quanto cambiano molto velocemente.
- La quinta fase si ha quando  $f(C_1) \neq f(B_1)$ ,  $f(C_2) \neq f(B_2)$ ,  $f(C_1) \neq f(C_2)$ ,  $f(B_1) = f(B_2)$ ; in questo caso viene calcolato  $D_{C_1C_2}$  come la differenza dei termini tra le copie del crawler e  $D_{B_1C_1}$  come la differenza dei termini tra  $B_1$  e  $C_1$ . Se  $D_{C_1C_2}$  è maggiore di  $D_{B_1C_1}$  allora non si tratta di cloacking perché la differenza tra le copie del crawler è maggiore della differenza tra la copia del crawler e quella del browser; si determina la natura dinamica della pagina.

Per quanto riguarda il cloacking dinamico si hanno due casi. Il primo caso è determinato dalla seguente situazione:  $f(C_1) \neq f(B_1)$ ,  $f(C_2) = f(B_2)$ ,  $f(B_1) \neq f(B_2)$ ; dal momento che  $f(B_1)$  è differente rispetto a  $f(B_2)$ , quindi le due copie del browser sono diverse, la pagina non effettua cloacking ma i contenuti vengono prodotti dinamicamente. Il secondo caso è identificato dalla seguente situazione:  $f(C_1) \neq f(B_1)$ ,  $f(C_2) = f(B_2)$ ,  $f(B_1) = f(B_2)$ ; la copia  $C_1$  del crawler e quella  $B_1$  del browser sono diverse mentre nella copia del crawler  $C_2$  è uguale alla copia del browser  $B_2$ . Tale situazione può evidenziare o che il server spam sceglie quando effettuare il cloacking

o che c'è una relazione con la natura dinamica delle pagine. Per questo l'algoritmo prevede il calcolo di  $D_{C1C2}$  ovvero la differenza dei termini tra le due copie del crawler. Se  $D_{C1C2}$  è maggiore di una certa soglia allora l'algoritmo identifica la pagina come cloacking.

Nella progettazione di una componente di spam detection all'interno di un crawler si potrebbe utilizzare quest'ultimo metodo per rilevare il cloacking affiancandolo ad altri metodi che rilevano lo spam di altro tipo (come i metodi basati sul contenuto o sul grafo). Ma usare questo algoritmo implicherebbe che per ogni pagina ottenuta durante la fase di fetching del crawler bisognerebbe eseguire la stessa richiesta attraverso un browser. Un metodo molto più efficiente sarebbe quello di determinare il cloacking direttamente nella sola sessione del crawler.

## 4.2 Rilevare lo spam tramite l'header HTTP

Un metodo innovativo per rilevare lo spam è quello descritto in [31]. Tale metodo può essere usato come supporto ad altri metodi descritti in precedenza e può essere utilizzato in modo dinamico durante la fase di downloading delle pagine, utile per risparmiare il numero di richieste inutili verso pagine spam. Diversamente dai metodi classici (basati sull'uso del contenuto della pagina o sulla struttura del grafo) questo metodo utilizza le informazioni racchiuse all'interno dell'header HTTP per determinare le pagine spam. Oltre all'utilizzo lato server (crawler) può essere usato anche lato client (browser) per migliorare la qualità dei contenuti proteggendo da malware e permettendo di risparmiare banda e quantità di memoria. Dopo aver effettuato la richiesta HTTP al server di una pagina in un primo momento viene interpretato solo l'header della risposta HTTP, successivamente viene azionato un classificatore per valutare l'header come spam o non spam e se l'header viene classificato come non spam allora si continua con la lettura del resto della pagina.

I vari campi all'interno delle sessioni HTTP sono usati come feature le quali vengono valutate dal classificatore. L'header della pagina spam e non spam sono differenti: analizzando i valore dei campi dell'header HTTP si nota che alcuni di essi sono più frequenti nelle pagine spam invece delle pagine non spam (e viceversa). Ad esempio

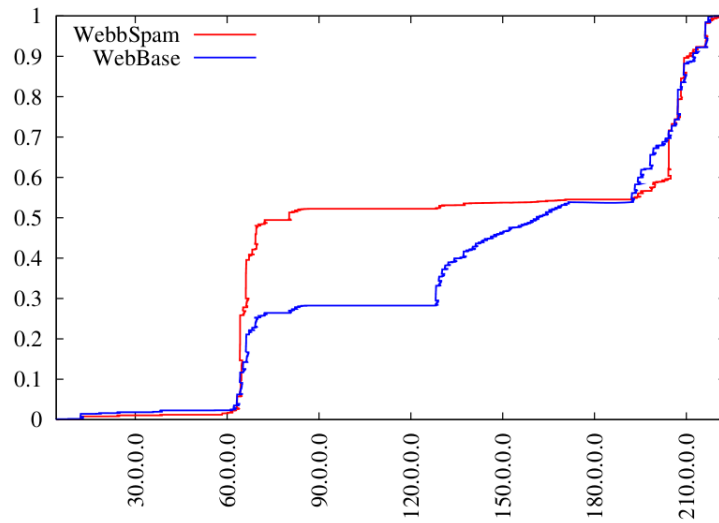


Figura 4.1: Distribuzione degli indirizzi IP di due dataset: WebSpam che contiene pagine spam e WebBase che contiene pagine non spam.

in figura 4.1 vengono confrontate le distribuzioni degli indirizzi IP per il corpus di pagine WebSpam (che contiene delle pagine spam) e il corpus WebBase (che contiene pagine non spam); dal grafico si nota che gli indirizzi IP nel corpus WebSpam sono concentrati principalmente nel range tra 63.\*–69.\* e 204.\*–216.\*. Perciò tale metodo fa uso dell’header HTTP in modo da classificare le pagine basandosi sull’osservazione che pagine spam e pagine non spam hanno valori (campi dell’header) che hanno distribuzioni distinte. Questo metodo comunque non è molto affidabile se usato da solo perciò è un ottimo strumento da usare in modo complementare ad altri metodi più tradizionali. Un uso sensato sarebbe quello di utilizzare questa tecnica come processo di preselezione in modo tale da sfoltire il numero di pagine che gli altri metodi (che si basano o sull’uso del contenuto delle pagine o del grafo del web) devono utilizzare e quindi richiedendo un numero minore di risorse.

### 4.3 Altri metodi

Tra i metodi di spam detection ci sono alcuni che utilizzano pattern basati sul comportamento dell’utente per identificare le pagine spam; in [32] è illustrato un metodo che identifica le pagine spam utilizzando tre feature ricavate da pattern

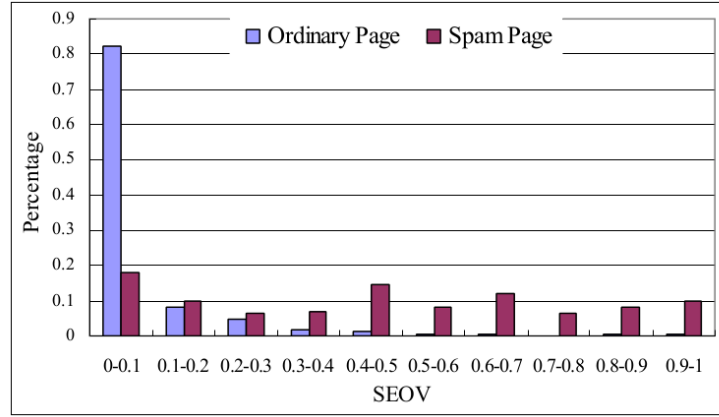


Figura 4.2: Distribuzione delle pagine sulla base della feature SEOV.

comportamentali che analizzano le azioni dell'utente in presenza di pagine spam e pagine non spam. Le feature sono così calcolate:

- La prima feature è denominata SEOV (*Search Engine Oriented Visit*) ed è definita come:

$$SEOV(p) = \frac{\#(\text{Search engine oriented visit of } p)}{\#(\text{Visit of } p)} \quad (4.1)$$

dove  $p$  rappresenta la pagina web per cui viene calcolata la feature. Il numeratore indica la visita della pagina  $p$  per mezzo dei motori di ricerca mentre il denominatore indica la visita alla pagina  $p$  senza il bisogno di utilizzare i motori di ricerca. Dato che un utente non andrebbe mai su pagine spam se non ingannato dai risultati dei motori di ricerca, le pagine spam hanno valori alti per questa feature. In figura 4.2 è rappresentata la distribuzione delle pagine (del dataset usato dagli autori) sulla base del valore della feature SEOV; in rosso sono rappresentate le pagine spam mentre in blu sono rappresentate le pagine non spam. Molte pagine web spam hanno valori SEOV più alti delle pagine non spam perché i motori di ricerca sono gli strumenti, e in alcuni casi sono gli unici, tramite cui le pagine spam possono essere raggiunte.

- Dal momento che esiste una grande differenza tra i contenuti di una pagina spam (ad esempio le pagine spam possono contenere molta pubblicità) e i contenuti di una pagina non spam, ci si avvale del comportamento dell'utente

per etichettare le pagine. Ovvero un utente rimane su una pagina spam solo fino a al punto in cui capisce di essere su un sito con contenuti non pertinenti, mentre nel caso in cui si trovi a navigare su una pagina non spam l'utente è stimolato a rimanerci. Quindi la seconda feature è definita come SP (*Start Point Visiting rate*):

$$SP(p) = \frac{\#(\text{user click a hyperlink on } p \text{ while visiting } p)}{\#(\text{Visit of } p)} \quad (4.2)$$

questa feature indica quanti click sono fatti su una certa pagina  $p$ . In questo caso il valore al numeratore indica il numero di link cliccati dall'utente mentre naviga su una pagina  $p$ ; quindi ne consegue che le pagine spam avranno valori bassi rispetto alle pagine non spam.

- Infine l'ultima feature è denominata SN (*Short-term Navigation rate*) e indica quante pagine di un sito  $w$  saranno visitate una volta che un utente avrà visitato tale sito  $w$ . Questa misura è definita in questo modo:

$$SN(w) = \frac{\#(\text{Session in wich users visit less than } N \text{ pages in } w)}{\#(\text{Session in wich user visit } w)} \quad (4.3)$$

La novità di questo metodo sta nel fatto che mentre gli altri metodi sono basati sullo studio di determinate proprietà che le pagine web hanno o sullo studio del grafo del web (quindi la tipologia che le pagine web assumo all'interno del grafo) quest'ultimo metodo si basa sul comportamento dell'utente. Quindi tale metodo utilizzando pattern comportamentali per determinare le pagine spam è molto più flessibile dei metodi tradizionali, i quali sono dipendenti dalla struttura della pagina o del grafo. A differenza dei metodi classici che si basano su delle euristiche riscontrate su alcuni dataset e quindi sono dipendenti dalla tipologia di spam che si riscontra perciò non sono flessibili in modo da rilevare nuovi tipi di tecniche spam, questo ultimo metodo rende il problema dell'identificazione dello spam scalabile, ovvero potrebbe riuscire a rilevare anche le nuove tipologie di spam web che potrebbero essere implementate.

Un altro metodo che fanno uso del comportamento dell'utente durante la navigazione web per determinare le pagine spam è *BrowseRank* [33]. *BrowseRank* determina l'importanza di una pagina web utilizzando il grafo ricavato dal comportamento dell'utente durante la navigazione web con attraverso il browser. Il grafo è

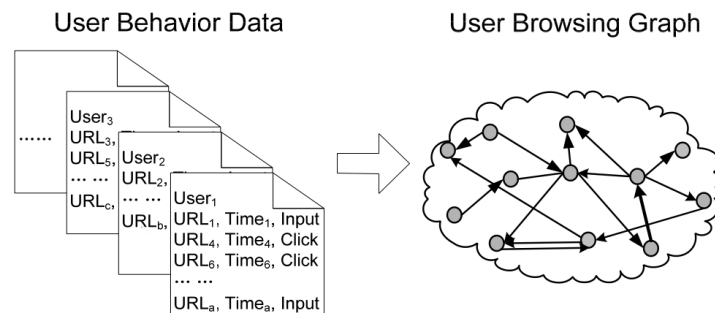


Figura 4.3: Dal comportamento dell'utente al grafo.

costituito da vertici che rappresentano le pagine. da archi orientati che rappresentano le transizioni da una pagina all'altra da parte dell'utente e anche dal tempo di permanenza su una pagina. Infine come per *Pagerank* viene utilizzato il grafo ricavato per determinare l'importanza delle pagine.

In figura 4.3 è rappresentato uno schema esplicativo del modo con cui si ricava il grafo. Il grafo è ricavato dai browser degli utenti (ad esempio tramite l'utilizzo di toolbar) che raccolgono diversi dati come l'URL, il tempo di permanenza, la tipologia della visita (ad esempio se l'utente ha inserito l'URL nella barra degli indirizzi del browser oppure se arrivato a ad una pagina per mezzo di un link) e vengono poi recuperati da un server che integra i dati provenienti da milioni di utenti. Questo algoritmo ha due vantaggi principali rispetto ai metodi tradizionali sui link quali:

- Dato che il grafo è ricavato durante la fase di navigazione è più accurato di quello ricavato da un crawler perché i link tra le pagine possono cambiare continuamente.
- Inoltre tale metodo tiene conto anche del tempo in cui ci si sofferma su una pagina; questa caratteristica può fare capire se si è in presenza di una pagina spam: infatti un utente non avrebbe nessun vantaggio a rimanere a lungo su una pagina con poca pertinenza e qualità rispetto al suo bisogno di informazione.

Dagli esperimenti gli autori hanno notato che *BrowseRank* è più efficiente rispetto a *TrustRank* e quindi dimostra che i metodi che si basano su segnali differenti dal contenuto o dal grafo del web possono essere in grado di lavorare autonomamente e non solo in modo complementare ai metodi classici.

## Capitolo 5

# Dataset e strumenti utilizzati

Questo capitolo illustra il dataset utilizzato per l’implementazione e l’esecuzione dei test, che verranno discussi nel capitolo successivo, e gli strumenti (tra cui framework e librerie) utilizzati per rendere più efficienti i vari test.

### 5.1 Descrizione del dataset

Il dataset utilizzato per gli esperimenti è WEBSpam-UK2007 [34] ottenuto da un crawl del dominio “.uk” nel maggio del 2007 tramite il supporto del “Laboratorio di Algoritmica per il Web” dell’Università degli Studi di Milano; è composto da un insieme di 105.896.555 pagine che fanno parte di 114.529 host. Gli host del dataset sono etichettati, grazie al supporto di alcuni volontari, in due classi: nodi spam e nodi non spam . Il dataset è composto da tre parti:

- La prima parte contiene le etichette associate agli host (divise in due gruppi). Il primo gruppo è costituito da  $\frac{2}{3}$  dell’insieme degli host valutati, ed è pensato stato pensato per essere utilizzato come dataset di training. Questo primo gruppo è costituito da 3776 nodi etichettati come non spam, 222 nodi etichettati spam ed infine 277 nodi etichettati “undecided” ovvero nodi di cui la natura (spam o non spam) è in dubbio. Il secondo gruppo di etichette costituito dal rimanente  $\frac{1}{3}$  dell’insieme degli host valutati, è stato pensato per essere utilizzato come dataset di testing. Il secondo gruppo è costituito



da 1933 nodi etichettati non spam, 122 nodi etichettati spam e 149 etichettati “undecided”.

Tutti gli host sono identificati attraverso un *id*, che va da 0 a 114.528, a cui è associato l’URL corrispondente. L’assegnazione di un’etichetta ad un host avviene in due fasi. Nella prima fase l’utente valuta ogni host sulla base del contenuto della collezione e la lista degli host collegati all’host valutato. Nella seconda fase all’utente valutatore vengono fornite l’etichette assegnate dagli altri utenti ad ogni host valutato e gli viene chiesto di riesaminare le sue valutazioni qualora vi fosse un disaccordo con altri. Le etichette ottenute tramite tale processo vengono sintetizzate in un file. Il file esplica per ogni host valutato, il suo *id* e l’etichetta associata tra “nonspam”, “spam” e “undecided”; oltre all’etichetta sono associate le singole valutazioni effettuate dagli utenti e la media risultante delle valutazioni effettuate per un dato host, calcolata considerando l’etichetta spam uguale a 1, l’etichetta non spam uguale a 0 e l’etichetta di “undecided” uguale 0.5.

Di seguito è rappresentato un esempio con 5 host:

ID	ETICHETTA	MEDIA	VALUTAZIONI
5	nonspam	0.00000	j1:N, j2:N
100	nonspam	0.33333	j14:N, j17:S, j7:N
120	spam	1.00000	j18:U, j4:S
170	undecided	-	j13:U, j20:U
210	undecided	0.50000	j15:N, j16:S, j22:U

Dove *N* indica non spam, *S* indica spam e *U* indica che la natura del nodo non è definita. Prendendo, ad esempio, in considerazione l’host con *id* uguale a 5 si può notare che tale nodo è stato giudicato non spam e che la media delle due votazioni è uguale a 0, visto che entrambi gli utenti hanno giudicato il nodo non spam.

Le informazioni appena descritte risultano oltre modo dettagliate per i test che devono essere eseguiti in questo lavoro di tesi e dal momento che si ha solo bisogno di sapere quali nodi siano spam e quali non spam sono stati utilizzati

solo i dati relativi alle etichette associate ai nodi del primo gruppo (il gruppo di testing).

- La seconda parte contiene due grafi, definiti con due differenti livelli di granularità: il primo è implementato a livello di host mentre il secondo è implementato a livello di pagina. Il grafo a livello di host è formato da 114.528 nodi, rappresentanti gli host, e sarà utilizzato per eseguire i test di questo lavoro di tesi; il secondo è formato 105.896.555 nodi, rappresentanti le pagine web, che sono connessi da circa 3.7 miliardi di archi (ovvero i link tra le pagine).

Il grafo degli host gestisce i link multipli tra le pagine di differenti host aggregandoli in un singolo link a cui è associato un peso. Il file che descrive il grafo a livello di host ha una particolare sintassi: la prima riga indica il numero di host nel grafo mentre le successive righe contengono gli *outlink* degli host, ad esempio alla riga due verranno indicati gli *outlink* del nodo 0 alla riga tre gli *outlink* del nodo 1 e così via. Dato che i link sono pesati la sintassi completa per ogni riga che rappresenta un nodo è:

$$dest_1 : nlinks_1, dest_2 : nlinks_2, \dots, dest_k : nlinks_k$$

dove *dest* è il nodo di arrivo del link ed è rappresentato dall'*id* del nodo di destinazione mentre *nlinks* è il numero di link tra le pagine dei due host. Ad esempio di seguito è illustrato una porzione di un grafo degli host:

```
114529
1005:1 8306:1 9596:1
8107:3320 22950:4 108053:1
24003:1
24003:1
...
```

Nella prima riga dell'esempio viene specificato che il grafo è composto da 114529 nodi. Nella seconda riga si nota che il nodo 0 ha 3 outlink, uno verso il nodo 1005, un altro link verso il nodo 9596 ed infine un link verso il nodo 8306. La terza riga indica che il nodo 1 ha 3 outlink: un link verso il nodo

8107 con un peso 3320 (quindi le pagine del nodo 1 hanno 3320 link verso le pagine del nodo 8107), un link verso il nodo 22950 con peso 4 ed infine un link verso il nodo 108053. Il file quindi sarà lungo 114530 righe.

Quindi utilizzando queste informazioni si può convertire il file che descrive il grafo in in modo da poter essere successivamente manipolato tramite il framework WebGraph [35].

- La terza parte contiene il contenuto delle pagine HTML fornito in formato WARC. “Il formato WARC specifica un metodo per combinare molte risorse in un unico file con le relative informazioni” (<http://www.digitalpreservation.gov/formats/fdd/fdd000236.shtml> il 5/5/2014).

Quindi per lo sviluppo dei test sono state utilizzate due informazioni utili derivate dal dataset: le etichette che identificano i nodi del grafo spam da quelli che sono non spam e la struttura del grafo che verrà manipolata tramite l'utilizzo del framework WebGraph [35]. WebGraph è un framework per la compressione di enormi grafi e permette, quindi, di eseguire operazioni sul grafo in maniera molto semplice e veloce.

## 5.2 La Tau di Kendall

Alcuni test che sono stati implementati hanno come obbiettivo il calcolo della distanza tra due vettori e quindi per tale motivo è stata utilizzata la Tau di Kendall [36]. Più precisamente la Tau di Kendall valuta il grado di similarità tra due vettori ovvero dati due vettori  $r_i$  e  $s_i$  con  $i = 0, 1, \dots, n - 1$  e  $i < j$ , si dice che una coppia  $(i, j)$  è:

- *concordante* se  $r_i - r_j$  e  $s_i - s_j$  sono entrambe diverse da 0 e hanno lo stesso segno;
- *discordante* se  $r_i - r_j$  e  $s_i - s_j$  sono entrambe diverse da 0 e hanno segno opposto;
- *r-tie* se  $r_i - r_j = 0$ ;
- *s-tie* se  $s_i - s_j = 0$ ;

- *joint tie* se  $r_i - r_j = 0$  e  $s_i - s_j = 0$ .

Allora viene definito  $C$  come il numero delle coppie concordanti,  $D$  il numero delle coppie discordanti,  $T_r$  il numero delle coppie r-tie,  $T_s$  il numero delle coppie s-tie,  $J$  il numero delle coppie joint tie e  $N = n(n-1)/2$ . Quindi  $C + D + T_r + T_s - J = N$ . La Tau di Kendall può essere calcolata come:

$$\tau = \frac{(C - D)}{[(N - T_r)(N - T_s)]^{1/2}} \quad (5.1)$$

Per eseguire i test è stato scelto di usare la libreria “it.unimi.dsi.law” [37] fornita dal LAW (Laboratori di Algoritmica per il Web) dell’Università degli studi di Milano. Questa libreria contiene dei metodi che consentono di calcolare efficientemente la Tau di Kendall.

### 5.3 Il framework Webgraph

Per la gestione del grafo è stato usato il framework WebGraph [35]. Questo framework permette di comprimere i grafi e di eseguire delle operazioni su di essi in maniera molto efficiente. Nell’implementazione dei test viene utilizzata solo una piccola parte delle risorse che mette a disposizione WebGraph. Infatti esso incorpora:

- un insieme di codici di compressione per la memorizzazione dei grafi;
- algoritmi che permettono di accedere al grafo compresso senza ogni volta doverlo decomprimere;
- algoritmi di analisi dei grafi;
- insiemi di dati che si possono analizzare.

Dal momento che i nostri test esaminano delle proprietà di alcuni algoritmi sui grafi, questo framework rende le operazioni molto efficienti.

## Capitolo 6

# Test dei metodi di spam detection

Nei capitoli precedenti sono stati illustrati vari metodi di spam detection classificati in base a segnali in ingresso utilizzati; quindi sono state identificate tre classi: metodi basati sul contenuto, metodi basati sul grafo e metodi che utilizzano segnali diversi dai primi due. Nell'analisi che è stata eseguita sono stati presi in esame due algoritmi di spam detection basati sul grafo che operano offline: *Trustrank* e *Anti-trust rank*.

Si è scelto, quindi, di valutare l'efficacia di due algoritmi *linked base* offline (*Trustrank* e *Anti-trust rank*) durante l'operazione di crawling ovvero in modo online. In particolare i vari test consistono nel verificare quanto questi due algoritmi di tipo offline riescano ad approssimare il loro comportamento se li facessimo operare in modo online (quindi durante la fase di crawling). Le domande che ci poniamo eseguendo questi test su i due algoritmi di spam detection offline (*Trustrank* e *Anti-trust rank*) sono:

- possono questi algoritmi essere in grado di operare in modalità online?
- durante l'esecuzione in modalità online, quanto riescono ad approssimare il loro comportamento offline?
- è conveniente utilizzare questi algoritmi in modalità online?

E' doveroso specificare che un algoritmo di spam detection lavora offline se questo viene eseguito dopo l'attività di crawling (e quindi dopo che si ha a disposizione l'intero grafo ottenuto dai collegamenti tra le pagine), mentre un algoritmo di spam detection lavora online se questo viene eseguito durante il processo di crawling e quindi riesce a determinare all'istante se una pagina deve essere considerata spam o non spam. Dal momento che si è scelto di esaminare degli algoritmi *linked base*, e sapendo che questi formulano delle conclusioni sulla natura delle pagine (ovvero se sono spam o non spam) esaminando la struttura dell'intero grafo, è interessante notare come questi algoritmi si comportino se il grafo su cui vengono fatte le valutazioni è incompleto.

Il capitolo, quindi, è diviso nel seguente modo: nella prima parte verrà illustrata la tecnica di simulazione il crawler in modo tale da eseguire gli algoritmi offline durante la fase di crawling; nella seconda parte verrà spiegato come sono stati implementati i test; nell'ultima parte verranno illustrati tutti i test.

## 6.1 Simulazione del crawler

Per simulare il comportamento di un crawler, e quindi eseguire gli algoritmi di *Trustrank* e *Anti-trust rank* in modalità online, abbiamo implementato una semplice visita sul grafo in ampiezza ovvero una BFS [38] (Breadth-First Search). La visita in ampiezza dato un grafo  $G = (V, E)$ , dove  $V$  è l'insieme dei vertici del grafo ed  $E$  l'insieme degli archi del grafo, e un vertice  $s$  da cui far partire la visita, scopre tutti i vertici che sono raggiungibili da  $s$ . La visita in ampiezza scopre tutti i vertici che si trovano a distanza  $f$  dal vertice di partenza e successivamente scopre i vertici che si trovano a una distanza successiva  $f + 1$ . In sostanza dato il nodo di partenza  $s$ , la visita in ampiezza, scopre tutti i nodi vicini al nodo  $s$  e successivamente per ogni nodo vicino scoperto trova i vicini che non sono ancora stati visitati; questo processo viene iterato finché tutti i nodi del grafo raggiungibili da  $s$  sono visitati.

Il framework WebGraph mette a disposizione un'implementazione efficiente della visita in ampiezza, in particolare la classe "ParallelBreadthFirstVisit" esegue una visita in ampiezza utilizzando il parallelismo derivato dai processori multicore.

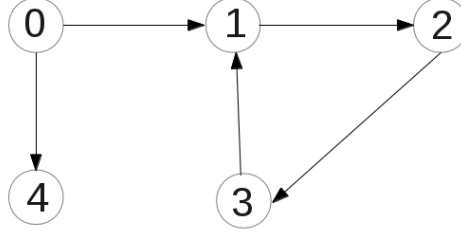


Figura 6.1: Esempio di grafo

## 6.2 I test

Come anticipato lo scopo dei test è analizzare il comportamento degli algoritmi *trustrank* e *anti-trust rank* durante la fase di crawling ovvero in modalità online. Gli algoritmi *linked base* quali *trustrank* e *anti-trust rank* in modalità online operano su un grafo del web incompleto all’inizio del crawling, fino ad arrivare ad operare sull’intero grafo alla fine del crawling.

Quasi tutti i test seguono uno stesso schema; viene calcolato il vettore  $t$  di *Trustrank* (e il vettore  $a$  di *Anti-trust rank*) sull’intero grafo  $G$  a livello di host ricavato dal dataset; successivamente viene eseguita la visita in ampiezza  $v$  con nodo sorgente  $s$  e quindi si ricava la coda  $q$  dei nodi visitati a partire da  $s$ ; dopo di che si calcola *Trustrank* (e *Anti-trust rank*) sul grafo temporaneo  $G_v$ , questo grafo è ottenuto lungo la visita in ampiezza  $v$  ed è formato, quindi, da un sottoinsieme di nodi  $q$ ; il vettore di *trustrank* calcolato sul grafo temporaneo lo indicheremo con  $\hat{t}_i$  (mentre il vettore di *anti-trust rank* sarà indicato con  $\hat{a}_i$ ) dove  $i$  è il numero di nodi prelevati dalla coda  $q$ . Questo processo viene iterato incrementando sempre di più l’intervallo  $i$  finché non si arriva alla fine della coda  $q$  dei nodi visitati partendo dal nodo  $s$ . Infine viene calcolata la distanza tra i due vettori  $t$  e  $\hat{t}_i$  tramite la Tau di Kendall e indicheremo con  $\tau_t(t, \hat{t}_i)$  la Tau di Kendall per  $t$  e  $\hat{t}_i$  (e quindi  $\tau_a(a, \hat{a}_i)$  sarà la Tau di Kendall per  $a$  e  $\hat{a}_i$ ). Ad esempio in figura 6.1 è rappresentato il grafo completo su cui verrà calcolato  $t$  e  $a$  mentre in figura 6.2 è rappresentato il grafo temporaneo ricavato dalla visita in ampiezza eseguita sul grafo precedente partendo

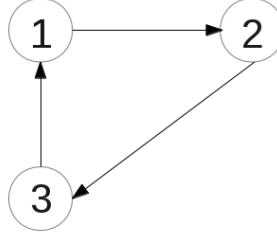


Figura 6.2: Esempio di grafo ricavato tramite una BFS a partire dal nodo 1 del grafo in figura 6.1.

	0	1	2	3	4
<b>t</b>	0.127	0.245	1.3	0.001	0.8

Figura 6.3: Esempio del vettore di *trustrank* calcolato sull'intero grafo

dal nodo 1. Se si considerano tutti i nodi incontrati lungo la visita il vettore di *trustrank* calcolato sul grafo temporaneo alla fine della visita sarà  $\hat{t}_3$  mentre quello di *anti-trust rank* sarà  $\hat{a}_3$ .

A ogni indice del vettore di *Trustrank*  $t$ , calcolato sull'intero grafo  $G$ , e del vettore di *Anti-trust rank*  $a$ , calcolato sull'intero grafo  $G$ , corrisponderà un nodo e il valore assegnato ad ogni indice indica il valore di *Trustrank* e *Anti-trust rank* del nodo del grafo  $G$ . In figura 6.3 è illustrato un esempio del vettore di *trustrank* calcolato sull'intero grafo e in figura 6.4 è illustrato un esempio del vettore di *anti-trust rank* calcolato sull'intero grafo. Nell'esempio in figura 6.3 si nota che il vettore  $t$  di *trustrank* ha lunghezza 5, quindi il grafo sarà composto da 5 nodi dove ad ogni nodo è associato il valore di *trustrank*. Le stesse considerazioni valgono per l'esempio in figura 6.4 dove il vettore di *anti-trust rank* è ha lunghezza 5 e quindi l'algoritmo opererà su un grafo composto da 5 nodi.

A differenza dei vettori  $t$  e  $a$  calcolati sull'intero grafo  $G$  dove ad ogni indice è associato un valore di *trustrank* e *anti-trust rank*, i vettori  $\hat{t}_i$  e  $\hat{a}_i$  calcolati sul grafo temporaneo  $G_v$  non è detto che abbiano la stessa lunghezza. Più precisamente,



	0	1	2	3	4
<b>a</b>	0.908	1.645	0.37	1.501	0.001

Figura 6.4: Esempio del vettore di anti-trust rank calcolato sull'intero grafo

sapendo che  $\hat{t}_i$  e  $\hat{a}_i$  sono calcolati sul grafo temporaneo  $G_v$  durante l'esecuzione di una visita in ampiezza  $v$ , allora se  $v$  non ha terminato la visita ci saranno ancora dei nodi da visitare per cui non è possibile calcolare i valori di *trustrank* e *anti-trust rank*. Quindi con l'avanzamento della visita in ampiezza sempre più nodi avranno associato un valore di *trustrank* e *anti-trust rank* quindi  $\hat{t}_i$  e  $\hat{a}_i$ , con l'avanzamento della visita, avranno una lunghezza sempre più prossima a quella dei vettori  $t$  e  $a$ . Vale quindi che  $\hat{t}_{i+1}$  avrà molti più nodi per cui è stato calcolato *trustrank* rispetto a  $\hat{t}_i$  (lo stesso comportamento si riscontra per *anti-trust rank*). Inoltre non è detto che dopo aver terminato la visita in ampiezza, partendo da un nodo  $s$ , si sia visitato tutto il grafo (ovvero che  $s$  può raggiungere tutti i nodi del grafo) perciò in questo caso al termine della visita i vettori  $\hat{t}_i$  e  $\hat{a}_i$  avranno un numero minore di nodi per cui è stato calcolato *trustrank* e *anti-trust rank* rispetto a  $t$  e  $a$ .

Dal momento che la Tau di Kendall tra due vettori, per essere eseguita, richiede che i due vettori abbiano la stessa lunghezza allora bisogna gestire i casi in cui il numero di nodi del grafo temporaneo  $G_v$  sia più piccolo rispetto al numero di nodi dell'intero grafo  $G$ . Per gestire tale problema si è scelto di considerare i soli nodi compresi nel grafo temporaneo. Ad esempio in figura 6.5 viene illustrato il caso in cui eseguendo la visita in ampiezza dal nodo 1, i nodi 0 e 4 rimangono senza aver assegnato un valore di *trustrank*. Quindi gli indici 0 e 4 del vettore  $t$  non sono inclusi nel vettore  $\hat{t}_3$  questo implica che ci deve essere una corrispondenza tra gli indici del vettore  $t$  e quelli del vettore  $\hat{t}_3$  (in figura 6.5 l'indice 0 del vettore  $\hat{t}_3$  corrisponde all'indice 1 del vettore  $t$ , l'indice 1 al indice 2 ed infine l'indice 2 all'indice 3). Inoltre il vettore  $\hat{t}_3$  ha lunghezza inferiore al vettore  $t$ . Quando il vettore  $t$  ha lunghezza maggiore del vettore  $\hat{t}_i$  il calcolo della Tau di Kendall tra il vettore  $t$  e il vettore  $\hat{t}_i$  avverrà tra i soli indici del vettore  $t$  compresi nel vettore  $\hat{t}_i$ . Quindi nella valutazione il vettore  $t$

	0	1	2	3	4
$\mathbf{t}$	0.127	0.245	1.3	0.001	0.8
$\hat{\mathbf{t}}_3$		0.245	1.3	0.001	

Figura 6.5: Esempio del vettore di *trustrank* calcolato su una porzione di grafo.

	0	1	2	3	4
$\hat{\mathbf{t}}_3$	0.0	0.245	1.3	0.001	0.0

Figura 6.6: Esempio del vettore di *trustrank* calcolato su una porzione di grafo a cui viene assegnato il valore 0.0 ai nodi non visitati.

dovrà essere ristretto alla lunghezza del vettore  $\hat{t}_i$  e quindi dovranno essere eliminati gli indici del vettore  $t$  che non sono inclusi nel vettore  $\hat{t}_i$ .

Oltre la metodo descritto per gestire i nodi non ancora visitati può essere utilizzato un altro che consiste nell'assegnare ad ogni indice dei vettori  $\hat{t}_i$  e  $\hat{a}_i$  non ancora visitati il valore 0.0. Ad esempio prendendo in considerazione il grafo in figura 6.1 e ipotizzando di eseguire una visita in ampiezza a partire dal nodo 1 e di aver visitato i nodi 2 e 3 se calcoliamo *trustrank* e *anti-trust rank* sul sottografo ricavato dai nodi visitati, i nodi 0 e 4 avranno associato i valori 0.0, tale esempio è illustrato in figura 6.6 e in figura 6.7. Questa metodo però è poco significativo in quanto vengono introdotti dei valori non veritieri che producono rumore, e quindi non verrà preso in considerazione.

	0	1	2	3	4
$\hat{\mathbf{a}}_3$	0.0	1.645	0.37	1.501	0.0

Figura 6.7: Esempio del vettore di *anti-trust rank* calcolato su una porzione di grafo a cui viene assegnato il valore 0.0 ai nodi non visitati.

I test saranno, quindi, così strutturati:

- Test numero 1. Viene calcolata la Tau di Kendall tra il vettore  $t$  di *trustrank* calcolato sul grafo completo  $G$  con il vettore  $\hat{t}_i$  di *trustrank* calcolato sul grafo temporaneo  $G_v$  ricavato tramite i nodi visitati dalla visita in ampiezza. Tale processo viene ripetuto ad ogni intervallo di nodi visitato tramite la visita in ampiezza fino al termine della visita. Lo stesso processo è eseguito per valutare *anti-trust rank*.
- Test numero 2. Si calcola la Tau di Kendall tra il vettore  $t$  di *trustrank* calcolato sul grafo completo  $G$  con il vettore  $\hat{t}_i$  di *trustrank* calcolato sul grafo temporaneo  $G_v$  ricavato tramite i nodi visitati dalla visita in ampiezza, prendendo in considerazione i soli nodi etichettati spam. Tale processo viene ripetuto ad ogni intervallo di nodi visitato tramite la visita in ampiezza fino al termine della visita. Nel caso di *anti-trust rank* si confrontano i nodi etichettati come non spam.
- Test numero 3. Si esegue una visita in ampiezza  $v_1$  sul grafo  $G$  con nodo sorgente  $s$ . Si calcola il vettore  $t_{v1}$  di *trustrank* sul grafo  $G_{v1}$  formato dai nodi visitati al termine della visita usando come seedset l'insieme  $S$  formato dagli ultimi  $n$  nodi incontrati nella visita. Successivamente si esegue una visita in ampiezza  $v_2$  sul grafo  $G$  con nodo sorgente  $s$  e si calcola il vettore di *trustrank*  $\hat{t}_i$  sul grafo temporaneo  $G_{v2}$ , ottenuto ad ogni intervallo di nodi incontrati dalla visita  $v_2$ , usando come seedset  $S$ . Dopo di che si calcola la Tau di Kendall tra  $t_{v1}$  e  $\hat{t}_i$ . Tale processo viene ripetuto ad ogni intervallo di nodi visitato tramite la visita in ampiezza fino al termine della visita. Lo stesso processo è eseguito per valutare *anti-trust rank*.
- Test numero 4. Viene rieseguito il *test numero 3* ma con il fattore di attenuazione  $\alpha$ , utilizzato nel calcolo di *trustrank* e *anti-trust rank* impostato a 0.0005.
- Test numero 5. Si esegue una visita in ampiezza a partire dal nodo  $s$  e ad ogni intervallo di nodi visitati si calcola la media dei valori di *trustrank* dei soli

nodi che sappiamo essere non spam e la media dei valori di *trustrank* dei soli nodi spam. Quindi si calcola la differenza tra le due medie. Il processo verrà iterato fino alla fine della visita in ampiezza. Lo stesso metodo verrà applicato per l'analisi dell'algoritmo di *anti-trust rank*.

- Test numero 6. Si riesegue il *test numero 5* ma invece di usare dei valori temporanei di *trustrank* e *anti-trust rank* a ogni passo della visita per calcolare le relative medie, si utilizzano i valori finali del vettore  $t$  di *trustrank* e del vettore  $a$  di *anti-trust rank* calcolati sull'intero grafo.

### 6.3 Test 1

Il test calcola la distanza, attraverso l'utilizzo della Tau di Kendall  $\tau_t$ , tra il vettore  $t$  di *trustrank* ricavato sull'intero grafo  $G$  e il vettore  $\hat{t}_i$  di *trustrank* calcolato sul grafo temporaneo  $G_v$  ricavato ad ogni intervallo di nodi visitati lungo una visita in ampiezza  $v$  con nodo sorgente  $s$ . Il test, inoltre, valuta anche *anti-trust rank*, utilizzano la Tau di Kendall  $\tau_a$ , calcola la distanza tra il vettore  $a$  di *anti-trust rank* ottenuto dal grafo completo  $G$  e il vettore  $\hat{a}_i$  calcolato sul grafo temporaneo  $G_v$ . Il calcolo delle due Tau di Kendall avviene ad ogni intervallo di nodi visitato tramite la visita in ampiezza e viene iterato finché la visita  $v$  non termina. I nodi sorgenti della visita in ampiezza sono due: il nodo 62 etichettato non spam e il nodo 112 etichettato spam presenti nel dataset. L'intervallo di nodi da cui si ricava il grafo temporaneo è 5000; quindi ogni 5000 nodi visitati, tramite la visita in ampiezza  $v$ , si ricava il grafo temporaneo  $G_v$ ; perciò dopo il primo passo della visita  $v$ , dove il grafo temporaneo è formato dal solo nodo sorgente, al secondo passo  $G_v$  sarà formato da 5001 nodi al terzo passo di 10001 nodi e così via. Inoltre durante il calcolo di  $t$  sull'intero grafo  $G$  viene utilizzato come seedset l'insieme di pagine del dataset WEBSPAM-UK2007 etichettate non spam mentre il seedset usato nel calcolo di  $\hat{t}_i$  sarà formato dalle pagine visitate etichetta non spam all'interno del grafo temporaneo  $G_v$ . Per il calcolo del vettore  $a$  di *anti-trust rank* sull'intero grafo  $G$ , invece, il seedset sarà composto dalle pagine etichettate spam nel dataset WEBSPAM-UK2007 mentre il

seedset usato per il calcolo del vettore  $\hat{a}_i$  di *anti-trust rank* sarà formato dai soli nodi etichettati spam presenti nel grafo temporaneo  $G_v$ .

In figura 6.8 e in figura 6.9 sono rappresentati i grafici del test; nel primo grafico è illustrata la Tau di Kendall  $\tau_{t62}$  calcolata tra  $t$  e  $\hat{t}_i$  dove il nodo sorgente della visita in ampiezza è 62 mentre nel secondo grafico è illustrata la Tau di Kendall  $\tau_{t112}$  calcolata tra  $t$  e  $\hat{t}_i$  dove il nodo sorgente della visita è 112. Sull'asse delle ascisse è rappresentato il numero di nodi visitati attraverso la visita in ampiezza e quindi il numero di nodi del grafo su cui viene calcolato  $\hat{t}_i$  dove  $i$  è appunto il numero di nodi presi in considerazione, mentre sull'asse delle ordinate è rappresentato il valore della Tau di Kendall  $\tau_t$  tra il vettore  $t$  e  $\hat{t}_i$ .

L'andamento delle Tau di Kendall di entrambi i grafici è molto simile, tale comportamento indica i valori di  $\hat{t}_i$  sono indipendenti dal nodo sorgente della visita in ampiezza con cui si ricava il grafo temporaneo  $G_v$ ; ovvero i valori del vettore  $\hat{t}_i$  calcolato sul grafo  $G_{v1}$ , ricavato dalla visita in ampiezza  $v1$  con nodo sorgente  $s$  sul grafo  $G$ , e i valori del vettore  $\hat{t}_i$  calcolato sul grafo  $G_{v2}$ , ottenuto tramite una visita in ampiezza  $v2$  sul grafo  $G$ , sono molto simili.

Esaminando approfonditamente i grafici si evince che il primo valore delle Tau di Kendall  $\tau_{t62}$  e  $\tau_{t112}$  è 1; questo risultato è determinato dal fatto che al primo passo la visita in ampiezza ha visitato solamente il nodo di partenza, quindi il vettore  $t$  avrà un solo indice (che fa riferimento al nodo sorgente) e il vettore  $\hat{t}_1$  avrà anche esso un solo indice (il quale fa riferimento al nodo sorgente) e dato che la Tau di Kendall tra i due vettori di dimensione 1 è uguale a 1 il risultato ottenuto è pienamente legittimo. E' facile intuire che questo valore non è influente nella valutazione ma è un risultato dovuto al fatto che si calcola la Tau di Kendall su vettori composti da un unico elemento, quindi i valori significativi alla valutazione sono i successivi.

Dopo che la visita entra in profondità i valori di entrambe le Tau di Kendall scendono drasticamente a circa 0.7 per poi aumentare gradualmente fino a circa 1 parallelamente con l'avanzare della visita in ampiezza; tale comportamento indica che la distanza tra il vettore  $t$  e  $\hat{t}_i$  dipende dal numero di nodi visitati tramite la visita in ampiezza e quindi dal numero di nodi che formano il grafo temporaneo  $G_v$ , su cui viene calcolato  $\hat{t}_i$ , rispetto al numero di nodi del grafo  $G$  su cui viene calcolato  $t$ .

Inoltre il valore finale di  $\tau_{t62}$  e  $\tau_{t112}$  non arriva a toccare 1, perché i nodi sorgenti dalle vista in ampiezza 62 e 112 permettono di visitare 109566 su un totale di 114529 nodi. Quindi, all'ultimo passo della visita in ampiezza, il calcolo di  $\hat{t}_i$  viene fatto su un grafo temporaneo  $G_v$  di dimensione minore rispetto al grafo completo  $G$ .

Lo stesso test, applicato per valutare la distanza tra il vettore  $a$  di *anti-trust rank* calcolato sull'intero grafo  $G$  e il vettore  $\hat{a}_i$  calcolato sul grafo temporaneo  $G_v$  ottenuto ad ogni intervallo di nodi visitati durante una visita in ampiezza  $v$ , è illustrato in figura 6.10 e in figura 6.11. Il primo grafico rappresenta la Tau di Kendall  $\tau_{a62}$  dove il nodo sorgente della visita  $v$  è 62 mentre nel secondo grafico è illustrata la Tau di Kendall  $\tau_{a112}$  dove il nodo sorgente della visita  $v$  è 112. Sull'asse delle ascisse è rappresentato il numero di nodi che sono visitati durante la visita in ampiezza mentre sulle ordinate il corrispondente valore di Tau di Kendall  $\tau_a$ . Anche in questo caso i due grafici hanno un andamento molto simile. Rispetto al test applicato a *trustrank*, nel test di *anti-trust rank* i grafici (senza considerare il primo valore per lo stesso motivo dei due test precedenti) hanno un andamento quasi logaritmico dove il valore iniziale di Tau di Kendall 0.75 e valore finali (stazionario) 0.95.

In figura 6.12 sono riportati in un unico grafico i grafici rappresentati in figura 6.8 e in figura 6.10; in rosso è rappresentato il grafico raffigurante la Tau di Kendall  $\tau_{t62}$  in verde è rappresentato il grafico rappresentante la Tau di Kendall  $\tau_{a62}$ . Si evince che inizialmente la Tau di Kendall  $\tau_{a62}$  tra il vettore  $a$  e il vettore  $\hat{a}_i$  cresce più velocemente rispetto alla Tau di Kendall  $\tau_{t62}$  applicata tra il vettore  $t$  e il vettore  $\hat{t}_i$  ma dopo la visita di circa 80000 nodi la Tau di Kendall  $\tau_{t62}$  assume valori più alti rispetto a  $\tau_{a62}$  perché i valori di  $\tau_{a62}$  tendono a fermarsi a circa 0.95.

Il comportamento tra  $\tau_{t62}$  e  $\tau_{a62}$  indica perciò che *trustrank* eseguito online è più efficace di *anti-trust rank* nel approssimare il comportamento offline solo dopo aver visitati molti nodi mentre *anti-trust rank* riesce ad approssimare il comportamento offline già all'inizio della visita in ampiezza anche se le prestazioni si attenuano verso la fine. Perciò tra questi due algoritmi quello che si adatta meglio nell'utilizzo in modalità online è *anti-trust rank* perché tende ad approssimare fin da subito il comportamento offline anche avendo pochi nodi. Infatti il grafico in figura 6.12 indica che *anti-trust rank* eseguito durante la fase di crawling ritorna un vettore di

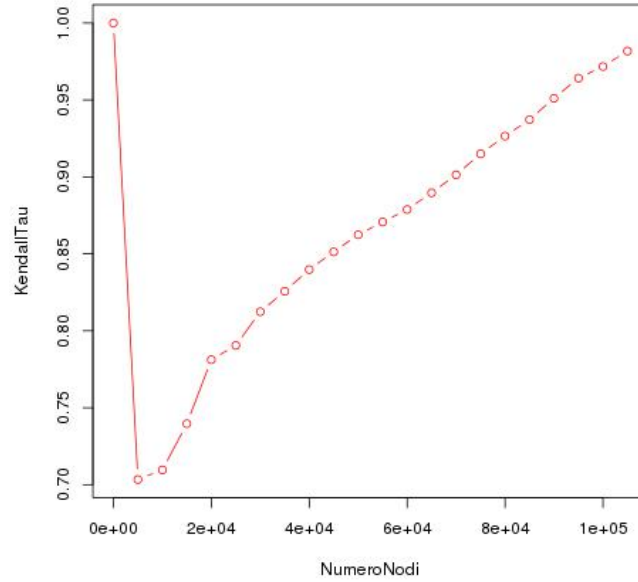


Figura 6.8: Test numero 1 (*trustrank*, 62). Calcolo della distanza dei vettori tra *trustrank* calcolato sull'intero grafo e *trustrank* calcolato sul grafo ricavato dai nodi visitati lungo una BFS partendo dal nodo 62.

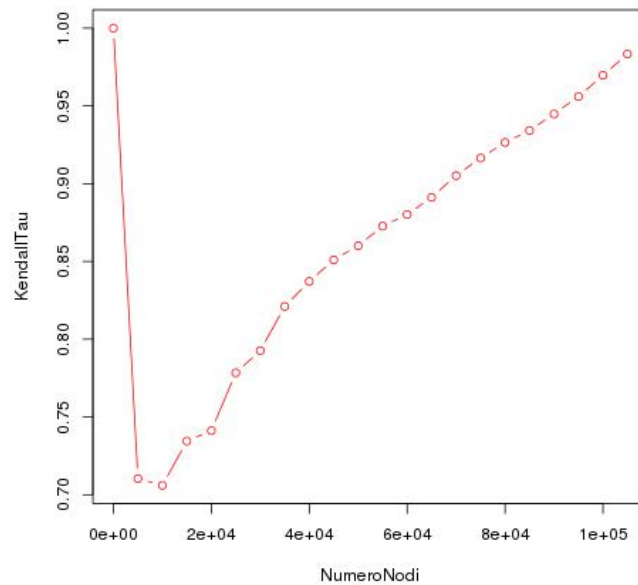


Figura 6.9: Test numero 1 (*trustrank*, 112). Calcolo della distanza dei vettori tra *trustrank* calcolato sull'intero grafo e *trustrank* calcolato sul grafo ricavato dai nodi visitati lungo una BFS partendo dal nodo 112.

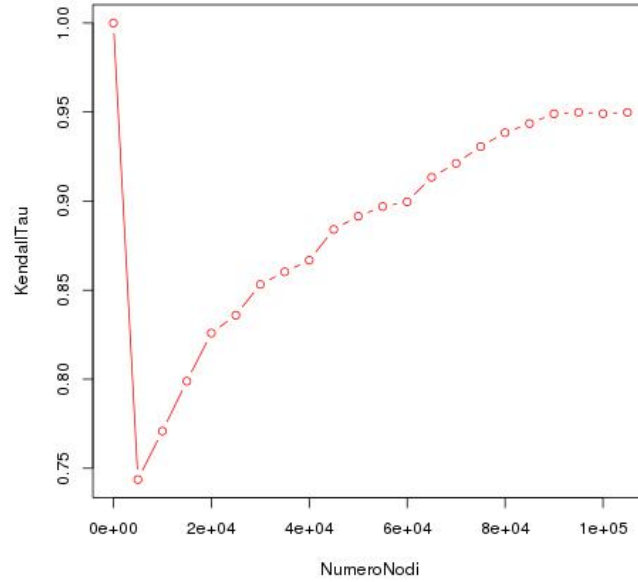


Figura 6.10: Test numero 1 (anti-trust rank, 62). Calcolo della distanza dei vettori tra anti-trust rank calcolato sull'intero grafo e anti-trust rank calcolato sul grafo ricavato dai nodi visitati lungo una BFS partendo dal nodo 62.

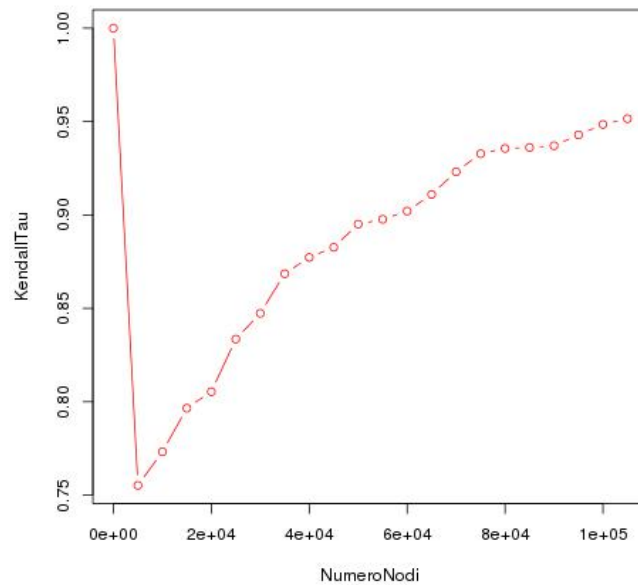


Figura 6.11: Test numero 1 (anti-trust rank, 112). Calcolo della distanza dei vettori tra anti-trust rank calcolato sull'intero grafo e anti-trust rank calcolato sul grafo ricavato dai nodi visitati lungo una BFS partendo dal nodo 112.



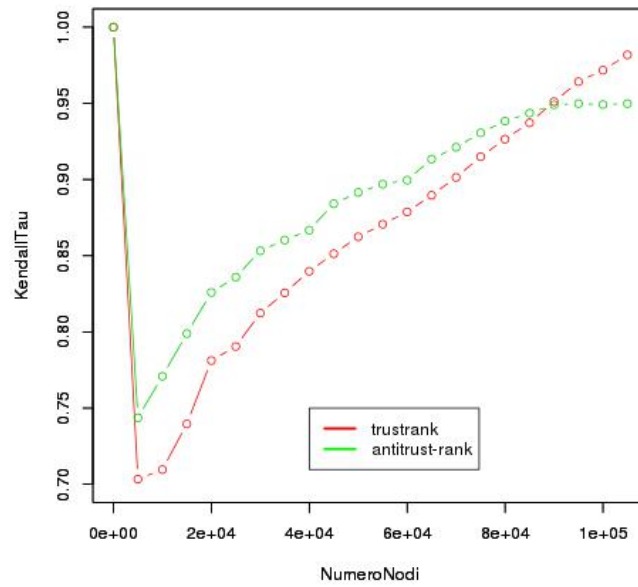


Figura 6.12: Plotting del grafico 6.8 e del grafico 6.10

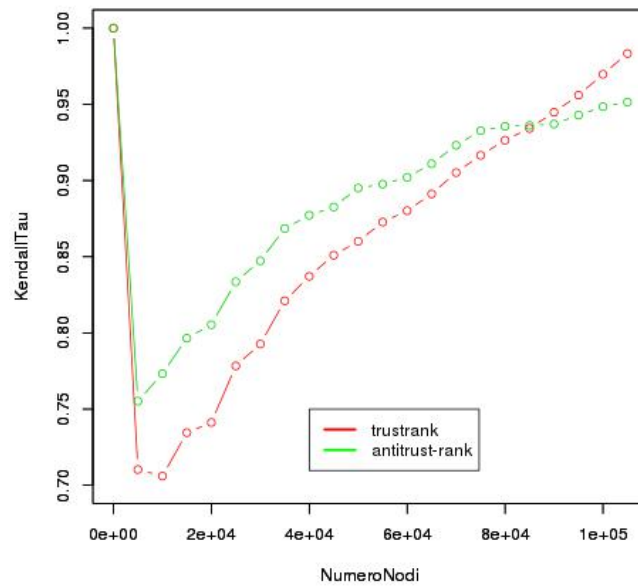


Figura 6.13: Plotting del grafico 6.9 e del grafico 6.11

valori che tendono ad avvicinarsi rapidamente ai valori del vettore di *anti-trust rank* calcolato in modalità offline.

Le stesse valutazioni valgono tra il confronto dei due grafici in figura 6.9 relativo a alla Tau di Kendall  $\tau_{t112}$  e 6.11 relativo alla Tau di Kendall  $\tau_{a112}$  illustrato in figura 6.13; in rosso è rappresentata la Tau di Kendall  $\tau_{t112}$  in verde è rappresentato il la Tau di Kendall  $\tau_{a112}$ . Anche in questo caso *anti-trust rank* online riesce ad approssimare bene il comportamento offline già dall'inizio della visita in ampiezza (e quindi all'inizio del crawling), differentemente da *trustrank* che non riesce ad avere le stesse prestazioni tranne quando la visita in ampiezza sul grafo  $G$  entra molto in profondità (nel caso esaminato dopo che sono stati visitati più di 80000 nodi su 114529). Quindi solo verso il termine della visita le prestazioni di *trustrank* superano quelle di *anti-trust rank*. Tali deduzioni si evincono dal fatto che  $\tau_{a112}$  cresce più rapidamente rispetto a  $\tau_{t112}$  ma solo dopo circa 80000 nodi  $\tau_{a112}$  cresce più lentamente rispetto a  $\tau_{t112}$  che raggiunge valori più alti.

## 6.4 Test 2

Il test calcola la distanza, utilizzando la Tau di Kendall  $\tau_t$ , tra il vettore  $t$  di *trustrank* calcolato sull'intero grafo  $G$  e il vettore  $\hat{t}_i$  calcolato sul grafo temporaneo  $G_v$  ottenuto ad ogni intervallo di nodi visitati durante un visita in ampiezza  $v$ . Quindi  $\tau_t$  viene calcolata ogni qual volta la visita in ampiezza  $v$  visita un certo intervallo di nodi da cui si ricava il grafo temporaneo  $G_v$  che è un sottografo di  $G$ . Anche per questo test l'intervallo è uguale a 5000. Il test è molto simile al *Test numero 1* ma differentemente del precedente nel calcolo della distanza tra i due vettori si esaminano i soli indici dei vettori  $t$  e  $\hat{t}_i$  che fanno riferimento ai nodi etichettati come spam. Ugualmente il test viene effettuato per valutare *anti-trust rank* ma in questo caso vengono confrontati, tramite la Tau di Kendall  $\tau_a$ , i soli nodi indici dei due vettori  $a$  e  $\hat{a}_i$  che fanno riferimento a nodi etichettati come non spam.

Dal momento che si devono confrontare i soli indici spam, nel calcolo di  $\tau_t$ , i vettori  $t$  e  $\hat{t}_i$ , durante il calcolo della distanza, sono ridimensionati ai soli indici etichettati spam. Lo stessa procedura è utilizzata durante il calcolo di  $\tau_a$ ; in questo caso i

vettori  $a$  e  $\hat{a}_i$  sono ridimensionati ai soli indici etichettati non spam.

Il seedset usato per il calcolo di *trustrank* è formato dall'insieme di nodi etichettati non spam del dataset WEBSPAM-UK2007 mentre il seedset usato per il calcolo di *anti-trustrank* è composto dall'insieme dei nodi spam del dataset WEBSPAM-UK2007.

In figura 6.14 è rappresentato il grafico del test rappresentante la Tua di Kendall  $\tau_{t62}$ , calcolata tra gli indici spam dei vettori  $t$  e  $\hat{t}_i$ , dove il nodo sorgente della visita in ampiezza, con cui viene ricavato il grafo temporaneo  $G_v$  è 62. Sull'asse delle ascisse è rappresentato il numero di nodi spam visitati durante la visita in ampiezza e sull'asse delle ordinate la Tau di Kendall  $\tau_{t62}$  calcolata a ogni intervallo di nodi visitati (compresi nodi spam e non spam).

Al primo passo, quando la visita in ampiezza ha visitato il solo nodo sorgente ci si aspetterebbe che il valore di  $\tau_{t62}$  sia 1 in quanto i vettori  $t$  e  $\hat{t}_i$  dovrebbero essere composti dal solo nodo visitato al primo passo (e quindi il nodo sorgente 62). Ma dal momento che vengono presi in considerazione i soli nodi etichettati spam, il nodo 62 essendo etichettato non spam viene scartato e quindi i vettori  $t$  e  $\hat{t}_i$  saranno vuoti e quindi si esplica perché  $\tau_{t62}$  al primo passo assume valore 0. Si noti che anche al secondo passo, quando il grafo temporaneo  $G_v$  è formato da 5001 nodi, la visita in ampiezza  $v$  non ha incontrato ancora nessun nodo spam e quindi  $\tau_{t62}$  è uguale a 0. Solo successivamente con l'avanzamento della visita in ampiezza incontrando i nodi spam l'andamento del grafico cresce rapidamente fino a circa 0.7 per poi variare gradualmente fino a circa 1.0.

Il grafico della Tau di Kendall  $\tau_{t112}$  calcolata ad ogni intervallo di nodi visitati tramite la visita in ampiezza con nodo sorgente 112 è rappresentato in figura 6.15. Sull'asse delle ascisse è rappresentato il numero dei soli nodi spam visitati tramite la visita in ampiezza e sull'asse delle ordinate la Tau di Kendall  $\tau_{t112}$  calcolata a ogni intervallo di nodi visitati (compresi nodi spam e non spam).

In questo caso il primo valore della Tau di Kendall  $\tau_{t112}$  è 1 perché, al primo passo della visita  $v$  si visita solo il nodo sorgente 112; quindi i vettori  $t$  e  $\hat{t}_i$  saranno composti da un unico indice che fa riferimento al nodo 112 in quanto essendo spam tale nodo viene considerato nella valutazione diversamente dal nodo 62; perciò, al primo

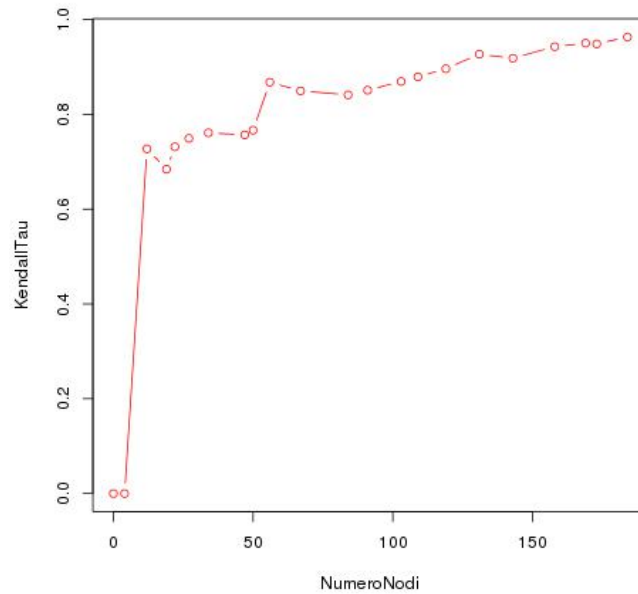


Figura 6.14: Test numero 2 (trustrank, 62). Calcolo della distanza dei vettori tra trustrank calcolato sull'intero grafo e trustrank calcolato sul grafo ricavato dai nodi visitati lungo una BFS partendo dal nodo 62 prendendo in considerazione i soli nodi spam.

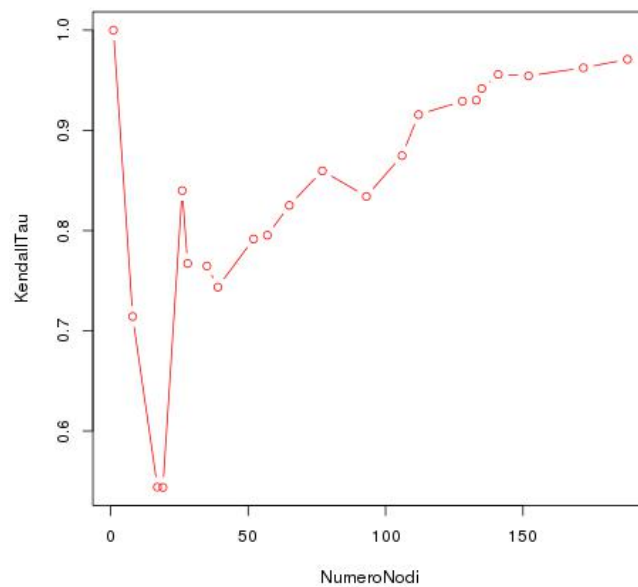


Figura 6.15: Test numero 2 (trustrank, 112). Calcolo della distanza dei vettori tra trustrank calcolato sull'intero grafo e trustrank calcolato sul grafo ricavato dai nodi visitati lungo una BFS partendo dal nodo 112 prendendo in considerazione i soli nodi spam.

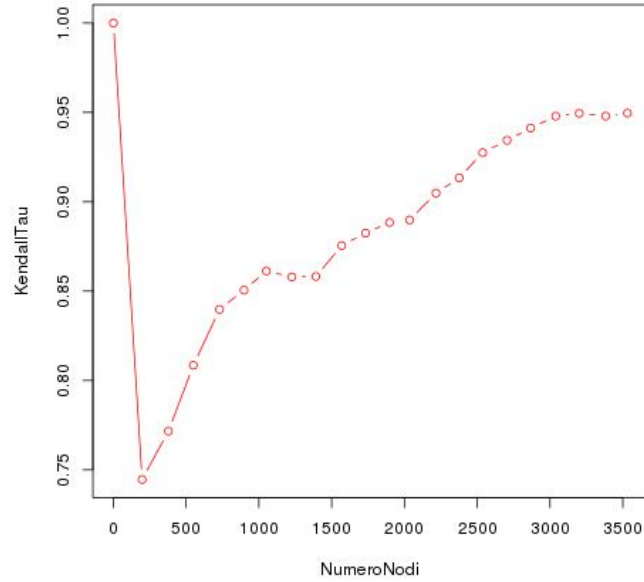


Figura 6.16: Test numero 2 (anti-trust rank, 62). Calcolo della distanza dei vettori tra anti-trust rank calcolato sull'intero grafo e anti-trust rank calcolato sul grafo ricavato dai nodi visitati lungo una BFS partendo dal nodo 62 prendendo in considerazione i soli nodi non spam.

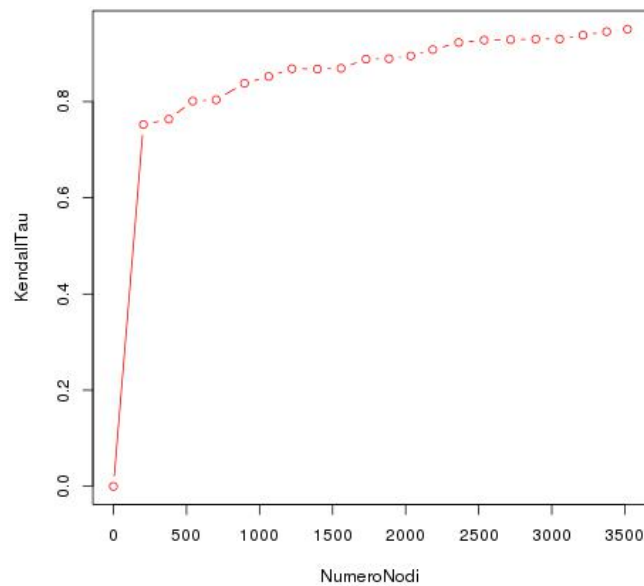


Figura 6.17: Test numero 2 (anti-trust rank, 62). Calcolo della distanza dei vettori tra anti-trust rank calcolato sull'intero grafo e anti-trust rank calcolato sul grafo ricavato dai nodi visitati lungo una BFS partendo dal nodo 112 prendendo in considerazione i soli nodi non spam.

passo di  $v$ ,  $\tau_{t112}$  è uguale a 1 perché una Tau di Kendall applicata a vettori composti da un solo elemento produce come risultato 1. Successivamente con l'avanzamento della visita in ampiezza  $v$  l'andamento della Tau di Kendall  $\tau_{t112}$  calcolata su  $t$  e  $\hat{t}_i$  varia tra circa 0.5 e 1.

Lo stesso test è stato applicato per valutare *anti-trust rank*; in figura 6.16 è illustrato il grafico del test relativo alla Tau di Kendall  $\tau_{a62}$  per il calcolo della distanza tra il vettore  $a$  e il vettore  $\hat{a}_i$  prendendo in considerazione i soli nodi non spam e dove la visita in ampiezza ha nodo sorgente 62. In figura 6.17, invece, è illustrato il grafico del test relativo alla Tau di Kendall  $\tau_{a112}$  che calcola la distanza tra il vettore  $a$  e il vettore  $\hat{a}_i$  prendendo in considerazione i soli nodi non spam e dove la visita in ampiezza ha nodo sorgente 112. Sull'asse delle ascisse è rappresentato il numero dei soli nodi non spam incontrati tramite la visita in ampiezza tra tutti i nodi visitati e sull'asse delle ordinate la Tau di Kendall calcolato a ogni intervallo di nodi visitati.

Nel grafico in figura 6.16 si nota che a differenza del test su *trustrank* (rappresentato in figura 6.8), dove il nodo sorgente di  $v$  è 62, il primo valore della Tau di Kendall  $\tau_{a62}$ , ovvero quando la visita in ampiezza ha visitato il solo nodo sorgente e quindi il grafo temporaneo  $G_v$  è formato dal solo nodo 62, è 1 perché in questo caso si esaminano i nodi non spam e tale nodo essendo non spam non viene rigettato ma viene esaminato; quindi i vettori  $a$  e  $\hat{a}_i$  avranno un solo indice relativo al nodo 62 e perciò la Tau di Kendall  $\tau_{a62}$  al primo passo sarà 1. Con l'aumentare dei nodi visitati i valori di  $\tau_{a62}$  varieranno da circa 0.75 a 0.95.

Il secondo grafico (figura 6.17) mentre ha come primo valore della Tau di Kendall  $\tau_{a112}$  uguale a 0, questo perché il grafo temporaneo  $G_v$  è formato, al primo passo, dal solo nodo 112 e quindi dal momento che 112 è un nodo spam viene rigettato e non esaminato. Perciò in questo caso sia il vettore  $a$  che il vettore  $\hat{a}_i$  avranno lunghezza zero. Successivamente parallelamente all'avanzamento della visita in ampiezza il grafico varierà da circa 0.8 a circa 1.

### 6.5 Test 3

Questo test è stato ideato in modo tale da simulare una situazione avversariale e mettere in difficoltà gli algoritmi di *trustrank* e *anti-trust rank* durante la loro esecuzione in modalità online. Si è pensato di simulare il caso in cui il seedset utilizzato dagli algoritmi (il quale va a definire la distribuzione di probabilità rappresentata dal vettore di preferenza dell'algoritmo di *trustrank* e *anti-trust rank*) sia formato da nodi al limite del grafo  $G$ .

Il test, quindi, consiste nell'eseguire una visita in ampiezza  $v_1$  da un nodo sorgente  $s$  sull'intero grafo  $G$  e calcolare il vettore  $t_v$  di *trustrank* sul grafo  $G_{v_1}$ , ricavato da tutti i nodi visitati alla fine della visita, e dove il seedset  $S$  usato nel calcolo di  $t_v$  è composto dagli ultimi  $n$  nodi visitati da  $v_1$ ; dopodiché si riesegue una seconda visita in ampiezza  $v_2$  con nodo sorgente  $s$  sul grafo  $G$  e si calcola il vettore  $\hat{t}_i$  di *trustrank* sul grafo temporaneo  $G_{v_2}$ , ottenuto ad ogni intervallo di nodi visitati da  $v_2$ , usando come seedset  $S$  (ovvero l'insieme formato dagli ultimi  $n$  nodi visitati tramite la visita in ampiezza  $v_1$ ). Infine si calcola la Tau di Kendall  $\tau_t$  tra il vettore  $t_v$  e il vettore  $\hat{t}_i$  ad ogni intervallo di nodi che vengono visitati tramite la visita in ampiezza  $v_2$ .

Lo stesso test è stato applicato per valutare *anti-trust rank*. In questo caso si esegue una visita in ampiezza  $v_1$  da un nodo sorgente  $s$  sull'intero grafo  $G$  e viene calcolato il vettore  $a_v$  di *anti-trust rank* sul grafo  $G_{v_1}$ , composto da tutti i nodi visitati alla fine della visita, e il seedset  $S$  utilizzato per il calcolo di  $a_v$  sarà composto dagli ultimi  $n$  nodi visitati da  $v_1$ ; successivamente si riesegue una seconda visita in ampiezza  $v_2$  con nodo sorgente  $s$  e si calcola il vettore  $\hat{a}_i$  di *anti-trust rank* sul grafo temporaneo  $G_{v_2}$  ottenuto ad ogni intervallo di nodi visitato tramite la  $v_2$ . Anche in questo caso il seedset per calcolare  $\hat{a}_i$  è formato dall'insieme  $S$ . Infine viene calcolata la Tau di Kendall  $\tau_a$  tra il vettore  $a_v$  e il vettore  $\hat{a}_i$  per ogni intervallo di nodi che vengono visitati tramite la visita in ampiezza  $v_2$ .

Durante il calcolo di  $\hat{t}_i$  e di  $\hat{a}_i$ , sul grafo temporaneo  $G_{v_2}$  ottenuto dai nodi lungo la visita in ampiezza  $v_2$ , se ad un certo passo  $p$  la visita  $v_2$  non è arrivata ai nodi dell'insieme  $S$  all'estremo del grafo  $G$ , allora il vettore di preferenza con cui si calcolerà  $\hat{t}_i$  e  $\hat{a}_i$  sarà una distribuzione uniforme. Se il vettore di preferenza è costituito

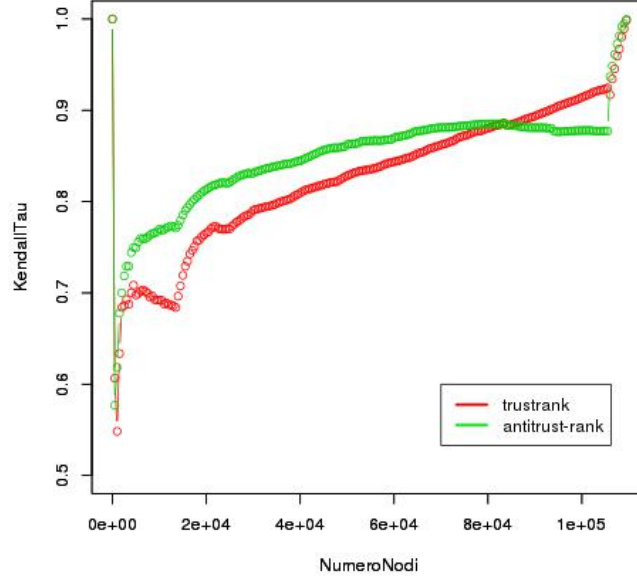


Figura 6.18: Test numero 3 . In rosso, calcolo della Tau di Kendall tra il vettore  $t_v$  e il vettore  $\hat{t}_i$  per ogni intervallo di nodi visitati della BFS partendo dal nodo 62. In verde calcolo della Tau di Kendall tra il vettore  $a_v$  e il vettore  $\hat{a}_i$  per ogni intervallo di nodi visitati della BFS partendo dal nodo 62

da una distribuzione uniforme allora il calcolo di *trustrank* è equivalente a *pagerank* mentre il calcolo di *anti-trustrank* è equivalente *pagerank* trasposto. Nel momento in cui la visita in ampiezza incomincerà ad incontrare qualche nodo dell'insieme  $S$  allora il vettore di preferenza verrà manipolato con una distribuzione personalizzata basata sui nodi appartenenti all'insieme  $S$  visitati.

Il numero di nodi utilizzato per definire l'insieme  $S$  è 3776 come la grandezza dell'insieme delle pagine etichettate non spam nel dataset WEBSHAM-UK2007. E l'intervallo scelto da cui si ricava il grafo temporaneo  $G_{v_2}$  è 500; quindi ogni 500 nodi visitati dalla visita in ampiezza  $v_2$  viene definito un nuovo grafo temporaneo  $G_{v_2}$  sottografo di  $G$  su cui viene calcolato  $\hat{t}_i$  e  $\hat{a}_i$ .

In figura 6.18 è rappresentato il grafico del test eseguito per valutare *trustrank* e *anti-trust rank*; in particolare nel grafico è illustrata, in verde, la Tau di Kendall  $\tau_{t62}$  tra il vettore  $t_v$  e il vettore  $\hat{t}_i$ , e in rosso la Tau di Kendall  $\tau_{a62}$  tra il vettore



$a_v$  e il vettore  $\hat{a}_i$ ; in entrambi i test il nodo sorgente delle visite in ampiezza  $v_1$  e  $v_2$ , da cui si ricavano i grafi  $G_{v_1}$  e  $G_{v_2}$ , è 62. Sull'asse delle ascisse è rappresentato il numero di nodi visitati tramite la visita  $v_2$  mentre sull'asse delle ordinate il valore delle Tau di Kendall  $T_{t62}$  e  $T_{a62}$ .

Il primo valore delle Tau di Kendall  $\tau_{t62}$  e  $\tau_{a112}$  è 1 per il fatto che la visita  $v_2$  al primo passo incontra il solo nodo sorgente perciò al passo uno il grafo temporaneo sarà composto dal solo nodo 62 e i vettori  $t_v$  e  $\hat{t}_i$ , nel calcolo di  $\tau_{t62}$ , e i vettori  $a_v$  e  $\hat{a}_i$ , nel calcolo di  $\tau_{a62}$ , saranno composti da un solo indice relativo al nodo sorgente 62 e quindi le Tau di Kendall ritorneranno valore 1.

Dopo aver visitato il primo nodo, tramite la visita in ampiezza  $v_2$ , i valori della Tau di Kendall  $\tau_{t62}$  crescono da circa 0.55 e salgono gradualmente fino ad arrivare a 0.9 quando  $v_2$  visitata 105790 nodi. Dopo che la visita  $v_2$  incontra 105790 nodi i valori della Tau di Kendall  $\tau_{t62}$  crescono rapidamente fino a toccare 1 al termine della visita (ovvero dopo 109566 nodi). Questo comportamento si spiega dal fatto che la visita in ampiezza con nodo sorgente 62 incontra un totale di 109566 nodi (su 114529 totali del grafo  $G$ ) e dal momento che il seedset  $S$  è formato dagli ultimi 3776 nodi incontrati dalla visita allora fino a 109570 il vettore di preferenza con cui è calcolato  $\hat{t}_i$  è uguale a una distribuzione uniforme mentre dopo aver visitato 109570 nodi il vettore di preferenza cambia e verrà manipolato tramite i nodi incontrati facenti parte dell'insieme  $S$ . Quindi dopo aver visitato 109570 nodi i valori della Tau di Kendall  $\tau_{t62}$  salgono rapidamente perché il seedset con cui è stato calcolato  $t_v$  e il seedset con cui viene calcolato  $\hat{t}_i$  tendono a essere sempre più simili tanto più la visita  $v_2$  incontra i nodi all'interno dell'insieme  $S$  ed inoltre anche i grafi su cui vengono calcolati  $t_v$  e  $\hat{t}_i$  tendono ad essere identici. Lo stesso comportamento è riscontrabile per la Tau di Kendall  $\tau_{a62}$  (per l'analisi di *anti-trust rank*).

Anche se i comportamenti delle Tau di Kendall  $\tau_{t62}$  e  $\tau_{a62}$  sono molto simili, la loro crescita è differente; la Tau di Kendall  $\tau_{a62}$  cresce più rapidamente rispetto alla Tau di Kendall  $\tau_{t62}$  la quale cresce più lentamente ma tale comportamento cambia dopo che  $v_2$  ha incontrato circa 80000 nodi.

Quindi si evince che *anti-trust rank* è meno dipendente dal vettore di preferenza che gli viene passato rispetto a *trustrank*, almeno fino a quando il grafo temporaneo

è al massimo l'80% del grafo completo. Quindi anche se si usasse *anti-trust rank* in modalità online con un seedset poco pertinente questo riuscirebbe a produrre, fin dall'inizio del crawling, dei risultati molto vicini a quelli calcolati da *anti-trust rank* sull'intero grafo con un altro seedset. Mentre *trustrank* non riesce ad approssimare bene tale comportamento rispetto ad *anti-trust rank* tranne quando il grafo temporaneo incomincia a diventare sufficientemente grande.

## 6.6 Test 4

Questo test ha la stessa struttura del *test numero 3* dove, però, il vettore  $t_v$  di *trustrank*, calcolato sul grafo  $G_{v1}$  ricavato dai nodi al termine della visita in ampiezza  $v_1$  con nodo sorgente  $s$  sul grafo  $G$ , e il vettore  $\hat{t}_i$ , calcolato sul grafo temporaneo  $G_{v2}$  ricavato ad ogni intervallo di nodi visitati tramite la visita  $v_2$  con nodo sorgente  $s$ , sono ottenuti usando il fattore di attenuazione  $\alpha$  impostato a 0.005. Lo stesso test è stato applicato per analizzare *anti-trust rank*. Come per il test precedente il nodo sorgente delle visite in ampiezza  $v_1$  e  $v_2$  è 62 e il seedset con cui sono eseguiti *trustrank* e *anti-trust rank* è composto dagli ultimi  $n$  nodi (dove  $n$  è uguale a 3776) incontrati tramite la visita in ampiezza  $v_1$ .

Il fattore  $\alpha$  impostato ad un valore molto vicino allo 0 aumenta la probabilità che *trustrank* o *anti-trust rank* privilegino la distribuzione descritta dal vettore di preferenza invece di seguire un semplice cammino sul grafo (per maggiori chiarimenti si consiglia di leggere il paragrafo 1.1.2 dove è descritto *Pagerank*).

In figura 6.19 è illustrato il grafico della Tau di Kendall  $\tau_{t62}$  tra  $t_v$  e  $\hat{t}_i$  (in rosso) e della Tau di Kendall  $\tau_{a62}$  tra  $a_v$  e  $\hat{a}_i$  (in verde). Sull'asse delle ascisse è rappresentato il numero di nodi visitati tramite la visita  $v_2$  mentre sull'asse delle ordinate il valore delle Tau di Kendall  $\tau_{t62}$  e  $\tau_{a62}$ . Come si nota dal grafico dopo il primo passo della visita  $v_2$ , dove  $\tau_{t62}$  assume valore 1,  $\tau_{t62}$  varia da circa 0.5 (all'inizio della visita) a circa 0.75 (quando la visita incontrato 109570 nodi); dopo che la visita  $v_2$  incontra i primi nodi  $S$  (dopo 109570) allora  $\hat{t}_i$  tende ad avere valori sempre più simili a  $t_v$  fino ad arrivare a 1 quando tutti i nodi in  $S$  sono stati visitati tramite  $v_2$  e quindi  $\hat{t}_i$  sarà calcolato con un seedset uguale all'intero insieme  $S$ . La crescita vertiginosa di

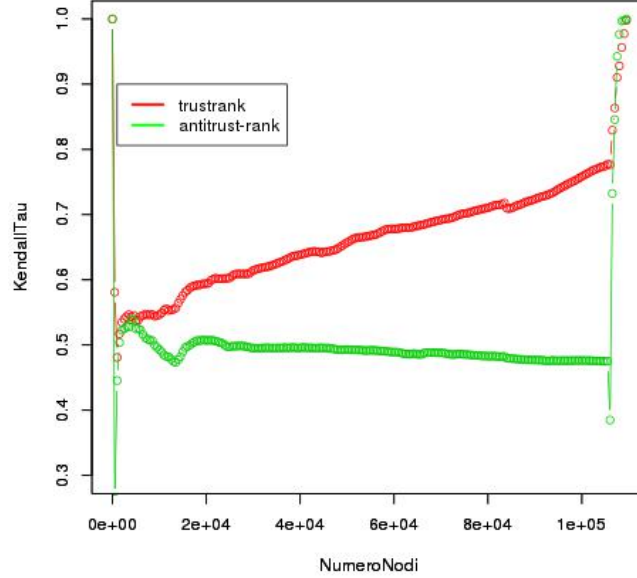


Figura 6.19: Test numero 4 . In rosso, calcolo della Tau di Kendall tra il vettore  $t_v$  e il vettore  $\hat{t}_i$ , dove  $\alpha$  è impostato a 0.005. In verde calcolo della Tau di Kendall tra il vettore  $a_v$  e il vettore  $\hat{a}_i$ , dove  $\alpha$  è impostato a 0.005.

$\tau_{t62}$ , dopo che  $v_2$  supera 109570 nodi, dipende sia dal fatto che la visita  $v_2$  è entrata molto in profondità, e quindi il grafo temporaneo  $G_{v2}$  su cui viene calcolato  $\hat{t}_i$  è molto simile al grafo  $G_v$ , e sia dal fatto che i seedset con cui sono calcolati  $t$  e  $\hat{t}_i$  tendono ad essere sempre più simili con l'avanzare della visita.

Questo comportamento non si evince per la Tau di Kendall  $\tau_{a62}$  la quale assume valori più bassi e tende a non crescere fino al momento in cui la visita  $v_2$  non incontra i primi nodi del seedset  $S$  (dopo 109570 nodi). Il grafico indica che quanto più la visita in ampiezza  $v_2$  entra in profondità i due vettori  $a_v$  e  $\hat{a}_i$  sono sempre più distanti e solo dopo che  $v_2$  incomincia ad incontrare i nodi  $S$  e il seedset con cui  $\hat{a}_i$  viene calcolato è rimpiazzato dai nodi visitati in  $S$ , la Tau di Kendall  $\tau_{a62}$  incomincia a crescere fino ad arrivare a 1 quando tutti i nodi in  $S$  sono stati visitati.

## 6.7 Test 5

Il seguente test, ad ogni intervallo di nodi visitati tramite una visita in ampiezza  $v$  con nodo sorgente  $s$  sul grafo  $G$ , calcola il vettore  $\hat{t}_i$  di *trustrank* sul grafo temporaneo  $G_v$ , ottenuto dai nodi visitati da  $v$ , e successivamente calcola la differenza  $Diff_t$  tra la media  $Mb_t$  dei valori di  $\hat{t}_i$  dei nodi etichettati non spam, e la media  $Ms_t$  dei valori di  $\hat{t}_i$  dei nodi etichettati spam. Quindi per ogni intervallo di nodi visitati tramite la visita in ampiezza  $v$  si calcola:

$$Diff_t = Mb_t - Ms_t \quad (6.1)$$

Lo stesso test è applicato per analizzare *anti-trust rank*; ad ogni intervallo di nodi visitati tramite la visita in ampiezza  $v$  con nodo sorgente  $s$  sul grafo  $G$ , viene calcolato il vettore  $\hat{a}_i$  di *anti-trust rank* sul grafo temporaneo  $G_v$ , ottenuto dai nodi della visita  $v$ ; dopodiché viene calcolata la differenza  $Diff_a$  tra la media  $Mb_a$  dei valori di  $\hat{a}_i$  dei nodi non spam, e la media  $Ms_a$  dei valori di  $\hat{a}_i$  dei nodi etichettati spam. Perciò  $Diff_a$  sarà uguale a:

$$Diff_a = Mb_a - Ms_a \quad (6.2)$$

Un algoritmo di spam detection come *trustrank* e *anti-trust rank* dovrebbe identificare bene il gruppo di nodi spam dal gruppo dei nodi non spam assegnando valori molto distanti tra i due gruppi. Quindi ci si dovrebbe aspettare che i nodi etichettati spam dai nodi etichettati non spam abbiano dei valori differenti e distanti tra loro; quindi nel caso di *trustrank* i nodi etichettati non spam dovrebbero avere valori più alti rispetto ai nodi etichettati spam, mentre nel caso di *anti-trust rank* dovrebbe succedere il contrario.

Perciò, nel caso di *trustrank* ci si aspetta, che il calcolo di  $\hat{t}_i$  sul grafo temporaneo  $G_v$  ottenuto ai primi passi della visita  $v$  dovrebbe restituire dei valori di *trustrank* per i nodi non spam e per i nodi spam abbastanza vicini in quanto il grafo  $G_v$  è troppo piccolo per poter calcolare dei valori  $\hat{t}_i$  molto affidabili. Quindi la differenza  $Diff_t$  ai primi passi della visita dovrebbe essere molto piccola. Il valore della differenza  $Diff_t$  dovrebbe crescere proporzionalmente alla visita e quindi alla fine

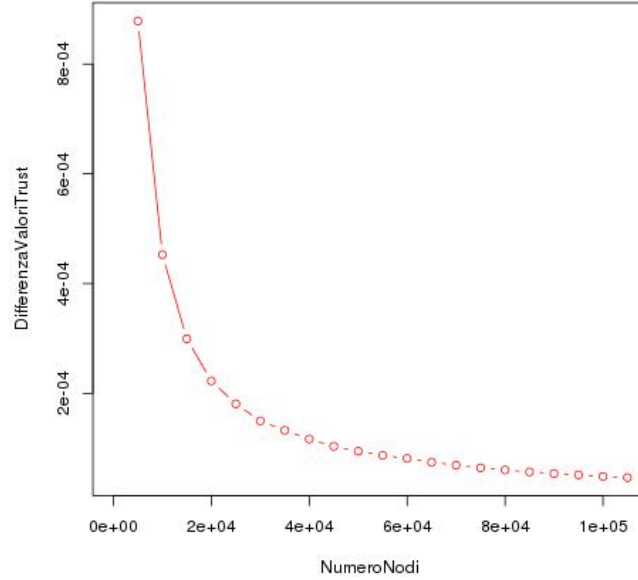


Figura 6.20: Test 5 (*trustrank*,62). Differenza tra le medie dei valori di *trustrank*, calcolati sul grafo temporaneo ottenuto ad ogni intervallo di nodi visitati tramite la visita in ampiezza con nodo sorgente 62, dei nodi non spam e nodi spam.

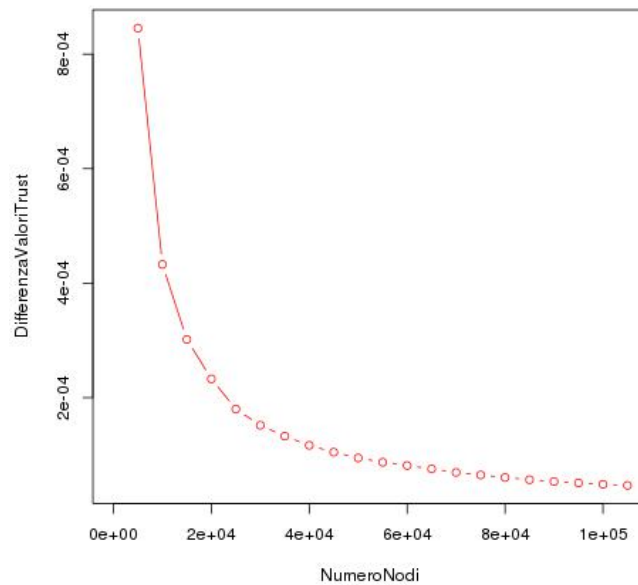


Figura 6.21: Test 5 (*trustrank*,112). Differenza tra le medie dei valori di *trustrank*, calcolati sul grafo temporaneo ottenuto ad ogni intervallo di nodi visitati tramite la visita in ampiezza con nodo sorgente 112, dei nodi non spam e nodi spam.

della visita, quando il grafo temporaneo  $G_v$  è composto dalla maggior parte dei nodi dell'intero grafo  $G$ , la distanza tra i valori di *trustrank* dei nodi non spam dai valori di *trustrank* dei nodi spam dovrebbero essere maggiore. Quindi i nodi non spam dovrebbero avere valori più alti di *trustrank* (dal momento che *trustrank* determina il livello di affidabilità di un nodo) rispetto ai nodi spam. Perciò la differenza tra la media  $Mb_t$  dei valori di *trustrank* dei nodi non spam con la media  $Ms_t$  dei valori di *trustrank* dei nodi spam dovrebbe essere più grande rispetto all'inizio della visita. Si deduce quindi che durante la visita  $v$ ,  $Mb_t$  dovrebbe crescere e  $Ms_t$  dovrebbe decrescere.

Nel caso di *anti-trust rank* ci si aspetta che  $\hat{a}_i$  calcolato all'inizio della visita  $v$  restituisca dei valori per i nodi non spam e per i nodi spam molto vicini e quindi  $Diff_a$  dovrebbe essere prossima allo zero. Ma diversamente da quanto accade per *trustrank*,  $\hat{a}_i$  calcolato verso la fine della visita  $v$  dovrebbe restituire dei valori per i nodi non spam molto piccoli (perché *anti-trust rank* indica la probabilità che un nodo sia spam) e per i nodi spam dei valori molto alti. Si deduce quindi che alla fine della visita  $v$ ,  $Mb_a$  dovrebbe essere più piccola di  $Ms_a$  e di conseguenza che  $Diff_a$  dovrebbe essere negativa .

In figura 6.20 e in figura 6.21 è illustrato il test rappresentate la differenza  $Diff_t$ ; nel primo grafico  $Diff_t$  è calcolata attraverso una visita in ampiezza con nodo sorgente 62 mentre nel secondo grafico  $Diff_t$  è calcolata tramite una visita in ampiezza con nodo sorgente 112. I risultati dei grafici smentiscono il comportamento di *trustrank* descritto in precedenza in quanto all'inizio della visita la differenza  $Diff_t$ , tra la media dei valori di  $\hat{t}_i$  dei nodi non spam e la media dei valori di  $\hat{t}_i$  dei nodi spam , ha un valore più alto rispetto alla differenza  $Diff_t$  calcolata sul grafo temporaneo che si ottiene ai passi successivi della visita in ampiezza. Tale comportamento implica che la distanza tra i valori di *trustrank* tra i nodi non spam e spam tende ad essere meno marcata quando *trustrank* viene calcolato sul grafo temporaneo composto da quasi tutti i nodi dell'intero grafo (infatti la curva tende a decrescere). Perciò invece di avere un andamento logaritmo i grafici sono contraddistinti da una parabola decrescente.

In figura 6.22 e in figura 6.23 sono illustrati i grafici del test rappresentate la

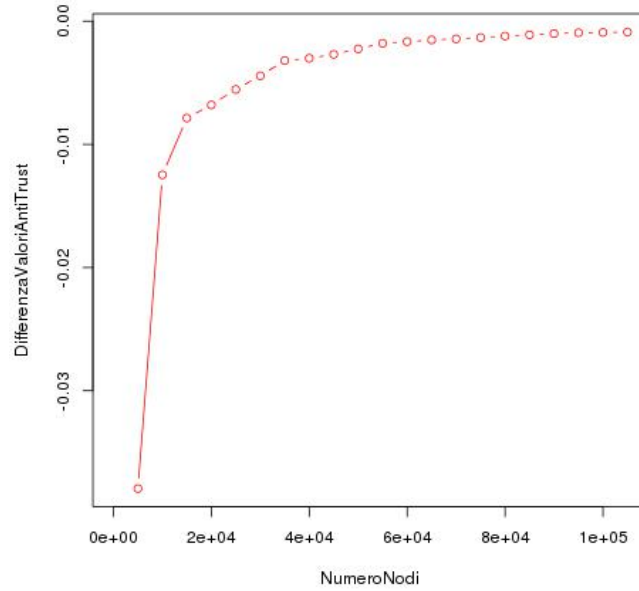


Figura 6.22: Test 5 (anti-trust rank,62). Differenza tra le medie dei valori di anti-trust rank, calcolati sul grafo temporaneo ottenuto ad ogni intervallo di nodi visitati tramite la visita in ampiezza con nodo sorgente 62, dei nodi non spam e nodi spam.

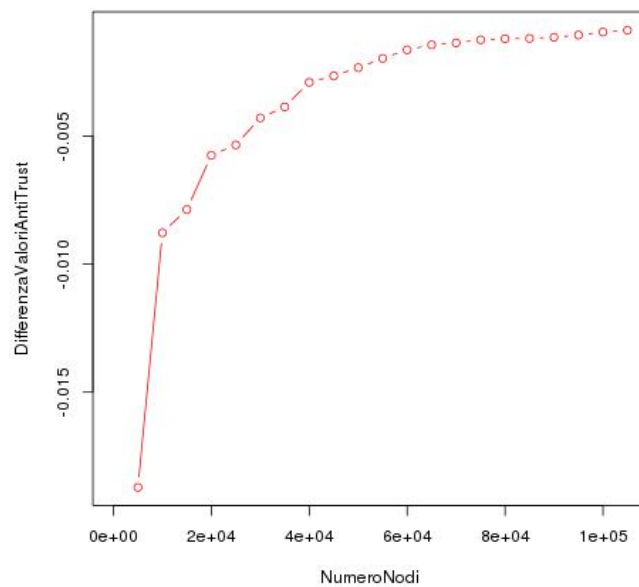


Figura 6.23: Test 5 (anti-trust rank,112). Differenza tra le medie dei valori di anti-trust rank, calcolati sul grafo temporaneo ottenuto ad ogni intervallo di nodi visitati tramite la visita in ampiezza con nodo sorgente 112, dei nodi non spam e nodi spam.

differenza  $Diff_a$ . Nel primo grafico il nodo sorgente della visita in ampiezza  $v$  è 62 nel secondo è 112. Anche in questo caso i risultati illustrati nei due grafici smentiscono il comportamento atteso in quanto il valore di  $Diff_a$  aumenta con l'aumentare dei nodi del grafo temporaneo su cui viene calcolato  $\hat{a}_i$ . Tale risultato indica che il calcolo di  $\hat{a}_i$  sul grafo temporaneo ottenuto ai primi passi della visita (e quindi con pochi nodi) discrimina più fortemente i nodi non spam da quelli spam. Infatti la differenza  $Diff_a$  cresce da circa -0.004 a circa 0 con l'avanzare della visita; perciò con l'aumentare dei nodi del grafo temporaneo  $G_v$ , su cui viene calcolato  $\hat{a}_i$ , la media dei valori  $\hat{a}_i$  dei nodi non spam tende a crescere fino ad essere molto simile alla media dei valori  $\hat{a}_i$  dei nodi spam.

## 6.8 Test 6

Dal momento che il *test numero 5* ha prodotto dei risultati che indicano un comportamento diverso da quello atteso è stato implementato questo test per verificare la correttezza dei risultati ottenuti. Il test consiste nell'esecuzione di una visita in ampiezza  $v$  sul grafo  $G$  del dataset preso in esame con nodo sorgente  $s$  (dove il nodo sorgente è 62 e 112) e per ogni intervallo di nodi visitati si ricava il grafo temporaneo  $G_v$ . Quindi si determinano i nodi etichettati non spam e spam del grafo temporaneo e utilizzando il loro valore di *trustrank* finale nel vettore  $t$ , calcolato sull'intero grafo  $G$ , si calcola la differenza  $Diff_t$  tra la media  $Mb_t$ , dei valori dei nodi non spam, e la media  $Ms_t$ , dei valori dei nodi spam, del grafo  $G_v$ .

Il test è applicato anche per valutare *anti-trust rank*; in questo caso ad ogni passo della visita in ampiezza  $v$  sul grafo  $G$  con nodo sorgente  $s$  (anche in questo caso il nodo sorgente è 62 e 112) e per ogni intervallo di nodi visitati tramite la visita  $v$  si ricava il grafo temporaneo  $G_v$ ; quindi si determinano i nodi etichettati non spam e spam del grafo temporaneo e utilizzando il loro valore di *anti-trust rank* finale nel vettore  $a$ , calcolato sull'intero grafo  $G$ , si calcola la differenza  $Diff_a$  tra la media  $Mb_a$ , dei valori dei nodi non spam, e la media  $Ms_a$ , dei valori dei nodi spam, del grafo  $G_v$ .



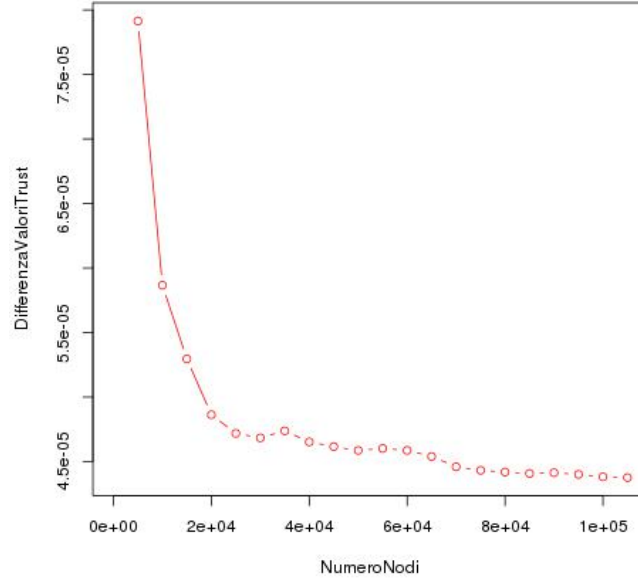


Figura 6.24: Test 6 (*trustrank*,62). Differenza tra la media dei valori di *trustrank* finali dei nodi non spam e la media dei valori di *trustrank* nodi spam, per ogni intervallo di nodi visitati tramite la visita in ampiezza con nodo sorgente 62.

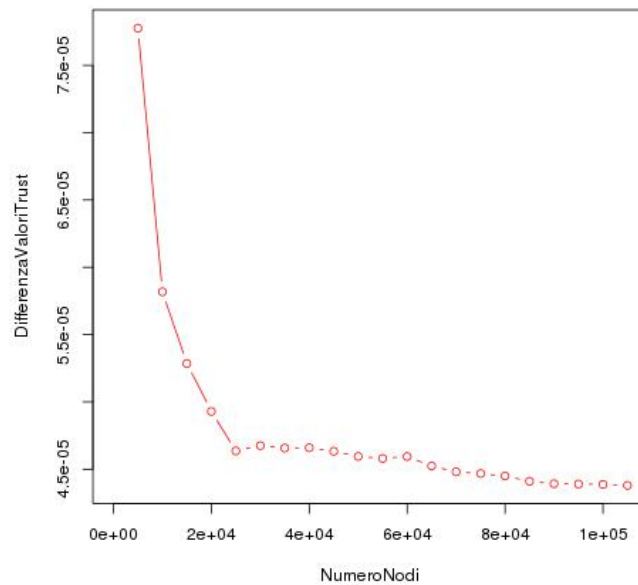


Figura 6.25: Test 5 (*trustrank*,112). Differenza tra la media dei valori di *trustrank* finali dei nodi non spam e la media dei valori di *trustrank* nodi spam, per ogni intervallo di nodi visitati tramite la visita in ampiezza con nodo sorgente 112.

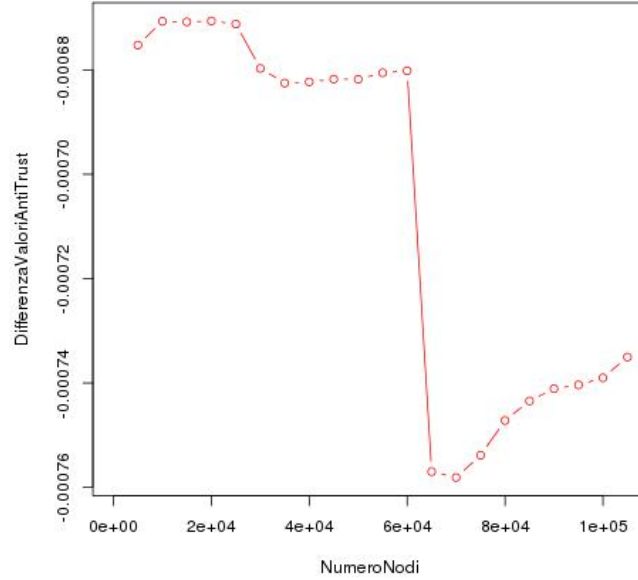


Figura 6.26: Test 6 (*trustrank*,62). Differenza tra la media dei valori di *trustrank* finali dei nodi non spam e la media dei valori di *trustrank* nodi spam, per ogni intervallo di nodi visitati tramite la visita in ampiezza con nodo sorgente 62.

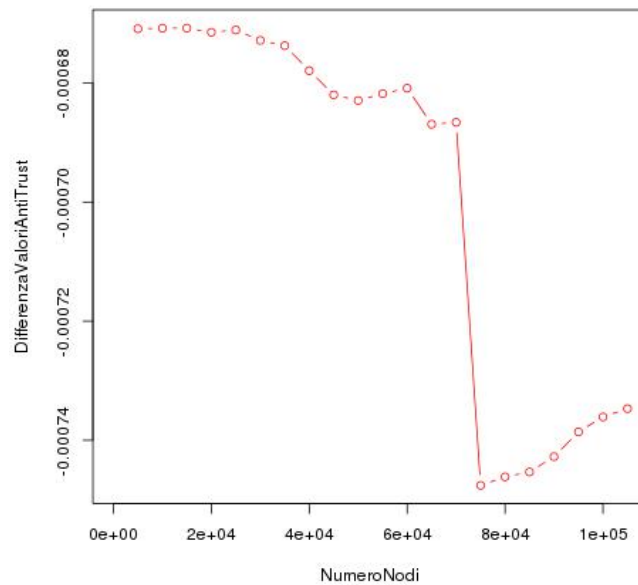


Figura 6.27: Test 5 (*trustrank*,112). Differenza tra la media dei valori di *trustrank* finali dei nodi non spam e la media dei valori di *trustrank* nodi spam, per ogni intervallo di nodi visitati tramite la visita in ampiezza con nodo sorgente 112.

Quindi si vuole verificare se i risultati ottenuti dall'analisi tramite il *test numero 5*, sono dipendenti dai valori calcolati sull'intero grafo  $G$  di *trustrank*.

In figura 6.24 è illustrato il grafico del test rappresentante  $Diff_t$  dove il nodo sorgente della visita in ampiezza  $v$  è 62 mentre in figura 6.25 è illustrato il grafico del test rappresentante  $Diff_t$  dove il nodo sorgente della visita in ampiezza è 112. In entrambi i grafici sull'asse delle ascisse è rappresentato il numero di nodi visitati tramite la visita in ampiezza mentre sull'asse delle ordinate è rappresentata  $Diff_t$  calcolata ad ogni intervallo di nodi visitato attraverso la visita in ampiezza. L'andamento dei grafici giustifica i risultati ottenuti nel *test numero 5* illustrati in figura 6.20 e in figura 6.21, i quali hanno un andamento molto simile. Un fattore importante che evince nel confronto con i grafici precedenti è il range in cui variano i valori  $Diff_t$ ; in questo test il range è di un'unità più piccolo e quindi si deduce che la media dei valori di *trustrank* del gruppo di nodi spam e la media di *trustrank* del gruppo di nodi non spam, contrariamente a quanto ci si aspetta, sono molto vicine. Perciò il test conferma il fatto che *trustrank* calcolato sull'intero grafo  $G$  non discrimina fortemente i nodi spam da quelli non spam e che quindi i risultati ottenuti nel *test numero 5* dipendono dall'algoritmo di *trustrank*.

Oltre alla valutazione di *trustrank*, in figura 6.26 è illustrato il grafico del test rappresentante  $Diff_a$  dove il nodo sorgente della visita in ampiezza è 62 e in figura 6.27 è illustrato il grafico del test rappresentante  $Diff_a$  dove il nodo sorgente della visita in ampiezza è 112. In entrambi i grafici sull'asse delle ascisse è rappresentato il numero di nodi visitati tramite la visita in ampiezza mentre sull'asse delle ordinate è rappresentata  $Diff_a$  calcolata ad ogni intervallo di nodi visitato attraverso la visita in ampiezza. Dai grafici si evince che  $Diff_a$  ha un comportamento alquanto ambiguo; ovvero nel grafico in figura 6.26, vi è un salto di circa 0.00008 unità, dopo circa 60000 nodi visitati attraverso la visita in ampiezza  $v$ , mentre nel secondo vi è un salto di circa 0.00006 unità, dopo circa 780000 nodi visitati  $v$ . Ma dal momento che i valori dei grafici in figura 6.26 e in figura 6.27, variano in un range molto piccolo possono confermare i risultati ottenuti nel *test numero 5* ovvero alla fine della visita la distanza tra la media dei valori di *anti-trust rank* del gruppo di nodi spam e la media di *anti-trust rank* del gruppo di nodi non spam è meno marcata.

## Capitolo 7

# Conclusioni

Col crescere delle dimensioni del web, aumenta la difficoltà di una pagina di comparire tra i primi risultati di un motore di ricerca per una data query. Questo fenomeno porta allo sviluppo di meccanismi di spam per manipolare gli algoritmi dei motori di ricerca al fine di ottenere un rank maggiore per una data pagina web. Per combattere questi meccanismi di spam sono state introdotte varie tecniche di spam detection, la maggior parte delle quali operanti offline.

L'obiettivo di questa tesi è stato, dunque, analizzare le varie tecniche di spam detection descritte in letteratura al fine di analizzarne il comportamento e vagliare la possibilità di utilizzo di tali tecniche online.

Le varie tecniche descritte in letteratura sono state classificate in macro gruppi sulla base del tipo di segnale utilizzato; si sono individuati tre gruppi:

- tecniche basate sul contenuto;
- tecniche basate sul grafo del web;
- tecniche innovative che usano segnali differenti dalle prime due.

Le prime utilizzano il contenuto di una pagina web  $p$  per determinare se la pagina  $p$  è spam oppure non spam; le seconde utilizzano il grafo delle pagine web, ricavato dai link tra le pagine, per determinare se la pagina è spam o non spam; le terze, invece, utilizzano tipi di segnali eterogenei per identificare la natura di una pagina web  $p$  (ad esempio analizzando specifici pattern comportamentali dell'utente).

Dalla fase di analisi delle tecniche presenti in letteratura si è evinto che le tecniche di spam detection basate sul contenuto e sul grafo sono quelle più studiate e utilizzate. I metodi di spam detection innovativi che utilizzano segnali eterogenei sono poco studiati ma riescono ad identificare tipi di spam che i metodi classici non rilevano; all'interno di questo insieme i metodi che fanno uso di pattern comportamentali rendono il problema dell'identificazione dello spam scalabile, ovvero consentono di rilevare nuove tipologie di spam web senza ogni volta definire nuove feature. Questo indica che tali metodi potrebbero essere utilizzati singolarmente mantenendo delle buone prestazioni. Al termine del lavoro di analisi è emerso quindi che l'utilizzo complementare dei metodi classici (basati sul contenuto e basati sul grafo) e dei metodi innovativi è ottimale per l'identificazione di pagine spam, in modo tale da raffinare la rilevazione di tali pagine.

Al termine della fase di documentazione si è deciso di analizzare due algoritmi di spam detection operanti offline, quali *TrustRank* e *Anti-Trust Rank* durante la fase di crawling. Il razionale di tale analisi è stato quindi la valutazione dell'operabilità di tali algoritmi durante l'esecuzione online e il confronto delle prestazioni rispetto all'utilizzo convenzionale offline.

Dai test condotti si è evinto che *TrustRank* e *Anti-Trust rank* online approssimano abbastanza bene il loro comportamento offline. Nello specifico le prestazioni dipendono dalla dimensione del grafo, derivato dalla fase di crawling, su cui vengono eseguiti i test. Tali deduzioni derivano dal fatto che la distanza tra il vettore di *trustrank* ricavato offline e il vettore di *TrustRank* ricavato durante la l'esecuzione online, diminuisce con l'aumentare della dimensione del grafo temporaneo su cui viene calcolato *TrustRank* online (*test numero 1*). Le stesse considerazioni valgono per *Anti-Trust Rank*. Inoltre i risultati dei test indicano che fin dall'inizio del crawling le prestazioni degli algoritmi in modalità online sono abbastanza affidabili, infatti i valori delle Tau di Kendall applicate tra il vettore ottenuto in modalità online, nelle prime fasi del crawling, con il vettore ottenuto in modalità offline, sono abbastanza alti; in particolare nel *Test numero 1* la Tau di Kendall all'inizio della visita, nell'esame di *TrustRank*, ha valore iniziale 0.7, e nell'esame di *Anti-Trust Rank*, ha valore iniziale 0.75. Questo implica che la distanza tra i due vettori all'inizio del crawling

è molto piccola. Quindi è facile dedurre che questi due algoritmi di spam detection possano essere usati online.

Confrontando i due algoritmi si è evinto che *Anti-Trust Rank* approssima, per quasi tutta la durata del crawling, meglio il comportamento offline e quindi è più indicato per essere usato durante la fase di crawling. Ma i due algoritmi invertono le loro prestazioni al termine del crawling, quando il grafo temporaneo è molto simile al grafo completo ottenuto offline.

Un modo di utilizzare questi algoritmi online sarebbe quello di basarsi sull'isolamento approssimato dell'insieme delle pagine buone. Dal momento che le pagine non spam difficilmente avranno link verso pagine spam, si potrebbero utilizzare gli algoritmi di *TrustRank* e *Anti-Trust Rank* in modalità online per identificare le pagine spam durante il crawling e quindi una volta identificati i nodi spam penalizzare questi e quelli che hanno dei link verso tali nodi; una soluzione estrema potrebbe essere di eliminare tutte le pagine appartenenti ad un nodo identificato come spam.

Quindi dalle conclusioni della fase di testing risulta vantaggioso utilizzare questi algoritmi in modalità online avendo fin dall'inizio del crawling delle buone performance, inoltre una volta identificate le pagine spam molte altre pagine potrebbero essere non scaricate e quindi si eseguirebbero dei calcoli su grafi molto più piccoli e quindi usando minori risorse computazionali e di memorizzazione.

Sviluppo futuro di tale lavoro sarà la progettazione di un modulo di spam detection da inserire all'interno del web crawler *BUBiNG*, sviluppato dal Laboratorio di Algoritmica per il Web dell'Università degli Studi di Milano.

# Bibliografia

- [1] A. Ntoulas, M. Najork, M. Manasse, and D. Fetterly, “Detecting spam web pages through content analysis,” in *Proceedings of the 15th International Conference on World Wide Web*, WWW ’06, (New York, NY, USA), pp. 83–92, ACM, 2006.
- [2] J. Martinez-Romo and L. Araujo, “Web spam identification through language model analysis,” in *Proceedings of the 5th International Workshop on Adversarial Information Retrieval on the Web*, AIRWeb ’09, (New York, NY, USA), pp. 21–28, ACM, 2009.
- [3] N. R. Jennings, “The global economic impact of spam.,” *Ferris Research*, 2005.
- [4] N. R. Jennings, “Cost of spam is flattening - our 2009 predictions.,” *Ferris Research*, 2009.
- [5] N. Spirin and J. Han, “Survey on web spam detection: Principles and algorithms,” *SIGKDD Explor. Newsl.*, vol. 13, pp. 50–64, May 2012.
- [6] N. Eiron, K. S. McCurley, and J. A. Tomlin, “Ranking the web frontier,” in *Proceedings of the 13th International Conference on World Wide Web*, WWW ’04, (New York, NY, USA), pp. 309–318, ACM, 2004.
- [7] C. D. Manning, P. Raghavan, and H. Schütze, *Introduction to Information Retrieval*. New York, NY, USA: Cambridge University Press, 2008. Pages 117–119.

- [8] S. Robertson and H. Zaragoza, “The probabilistic relevance framework: Bm25 and beyond,” *Found. Trends Inf. Retr.*, vol. 3, pp. 333–389, Apr. 2009.
- [9] L. Page, S. Brin, R. Motwani, and T. Winograd, “The pagerank citation ranking: Bringing order to the web.,” Technical Report 1999-66, Stanford InfoLab, November 1999. Previous number = SIDL-WP-1999-0120.
- [10] Z. Gyongyi and H. Garcia-Molina, “Web spam taxonomy,” Technical Report 2004-25, Stanford InfoLab, March 2004.
- [11] J. M. Kleinberg, “Authoritative sources in a hyperlinked environment,” *J. ACM*, vol. 46, pp. 604–632, Sept. 1999.
- [12] C. D. Manning, P. Raghavan, and H. Schütze, *Introduction to Information Retrieval*. New York, NY, USA: Cambridge University Press, 2008. Pages 474–476.
- [13] D. Fetterly, M. Manasse, and M. Najork, “Spam, damn spam, and statistics: Using statistical analysis to locate spam web pages,” in *Proceedings of the 7th International Workshop on the Web and Databases: Colocated with ACM SIGMOD/PODS 2004*, WebDB ’04, (New York, NY, USA), pp. 1–6, ACM, 2004.
- [14] D. Fetterly, M. Manasse, and M. Najork, “Detecting phrase-level duplication on the world wide web,” in *Proceedings of the 28th Annual International ACM SIGIR Conference on Research and Development in Information Retrieval*, SIGIR ’05, (New York, NY, USA), pp. 170–177, ACM, 2005.
- [15] C. Dong and B. Zhou, “Effectively detecting content spam on the web using topical diversity measures,” in *Proceedings of the The 2012 IEEE/WIC/ACM International Joint Conferences on Web Intelligence and Intelligent Agent Technology - Volume 01*, WI-IAT ’12, (Washington, DC, USA), pp. 266–273, IEEE Computer Society, 2012.
- [16] J. Abernethy, O. Chapelle, and C. Castillo, “Web spam identification through content and hyperlinks,” in *Proceedings of the 4th International Workshop on*



- Adversarial Information Retrieval on the Web*, AIRWeb '08, (New York, NY, USA), pp. 41–44, ACM, 2008.
- [17] T. Urvoy, T. Lavergne, and P. Filoche, “Tracking web spam with hidden style similarity,” in *AIRWeb*, pp. 25–31, 2006.
- [18] Z. Gyöngyi, H. Garcia-Molina, and J. Pedersen, “Combating web spam with trustrank,” in *Proceedings of the Thirtieth International Conference on Very Large Data Bases - Volume 30*, VLDB '04, pp. 576–587, VLDB Endowment, 2004.
- [19] V. Krishnan, “Web spam detection with anti-trust rank,” in *In AIRWEB*, pp. 37–40, 2006.
- [20] B. Wu, V. Goel, and B. D. Davison, “Topical trustrank: Using topicality to combat web spam,” in *Proceedings of the 15th International Conference on World Wide Web*, WWW '06, (New York, NY, USA), pp. 63–72, ACM, 2006.
- [21] J. Caverlee and L. Liu, “Countering web spam with credibility-based link analysis,” in *Proceedings of the Twenty-sixth Annual ACM Symposium on Principles of Distributed Computing*, PODC '07, (New York, NY, USA), pp. 157–166, ACM, 2007.
- [22] Y. I. Leon-Suematsu, K. Inui, S. Kurohashi, and Y. Kidawara, “Web spam detection by exploring densely connected subgraphs,” in *Proceedings of the 2011 IEEE/WIC/ACM International Conferences on Web Intelligence and Intelligent Agent Technology - Volume 01*, WI-IAT '11, (Washington, DC, USA), pp. 124–129, IEEE Computer Society, 2011.
- [23] C. Castillo, D. Donato, A. Gionis, V. Murdock, and F. Silvestri, “Know your neighbors: Web spam detection using the web topology,” in *Proceedings of the 30th Annual International ACM SIGIR Conference on Research and Development in Information Retrieval*, SIGIR '07, (New York, NY, USA), pp. 423–430, ACM, 2007.

- [24] Z. Gyongyi, P. Berkhin, H. Garcia-Molina, and J. Pedersen, “Link spam detection based on mass estimation,” in *Proceedings of the 32Nd International Conference on Very Large Data Bases*, VLDB ’06, pp. 439–450, VLDB Endowment, 2006.
- [25] B. Wu and B. D. Davison, “Identifying link farm spam pages,” in *Proceedings of the 14th International World Wide Web Conference*, pp. 820–829, ACM Press, 2005.
- [26] Z. Cheng, B. Gao, C. Sun, Y. Jiang, and T.-Y. Liu, “Let web spammers expose themselves,” in *Proceedings of the Fourth ACM International Conference on Web Search and Data Mining*, WSDM ’11, (New York, NY, USA), pp. 525–534, ACM, 2011.
- [27] Q. Gan and T. Suel, “Improving web spam classifiers using link structure,” in *Proceedings of the 3rd International Workshop on Adversarial Information Retrieval on the Web*, AIRWeb ’07, (New York, NY, USA), pp. 17–20, ACM, 2007.
- [28] G. Geng, C. Wang, and Q. Li, “Improving web spam detection with re-extracted features,” in *Proceedings of the 17th International Conference on World Wide Web*, WWW ’08, (New York, NY, USA), pp. 1119–1120, ACM, 2008.
- [29] G.-G. Geng, Q. Li, and X. Zhang, “Link based small sample learning for web spam detection,” in *Proceedings of the 18th International Conference on World Wide Web*, WWW ’09, (New York, NY, USA), pp. 1185–1186, ACM, 2009.
- [30] S. Ghiam and A. N. Pour, “Detecting cloaking web spam using hash function,” in *Computer Science and Information Technology*, vol. 1, pp. 33–40, Horizon Research, 2013.
- [31] S. Webb, J. Caverlee, and C. Pu, “Predicting web spam with http session information,” in *Proceedings of the 17th ACM Conference on Information and Knowledge Management*, CIKM ’08, (New York, NY, USA), pp. 339–348, ACM, 2008.

- [32] Y. Liu, M. Zhang, S. Ma, and L. Ru, “User behavior oriented web spam detection,” in *Proceedings of the 17th International Conference on World Wide Web*, WWW '08, (New York, NY, USA), pp. 1039–1040, ACM, 2008.
- [33] Y. Liu, B. Gao, T.-Y. Liu, Y. Zhang, Z. Ma, S. He, and H. Li, “Browserank: Letting web users vote for page importance,” in *Proceedings of the 31st Annual International ACM SIGIR Conference on Research and Development in Information Retrieval*, SIGIR '08, (New York, NY, USA), pp. 451–458, ACM, 2008.
- [34] “Web spam collections,” 5 2007. <http://chato.cl/webspam/datasets/> Crawled by the Laboratory of Web Algorithmics, University of Milan, <http://law.dsi.unimi.it/>. URLs retrieved 05/2014.
- [35] P. Boldi and S. Vigna, “The webgraph framework i: Compression techniques,” in *In Proc. of the Thirteenth International World Wide Web Conference*, pp. 595–601, ACM Press, 2003.
- [36] K. M., “The treatment of ties in ranking problems,” *Biometrika*, vol. 33, pp. 239–251, 1945.
- [37] “Law library api.” <http://law.di.unimi.it/software/law-docs/overview-summary.html>. URL retrieved 05/2014.
- [38] T. H. Cormen, C. E. Leiserson, R. L. Rivest, and C. Stein, *Introduzione agli algoritmi e strutture dati*, pp. 497–504. The McGraw-Hill Companies, 3rd ed., 2010.